CAPÍTULO 1 ANTECEDENTES

CAPÍTULO 1

ANÁLISIS DE LA POTENCIALIDAD DE LA APLICACIÓN DE LA NORMA ISO 31000 EN LA INFRAESTRUCTURA VIAL URBANA DE LA CIUDAD DE TARIJA

1.- Introducción

1.1.- Antecedentes

Se entiende por Gestión del Riesgo a la aplicación de políticas y estrategias de reducción del riesgo de desastres con el propósito de prevenir nuevos riesgos de desastres, reducir los riesgos de desastres existentes y gestionar el riesgo residual, contribuyendo con ello al fortalecimiento de la resiliencia y a la reducción de las pérdidas por desastres. ISO 31000 permite gestionar el riesgo a través de la identificación de ciertos aspectos de gran relevancia que en muchas ocasiones se ignoran en el sector de la construcción, ya que se desea sacar mayor beneficio económico.

Este trabajo de aplicación desea encontrar un plan de acción a la hora de abordar el mantenimiento de una red vial priorizando los accesos a las instalaciones esenciales. Las instalaciones que generen necesidades urgentes que se puedan encontrar en una red de vías son clasificadas para establecer un procedimiento y así mantener el correcto estado y funcionamiento de la malla vial cumpliendo con sus normativas, brindando comodidad y seguridad a la población. En nuestra sociedad existen edificaciones esenciales que albergan instalaciones y/o dependencias cuyo funcionamiento en condiciones de emergencia son necesarias para preservar la salud, seguridad y atención de la población. Por tal razón, las estructuras viales que dan acceso a tales instalaciones deben siempre permanecer al alcance de las comunidades en buenas condiciones y en un estado donde se minimice el riesgo de accidentes. Una vez finalizada la etapa de construcción es indispensable el monitoreo y mantenimiento de las carreteras debido a que sufren daños diariamente. Inicialmente, el deterioro es lento con fallas poco perceptibles. Sin embargo, sin el mantenimiento adecuado con el paso del tiempo el deterioro se acelera presentando un colapso de la estructura para que finalmente se produzca su falla total. Por esta razón, el desarrollo de un plan de mantenimiento rutinario en las carreteras es vital ya que previene desastres a medida del tiempo. El mal estado de una carretera causada por un asfalto con alto deterioro afecta directamente la seguridad vial al aumentar el riesgo de

accidentes. Esto genera gasto mayor en un futuro cuando los problemas de la infraestructura ya no tengan manera de resolverse y ocasione un grave accidente por culpa del deterioro de las mismas. Cabe resaltar que el dinero que se emplea en conservación y mantenimiento de las carreteras no es un gasto, es una inversión.

Lo anterior es llevado a cabo con base en los procedimientos que la Organización Internacional de Normalización (ISO) estandarizó de forma global en la norma que aborda la Gestión de Riesgos (ISO 31000). En la actualidad, la guía ISO 31000 enfocada en la gestión de riesgos, es utilizada como una herramienta destinada a proporcionar a las empresas criterios y estándares que permiten un más eficiente tratamiento de los eventos de riesgo y procesos, efectuado en las diversas fases organizacionales, tales como estratégicas y operativas; en nuestro caso analizamos los lineamientos más importantes mostrados en la Norma ISO y los aplicamos a nuestro estudio de la malla vial estableciendo las estrategias de priorización y minimización de riesgos necesarias en nuestra investigación.

En la actualidad, la guía ISO 31000 enfocada en la gestión de riesgos, es utilizada como una herramienta destinada a proporcionar a las empresas criterios y estándares que permiten un más eficiente tratamiento de los eventos de riesgo y procesos, efectuado en las diversas fases organizacionales, tales como estratégicas y operativas; en nuestro caso analizamos los lineamientos más importantes mostrados en la Norma ISO y los aplicamos a nuestro estudio de la malla vial estableciendo las estrategias de priorización y minimización de riesgos necesarias en nuestra investigación. (ISO 31000, 2018).

Se encontrará la forma en que diferentes autores afrontan y observan la reducción de riesgos desde su definición, identificación, análisis y evaluación en diferentes ámbitos de estudio, además de una aplicación enfocada en nuestro interés en cuestión, observando los riesgos asociados, las edificaciones esenciales, su forma de identificar y evaluar los riesgos, todo esto aplicado en estudios de la malla vial.

Las calles y carreteras sufren daños a través de una fase de lento deterioro con fallas poco perceptibles para pasar a una fase en la que el deterioro se acelera presentando un colapso de las estructuras". Por esta razón, el mantenimiento de las calles y carreteras es esencial como parte de la mitigación y tratamiento de estos riesgos.

1.2- Planteamiento del problema

1.3.- Situación Problemática

En Tarija no se tiene un plan de mantenimiento vial que considere normas internacionales como la ISO 31000, siendo primordial el cómo llegar a las infraestructuras principales rápido y seguramente, por la importancia de las mismas. Aunque la gestión de los riesgos es un solo aspecto de todos aquellos que permiten asegurar la correcta gestión de los proyectos de construcción, éste es uno de los menos estudiados, investigados y difundidos en la gestión de proyectos dado que conlleva el conocimiento y dominio de muchas capacidades y experiencia en la construcción de proyectos. La norma ISO 31000 es una herramienta fundamental para los directores de proyectos y cuenta con el respaldo de una organización de mucho prestigio a nivel internacional como es el Project Management Institute (PMI). La conexión del riesgo - análisis de mantenimiento no ha sido completamente estudiada, existe una escasez de metodologías de mantenimiento sistémicas, multiobjetivo y basadas en riesgos que puedan resolver los problemas que enfrenta el programa de mantenimiento de una red vial.

Es por ese motivo que es necesario implementar nuevas metodologías basadas en normas internacionales que nos permitan mejorar el mantenimiento vial con la gestión de riesgos. Aunque se cuenta con mucha información del riesgo, desarrollada por diversos especialistas, autores e instituciones, no todas están difundidas de igual forma en Bolivia, dado que se ha adoptado poco a poco determinadas prácticas foráneas que le hayan resultado útiles a las organizaciones vinculadas a la construcción.

Es necesario la implementación de normas reconocidas mundialmente por la Organización Internacional de Normalización. Una de ellas es la norma "ISO 31000" es una norma estándar internacional que establece las directrices de la gestión de riesgos. Dicha norma no está vigente en nuestro país siendo lamentable porque la norma ISO 31000 nos brinda mucha información al respecto del mantenimiento vial bajo aspecto como ser el impacto y la probabilidad con el estudio del pavimento en mal estado, desgaste y falla por mal estado de drenajes. Por ello, la presente investigación describe las herramientas técnicas de análisis de riesgos que se disponen actualmente que cuentan con un marco técnico y legal y lo aplicará a través de un proyecto de infraestructura vial ubicado en la ciudad de Tarija.

En Bolivia, no existe obligación de usar la norma ISO 31000, ni el PMBOK. Por ello, aunque las herramientas existen, no existe obligación de usarlas. Como resultado, cada entidad del estado, consultor o contratista puede usar las herramientas de gestión que le resulten necesarias.

1..4.- Problema

¿Cómo afecta la falta de mantenimiento de las vías principales y secundarias a la zona urbana de la Ciudad de Tarija?

1.5.- Justificación

Las razones que justifican la relevancia del presente trabajo de investigación radican en aspectos técnicos, legales. En el aspecto técnico, la presente investigación permitirá a los profesionales avocados a la gestión de proyectos viales implementar la gestión de riesgos en proyectos de infraestructura vial a través de un método desarrollado a partir de las investigaciones nacionales e internacionales existentes, lo cual representa una base para continuar mejorando la aplicación de la gestión de riesgos. Siendo que la investigación tiene sus limitaciones, dentro de la investigación se adoptarán las técnicas utilizados por investigadores en otros países que aplican con mayor eficacia la gestión de riesgos.

En el aspecto legal, la presente investigación tendrá que describir toda la normativa legal existente respecto a la gestión de riesgos y ésta permitirá identificar si existen los dispositivos suficientes para aplicarla eficientemente en nuestro país.

1.6.- Alcance del Estudio de Aplicación

El alcance de aplicación de este proyecto es en la zona urbana de la Ciudad de Tarija abarca principalmente la red vial principal de la Ciudad.

Tomando en cuenta 15 edificaciones esenciales para su análisis de los riesgos existentes análisis, determinación y estudio para la elaboración de plan de mantenimiento vial.

1.7.- Objetivos

1.7.1.- Objetivo general

Analizar la potencialidad de la aplicación de la norma ISO 31000 en la infraestructura vial urbana de la ciudad de Tarija aplicando la gestión de riesgos, plasmándola en un manual de mantenimiento de procedimientos para disminuir la probabilidad de ocurrencia y el impacto de riesgos de dichos eventos negativos viales.

1.7.2.- Objetivos específicos

- Identificar los elementos prioritarios en una malla vial desde el punto de vista de la gestión de riesgos.
- Recopilación de series de datos sobre las variables e indicadores seleccionados como base para la elaboración del estudio basándonos en la gestión de los riesgos.
- Analizar el estado de cada uno de los indicadores seleccionados y su repercusión.
- Examinar el comportamiento de los elementos para cada indicador y valorar la urgencia, la necesidad de mantenimiento y prioridad de actuación sobre cada uno de ellos.

1.8.- Hipótesis

Con la aplicación de la gestión de riesgos bajo la norma ISO 31000, identificando todos los factores que pueden intervenir, tanto como los distintos tipos de riesgos que pueden presentar en una situación determinada, se podrá ajustar la metodología para temas analizados, y de esta forma mediante un plan de mantenimiento para cada actividad involucrada se podrá optimizar y reducir la probabilidad de eventos negativos en el proyecto elegido para el estudio.

CÁPITULO 2 MARCO TEÓRICO

CAPÍTULO 2

2.- Marco Teórico

2.1.- Gestión de riesgos

En las revisiones bibliográficas relacionadas con el mantenimiento de las infraestructuras se logra identificar que mayoritariamente se centra en los detalles como la investigación de materiales y la investigación de degradación estructural. El aspecto de la gestión estratégica se ignora en gran medida. El reconocimiento de la deuda investigativa en materia de la gestión del mantenimiento ha tenido como efecto la creación de algunas iniciativas de investigación en esta área. La Administración Federal de Carreteras (FHWA) determina la gestión de activos como "un proceso sistemático de mantenimiento, mejora y operación de activos físicos de manera rentable". Combinando principios de ingeniería con teoría económica, y proporciona herramientas para facilitar un enfoque más organizado para la toma de decisiones.

Varios investigadores han intentado construir modelos para optimizar el mantenimiento acciones que abarcan todo un sistema estatal. PatÈ-Cornell utiliza el análisis de riesgo probabilístico para evaluar el riesgo, su incertidumbre, y priorizar las opciones de mitigación. La probabilidad bayesiana se utiliza para realizar análisis con la evidencia obtenida de experiencias pasadas de fallas, datos sustitutos, datos de prueba, modelos de ingeniería y opinión de expertos, Matthews et reconocen que el análisis de riesgos contribuye significativamente a la evaluación del ciclo de vida y mejora los resultados y las implicaciones del ciclo de vida.

Se encuentra el PMBOK® Guide (2016) La Gestión de los riesgos del proyecto incluye los procesos para llevar a cabo la planificación de la gestión de riesgos, la identificación, el análisis, la planificación de la respuesta, y el control sobre un proyecto. Proyecto de gestión de riesgo es esencial para el éxito de la gestión del proyecto y debe ser aplicada en todo el ciclo de vida de un proyecto.

La mayoría del material sobre gestión de riesgos de los proyectos en el PMBOK® Guide y en la práctica estándar para la gestión de los riesgos del proyecto es aplicable a la gestión de riesgos en proyectos de construcción. Esta sección de la extensión de la

construcción presenta consideraciones adicionales y directrices para la gestión de riesgos del proyecto de construcción. Según la norma ISO 31000 (2018) Este documento está dirigido a las personas que crean y protegen el valor en las organizaciones gestionando riesgos, tomando decisiones, estableciendo y logrando objetivos y mejorando el desempeño. Las organizaciones de todos los tipos y tamaños se enfrentan a factores e influencias externas e internas que hacen incierto si lograrán sus objetivos. La gestión del riesgo es iterativa y asiste a las organizaciones a establecer su estrategia, lograr sus objetivos y tomar decisiones informadas. La gestión del riesgo es parte de la gobernanza y el liderazgo y es fundamental en la manera en que se gestiona la organización en todos sus niveles. Esto contribuye a la mejora de los sistemas de gestión. La gestión del riesgo es parte de todas las actividades asociadas con la organización e incluye la interacción con las partes interesadas. La gestión del riesgo considera los contextos externo e interno de la organización, incluido el comportamiento humano y los factores culturales.

El buen desarrollo y crecimiento económico de los países se ve ampliamente afectado por la infraestructura vial. Por lo general, las grandes potencias cuentan con innovadoras carreteras. Esto se debe que dichas carreteras son la columna vertebral del transporte, el cual facilita las vías acceso a los municipios al promover la participación de estos en el producto interno del país ya que reduce los tiempos de viaje y disminuye los costos productivos dando acceso a los mercados. De ahí que la construcción y mantenimiento de las vías se convierten en puntos estratégicos para el crecimiento y correcto avance progresivo de un país. Una vez finalizada la etapa de construcción es indispensable el monitoreo y mantenimiento de las carreteras debido a que sufren daños diariamente. Inicialmente, el deterioro es lento con fallas poco perceptibles. Sin embargo, sin el mantenimiento adecuado con el paso del tiempo el deterioro se acelera presentando un colapso de la estructura para que finalmente se produzca su falla total. Por esta razón, el desarrollo de un plan de mantenimiento rutinario en las carreteras es vital ya que previene desastres a medida del tiempo. El mal estado de una carretera causado por un asfalto con alto deterioro afecta directamente la seguridad vial al aumentar el riesgo de accidentes. Esto genera gasto mayor en un futuro cuando los problemas de la infraestructura ya no tengan manera de resolverse y ocasione un grave accidente por culpa del deterioro de las mismas. Cabe resaltar que el dinero que se emplea en conservación y mantenimiento de las carreteras no es un gasto, es una inversión. Cada inversión en conservación y mantenimiento supone un ahorro en el futuro, ya que lo que costaría reparar deficiencias graves en una carretera que se haya descuidado por completo superaría la inversión de mantenimiento realizada en el presente. Reasfaltar una carretera es mucho más barato que hacerla nueva. En nuestra sociedad existen edificaciones esenciales que albergan instalaciones y/o dependencias cuyo funcionamiento en condiciones de emergencia son necesarias para preservar la salud, seguridad y atención de la población. Por tal razón, las estructuras viales que dan acceso a tales instalaciones deben siempre permanecer al alcance de las comunidades en buenas condiciones y en un estado donde se minimice el riesgo de accidentes. (Construction-Extension-to-the-PMBOK, 2016).

Un ejemplo claro de la metodología que se puede aplicar nos lo muestra el "Centro de Gestión de Riesgos de Sistemas de Ingeniería de la universidad de Virginia" con los activos que se encuentran en una misma ubicación, donde se coordinan para que requieran mantenimiento en los mismos períodos a fin de minimizar el retraso en el trabajo y los gastos, otro ejemplo son las tuberías que se encuentran debajo de las carreteras están programadas para ser reemplazadas al mismo tiempo que la superposición del pavimento. La metodología basada en el riesgo desarrollada se analiza en la figura 1.

Figura 1. Pasos en la aplicación de la metodología de la gestión de activos basadas en riesgo para sistemas de infraestructura vial.



Fuente: (Norma ISO 31000, 2018)

2.2.- Definición de riesgo y sus clasificaciones según la ISO 31000

2.2.1.- Riesgos según el tipo de actividad

Los riesgos están presentes en cualquier actividad. Sin embargo, algunos implican un

mayor o menor nivel de incidencia sobre las actividades de las empresas.

2.2.2.- Riesgo sistemático

Se refiere a aquellos riesgos que estén presentes en un sistema económico o en un mercado

en su conjunto. Sus consecuencias pueden aquejar a la totalidad del entramado comercial,

como sucede con las crisis económicas de gran envergadura y de las cuales ninguna

compañía puede sustraerse. También pueden ser originados por accidentes, guerras o

desastres naturales.

2.2.3.- Riesgo no sistemático

Son los riesgos que se derivan de la gestión financiera y administrativa de cada empresa.

Es decir, en este caso la que falla es una compañía en concreto y no el conjunto del

mercado o escenario comercial. Varían en función de cada tipo de actividad y cada caso,

al igual que la manera en que son gestionados. Las situaciones de crisis internas o un plan

de crecimiento mal implementado son algunos ejemplos.

2.2.4.- Riesgos según su naturaleza

Los riesgos también pueden definirse en función de su naturaleza. De hecho, es la manera

más extendida a la hora de clasificarlos. Está claro que un riesgo de tipo legal o jurídico

no debe tener la misma gestión que otro de tipo económico. En ese sentido, la clasificación

de los riesgos quedaría de la siguiente manera:

2.2.5.- Riesgos financieros

Son todos aquellos relacionados con la gestión financiera, Es decir, aquellos movimientos,

transacciones y demás elementos que tienen influencia en las finanzas: inversión,

diversificación, expansión, financiación, entre otros.

2.2.6.- Riesgos ambientales

Son aquellos a los que se enfrentan cuando el entorno en el que operan es especialmente

hostil o puede llegar a serlo. Tienen dos causas básicas: naturales o sociales. Otra

definición de riesgo encontrada en la literatura define el riesgo según el tipo de amenazas

o peligros sobre, en este caso, la malla vial, su nivel de exposición debido a su ubicación

9

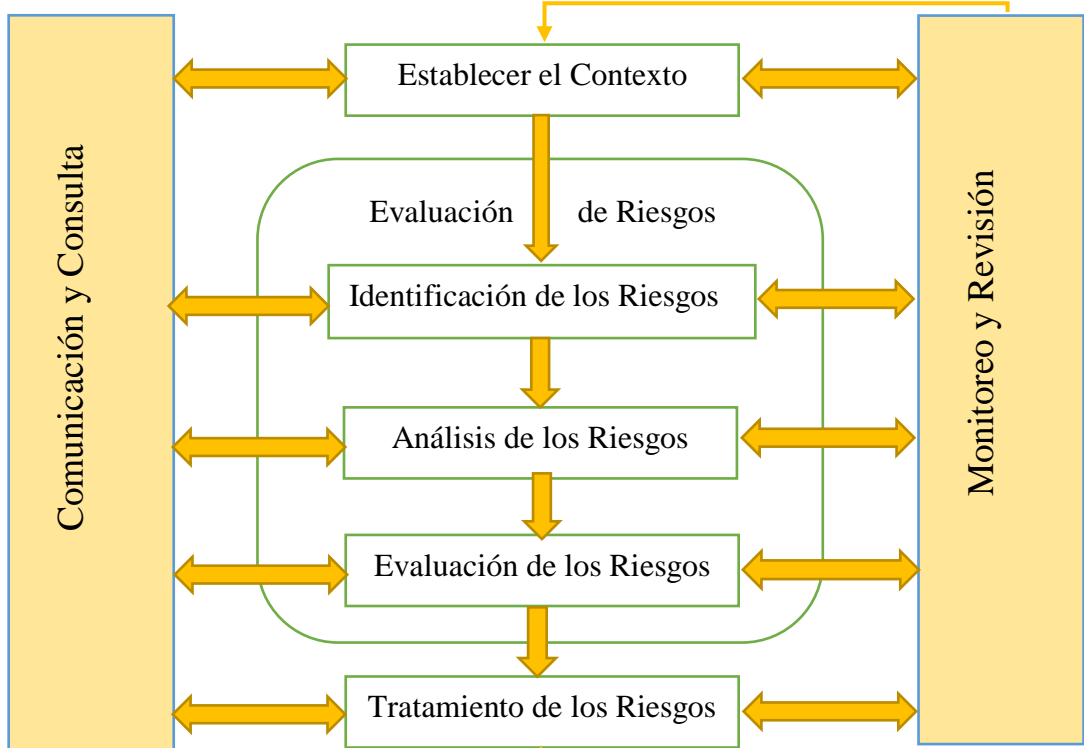
geográfica, y de sus condiciones de vulnerabilidad para ser afectados negativamente frente a las amenazas o peligros. (Soto, 2015).

- Riesgo = f (amenaza + exposición + vulnerabilidad)
- Vulnerabilidad = f (sensibilidad + capacidad adaptativa)
- Amenaza= f (indicadores).

La norma ISO 31000 nos demuestra que los riesgos no tienen el mismo origen ni la misma naturaleza por esto existen varias estrategias para su gestión. Esto ha propiciado que se desarrollen metodologías de análisis propias de un sector o especialidad. Su objetivo es la identificación, evaluación, tratamiento y monitorización de los riesgos asociados a una actividad, función o proceso. Es decir, es lo que da forma a la implementación del sistema de gestión en sí mismo. El esquema o proceso de la ISO 31000 para la gestión del riesgo es el ilustrado en figura 2.

Establecer el Contexto

Figura 2. Esquema de la ISO 31000:2011 para la gestión de riesgos.



Fuente: (Norma ISO 31000, 2011)

2.3.- Identificación de riesgos según la ISO 31000

Según la ISO 31000 el propósito de la identificación de riesgos es encontrar, reconocer y describir los riesgos que pueden ayudar o impedir a una organización lograr sus objetivos. Para la identificación de los riesgos es importante contar con información pertinente, apropiada y actualizada. Las organizaciones pueden utilizar un rango de técnicas para identificar incertidumbres que pueden afectar a uno o varios objetivos. En general se consideran los siguientes factores y la relación entre estos:

- Fuentes de riesgos tangibles e intangibles.
- Causas y los eventos
- Amenazas y las oportunidades.
- Vulnerabilidades y las capacidades.
- Cambios en los contextos interno y externo.
- Indicadores de riesgos emergentes.
- Naturaleza y el valor de los activos y los recursos.
- Consecuencias y sus impactos en los objetivos.
- Limitaciones de conocimiento y la confiabilidad de la información.
- Factores relacionados con el tiempo.
- Sesgos, los supuestos y las creencias de las personas involucradas.

Las organizaciones deben identificar los riesgos, tanto si sus fuentes están o no bajo su control. Adicionalmente, se debe considerar que puede haber más de un tipo de resultado, que puede dar lugar a una variedad de consecuencias tangibles o intangibles. (ISO 31000, 2018).

La norma además nos dice que debemos prioritariamente definir cuáles son los factores que influyen en los procesos, Y de todos esos, es preciso priorizarlos en función del impacto que tengan. En un proceso no todas las acciones tienen el mismo grado de importancia. Una buena manera de medir el impacto de un riesgo es a través de la siguiente tabla de valores:

- a. ¿A qué área afecta?
- b. ¿Cómo la afecta?
- c. ¿Qué efectos tiene sobre dicha área?
- d. ¿Qué efectos tiene sobre la organización en su conjunto?

- e. ¿Qué margen de maniobra otorga?
- f. ¿Qué tiempo de reacción permite a la dirección?
- g. ¿Qué grado de complejidad requieren sus soluciones?
- h. ¿Qué consecuencias implicará el no afrontarlo?

2.3.1.- Por medio de indicadores

Un indicador es una medida de resumen, de preferencia estadística, referida a la cantidad o magnitud de un conjunto de parámetros o atributos. Permite ubicar o clasificar las unidades de análisis, respecto al concepto, conjunto de variables o atributos que se están analizando

Los indicadores son "valores numéricos o adjetivos que se le asignan a unas condiciones o características actuales específicas de un sistema o asentamiento. Estos permiten identificar o determinar a través de una integración de valores (fórmula, ecuación o esquema relacional), el grado o nivel en que el riesgo se encuentra o se verá afectado". Los indicadores tienen dos funciones básicas. Por un lado, la función descriptiva que consiste en la aportación de información sobre el estado real de una actuación, proyecto, programa o política. Por otro lado, la función valorativa que consiste en añadir a la información descriptiva un juicio de valor, lo más objetivo posible, sobre si el desempeño está siendo o no adecuado.

Debería medirse el riesgo mediante un sistema de indicadores transparentes, representativos y robustos, de fácil comprensión, que pueda aplicarse en forma periódica y que permita la agrupación y comparación desde el punto de vista conceptual, técnico y numérico. (Soto, 2015).

2.3.2.- Indicadores asociados a los riesgos presentes en infraestructuras viales

Un ejemplo de los indicadores utilizados en un estudio de seguridad vial:

Indicador de riesgo

Se basa en establecer las distintas características que influyen en la peligrosidad de un tramo, definir para cada una de ellas una función de peligrosidad de valor comprendido entre 0 y 100, que expresa el riesgo de accidente en función del valor de la característica, asignar pesos distintos a cada una de las características consideradas para tener en cuenta su grado de influencia en la seguridad, y calcular un índice de peligrosidad ponderado.

Los tramos cuyo índice de peligrosidad sobrepasa un valor predeterminado son considerados peligrosos.

Indicador de peligrosidad

(Ejemplo: accidentes/ 108 vehículos-kilómetro): Permite considerar conjuntamente el número de accidentes y el volumen de circulación. Los tramos de la red se ordenan en función de su índice, estableciéndose un valor crítico del mismo a partir del cual los tramos se consideran peligrosos.

• Indicador combinado frecuencia-indicador de peligrosidad

Consiste en seleccionar primero una serie de tramos en función de la frecuencia de los accidentes, y priorizar las actuaciones en función del índice de peligrosidad. (Soto, 2015).

2.4.- Riesgos asociados a la infraestructura vial

Con base en la información expuesta anteriormente se puede establecer una valoración y priorización de los riesgos con el fin de clasificarlos. El análisis dependerá de la información disponible sobre el riesgo y de su origen. Para adelantarlo es necesario diseñar escalas que pueden ser cualitativas o cuantitativas. Para ello se han definido dos categorías:

Probabilidad

La palabra "probabilidad" se utiliza para indicar la posibilidad de que algo suceda, esté definida, medida o determinada objetiva o subjetivamente, cualitativa o cuantitativamente, y descrita utilizando términos generales o matemáticos (como una probabilidad matemática o una frecuencia en un periodo de tiempo determinado).

Impacto

El impacto puede explicarse como el conjunto de consecuencias que origina la materialización de un riesgo, es decir, la afectación que este causaría en la empresa, y pueden ser económicas, legales, reputacionales, entre otras. La Norma ISO31000, se califica el riesgo a partir de los datos variables de la probabilidad y del impacto asociado al riesgo. se definirán bajo dos tablas, una para cada variable, los rangos de calificación de la probabilidad y el impacto para cada riesgo. En cada tabla se asigna una letra correspondiente para darle una prioridad utilizando las palabras alto medio y bajo, estas palabras ayudan a la calificación y evaluación dando mayor valor al impacto, puesto que

este último es el que afecta en mayor medida. A continuación, se presenta a modo de ejemplo la tabla de la calificación de la probabilidad en tabla 1 y 2.

Tabla 1. Calificación de la Probabilidad.

MEDIDAS CUALITATIVAS DE PROBABILIDAD						
NIVEL	DESCRIPTOR	EJEMPLO DE DESCRIPCION DETALLADA				
A	ALTA	Afecta el alto grado al proceso				
M	MEDIA	Afecta en grado medio al proceso				
В	BAJA	Afecta en grado bajo al proceso				

Fuente: Elaboración Propia

Así mismo, se presenta a continuación la tabla de calificación de impacto en la tabla.

Tabla 2. Calificación de Impacto.

MEDIDAS CUALITATIVAS DE IMPACTO					
NIVEL	DESCRIPTOR	EJEMPLO DE DESCRIPCION DETALLADA			
A	ALTA	Es muy factible que el riesgo se presente			
M	MEDIA	Es factible que el riesgo se presente			
В	BAJA	Es muy poco factible que el riesgo se presente			

Fuente: Elaboración Propia

Con esta información definida, en cada uno de los riesgos de los procesos definidos y se verifica sus letras asignadas en términos de probabilidad y en términos de impacto. Por ejemplo, si se toma el proceso de direccionamiento estratégico y contamos con el riesgo como: "Definir planes de acción que no cumplan con las estrategias definidas para un centro comercial" obtuvo una calificación con una probabilidad media por ser un evento posible, y con un impacto alto por tener un fuerte efecto si llegara a suceder. Los datos obtenidos en la fase de identificación de riesgos se consolidan en una matriz que se presenta como ejemplo en la tabla 3.

Tabla 3. Calificación y valoración de un riesgo del proceso direccionamiento

estratégico.

				CALIFICACIÓN Y VALORACIÓN						
RIESGO CAUSAS		ЕГЕСТО	PROBABILIDAD			IMPACTO				
KIESGO	CAUSAS	EFECTO	BAJO	MEDIO	ALTO	BAJO	MEDIO	ALTO		
Definir planes de acción que mo cumplan con las estrategias definidas para el centro comercial.	conocimientos y	No se cumplen los objetivos definidos y por tanto no se logra la gestion necesaria para el desarrollo del Centro Comercial.		X				X		
Incumplir con los objetivos y metas estrategicas.	No se hace el seguimiento a los proyectos de forma periodica.	No se cumplen los objetivos definidos y por tanto no se logra la gestion necesaria para el desarrollo del Centro Comercial.	X					X		

Fuente: Elaboración Propia

2.5.- Definición de los puntos críticos de la malla vial

Se definen como puntos críticos de una estructura aquéllos que durante la fase de conservación y en las inspecciones requieren de mayor atención. En dichos puntos la probabilidad de deterioro o comportamientos estructurales anómalos es mayor. Otro punto crítico puede ser donde debido a su accesibilidad resulte más difícil llevar a cabo los trabajos de mantenimiento y conservación. La consideración de un punto como crítico obedece a una mayor probabilidad de que aparezca un daño o un deterioro en dicho punto, lo cual no quiere decir que tenga que aparecer necesariamente el daño. Simplemente se trata de advertir de que ese punto es mucho más susceptible de sufrir daños, frente a otros elementos de la estructura. Para esto se establece un criterio de selección de los elementos más prioritarios a intervención y mantenimiento dado que su daño u colapso puede generar un gran problema en la región.

2.5.1.- División de los caminos

- Grupo de Redundancia: hace referencia a los lugares que se debe asegurar la supervivencia de la red ante un fallo, proporcionándole rutas alternativas cuando se produce.
- Grupo de robustez: hace referencia a grupos en los cuales es necesario una revisión en cuanto a ciclo de vida y capacidad del elemento estableciendo un orden de prioridad.
- Grupo de Rapidez: hace referencia en cuanto a la necesidad de intervenir urgentemente este elemento de la malla vial.

2.5.2.- Inventario de elementos peligrosos de la red

Según Mayora, J. M. el inventario de elementos peligrosos tiene como objetivo la identificación de aquellos tramos que presentan unas características que originan un alto riesgo y necesidad urgente de actuación. La finalidad principal de los programas de medidas preventivas es mejorar las condiciones de la red y encontrar los puntos principales de mejora en la malla vial.

La planificación de las medidas preventivas o de mejora de la consistencia de la red varía de un caso a otro debido a que la situación de cada red es distinta. Sin embargo, en la mayoría de los casos el proceso en términos generales incluye los siguientes pasos:

- 1. Adopción de estándares de homogeneización para cada categoría funcional de las carreteras de la red.
- 2. Preparación de un inventario de elementos con fallos y urgencia.
- 3. Estimación de los costes futuros de los accidentes asociados a los elementos.
- 4. Diseño de alternativas de mantenimiento.
- 5. Estudio comparativo coste-eficacia de las actuaciones preventivas propuestas.
- 6. Evaluación de los resultados de las actuaciones ejecutadas.

2.5.3.- Identificación de edificaciones esenciales para la sociedad

Un primer paso para establecer la importancia de la malla vial es encontrar la importancia de las infraestructuras que la rodean, para las que sirven como conexión y método de comunicación, por esto se ha realizado una búsqueda bibliográfica de las edificaciones esenciales tomando como ejemplo una habitual crisis sísmica.

Según el comité de Visión 2000 (SEAOC, 1995) Las edificaciones esenciales son aquellas edificaciones que albergan instalaciones y/o dependencias cuyo funcionamiento en condiciones de emergencia debidas a una crisis, Aquellas que son necesarias para atender la emergencia y preservar la salud, seguridad y atención de la población después de una catástrofe de cualquier índole.

Utilizando como base la definición propuesta, es posible clasificar las edificaciones esenciales de acuerdo a la función específica que cumplen dichas instalaciones en una comunidad. Si bien la lista puede hacerse interminable, su identificación y jerarquización depende de la importancia y la función que desempeñe en el momento de una crisis sísmica.

2.5.4.- Hospitales, clínicas, ambulatorios y centros de salud.

Las instalaciones de la salud requieren consideraciones especiales en relación con la mitigación del riesgo debido a sus características de ocupación y al papel que desempeñan durante situaciones de catástrofes en general, en relación con la preservación de la vida y la salud, especialmente en el diagnóstico y tratamiento de heridas y enfermedades. Pueden tener en cualquier momento una alta densidad de ocupantes entre pacientes residentes, pacientes transitorios, médicos, enfermeros, personal administrativo, empleados, funcionarios, visitantes, estudiantes, niños e incluso recién nacidos. En caso de desastre, un hospital debe continuar con el tratamiento de los pacientes alojados en sus instalaciones y debe atender a las personas lesionadas por el evento. El edificio, las instalaciones y su dotación, deben permanecer en condiciones de servicio, más aún, si existen pocas alternativas para sustituir su función, ya que los daños de un hospital estratégicamente importante pueden causar una enorme crisis debido a la falta de alternativas en la zona y a la necesidad de atención urgente. Por otra parte, los costos sociales de su disfunción, así como los costes económicos de su reposición o restauración coinciden en justificar medidas de seguridad extrema. En definitiva, constituyen el principal representante de las edificaciones esenciales.

2.5.5.- Escuelas, colegios, universidades y otros institutos educacionales

Los centros educacionales son considerados edificaciones esenciales principalmente por el importante papel que pueden jugar en la atención de las crisis, ya que constituyen instalaciones que pueden servir de alojamiento a los damnificados. Sin embargo, también representan elementos expuestos a un nivel muy importante de riesgo debido a las características de su ocupación. De hecho, son edificaciones que alcanzan altas densidades de ocupación por largos períodos de tiempo, factor determinante para diferenciarlas de otras edificaciones no menos importantes, donde pueden ocurrir altas concentraciones de personas, pero por períodos cortos de tiempos, como son, los cines, los teatros, graderías, templos, etc. También influye como una variable determinante, el costo social asociado a su inmovilización, así como el costo de reposición de daños, normalmente por encima de lo que costaría reponer edificaciones convencionales.

2.5.6.- Edificaciones Gubernamentales o Municipales de importancia

Representan los centros neurálgicos de planificación, coordinación y administración para la gestión de la emergencia sísmica. En ellos se gerencia la acción de los planes de emergencia y constituyen finalmente los puntos de convergencia para afrontar las consecuencias debidas a la crisis. De manera que su clasificación como edificaciones esenciales, obedece a los aspectos logístico y estratégico.

2.5.7.- Estaciones de bomberos, de policía y cuarteles

El servicio prestado por el personal de bomberos, policía y militares, constituye sin duda alguna, la base de cualquier programa de atención de emergencia debido a una crisis sísmica. Constituyen el brazo ejecutor de los planes de emergencia para la atención y protección de la población afectada y la propiedad privada. En tal sentido, es determinante que dichas instalaciones permanezcan en condiciones de prestar el servicio que les sea encomendado, razón por la cual se consideran edificaciones esenciales, cuyo funcionamiento en condiciones de emergencia es vital para paliar las consecuencias inherentes de un desastre.

2.5.8.- Centros de asistencia primaria en caso de emergencia como defensa civil, protección civil y primeros auxilios, entre otro

Hoy por hoy, estas instituciones, al igual que las citadas en el punto anterior, juegan un papel preponderante en los planes de emergencias por lo que su clasificación como edificaciones esenciales se justifica por la función social que desempeñan.

2.5.9.- Otras edificaciones esenciales

Existe otra gran cantidad de edificaciones que albergan instalaciones y/o dependencias cuyo funcionamiento en condiciones de emergencia es vital para afrontar las consecuencias inherentes a una catástrofe. Entre ellas destacan, las edificaciones donde operan centrales eléctricas, de telégrafo, teléfono, radio, televisión, plantas de agua potable y de bombeo, centros de control de tráfico aéreo y marítimo, estaciones ferroviarias, garajes para vehículos de emergencia, en fin, todas aquellas donde funcionen instalaciones destinadas a prestar servicios de telecomunicación, transporte, generación y distribución de energía, suministro y tratamiento de agua y alimentos. Estas constituyen, de alguna manera, servicios complementarios a las líneas vitales y su funcionamiento es fundamental en la atención de una crisis. (SEAOC, 1995).

2.6.- Análisis de riesgos

El análisis de los riesgos implica una consideración detallada de incertidumbres, fuentes de riesgo, consecuencias, probabilidades, eventos, escenarios, controles y su efectividad. Un evento puede tener múltiples causas y consecuencias y puede afectar a múltiples objetivos.

El análisis de riesgos debiera considerar factores tales como:

- La probabilidad de los eventos y de las consecuencias
- La naturaleza y la magnitud de las consecuencias
- La complejidad y la interconexión
- Los factores relacionados con el tiempo y la volatilidad
- La efectividad de los controles existentes
- Los niveles de sensibilidad y de confianza.

El análisis de riesgos proporciona una entrada para la evaluación de los riesgos, para las decisiones sobre la manera de tratar los riesgos y si es necesario hacerlo y sobre las estrategias y métodos más apropiados de tratamiento para riesgos. Los resultados proporcionan un entendimiento profundo para tomar decisiones, cuando se está eligiendo entre distintas alternativas, y las opciones implican diferentes tipos y niveles de riesgo.

El propósito de la evaluación de los riesgos es apoyar a la toma de decisiones. La evaluación de los riesgos implica comparar los resultados del análisis del riesgo con los criterios para riesgos establecidos para determinar cuándo se requiere una acción adicional. (ISO 31000, 2018).

Esto puede conducir a una decisión de: no hacer nada más:

- Considerar opciones para el tratamiento para riesgos.
- Realizar un análisis adicional para comprender mejor el riesgo.
- Reconsiderar los objetivos.
- Mantener los controles existentes.

2.6.1.- Evaluación y tratamiento de los riesgos

El propósito del tratamiento de los riesgos es seleccionar e implementar opciones para abordar los riesgos. El tratamiento de los riesgos implica un proceso iterativo de:

- Formular y seleccionar opciones para el tratamiento de los riesgos.
- Planear e implementar el tratamiento de los riesgos.

- Evaluar la efectividad de dicho tratamiento.
- Decidir si los riesgos residuales son aceptables.
- Si no son aceptables, efectuar algún tratamiento adicional.

Las opciones de tratamiento de los riesgos no necesariamente son mutuamente excluyentes o apropiadas en todas las circunstancias. Las opciones para tratar los riesgos pueden implicar una o más de las siguientes:

- Evitar el riesgo decidiendo no iniciar o continuar con la actividad que genera el riesgo mismo
- Aceptar o aumentar el riesgo en busca de una oportunidad
- Eliminar la fuente de riesgo
- Modificar la probabilidad
- Modificar las consecuencias
- Compartir el riesgo (por ejemplo: a través de contratos, compra de seguros)
- Retener el riesgo con base en una decisión informada.

La justificación para el tratamiento de riesgos es más amplia que las simples consideraciones económicas y debiera tener en cuenta todas las obligaciones de la organización, los compromisos voluntarios y los puntos de vista de las partes interesadas. La selección de las opciones para el tratamiento de riesgos debiera realizarse de acuerdo con los objetivos de la organización, los criterios para riesgos y los recursos disponibles. Para evaluar los riesgos se determina la gravedad de los riesgos, clasificándolos en tres tipos: aceptables, graves e inaceptables, tal como se describen a continuación en la tabla 4.

Tabla 4 Clasificación de riesgos según su gravedad..

А	Inaceptable: Riesgo extremo	Se requiere acción inmediata, planes de tratamiento requeridos, implementados reportados a los gerentes de área.			
В	Grave: Riesgo alto	Se requiere atencion de los lideres de procesos, planes de tratamiento, implementados y reportados a los gerentes de área.			
С	Aceptable: Riesgo bajo	Se administra con procedimientos de controles rutinarios.			

Fuente: Elaboración Propia

Es importante anotar que, para el caso del riesgo aceptable, la recomendación no es no tomar ningún tipo de acción. Sino por el contrario administrarlo con actividades de control que mantengan al riesgo en esta calificación y evite que se conviertan en riesgos graves inaceptables. (Soto, 2015)

El riesgo fue clasificado según los datos de la tabla 4 los cuales se obtuvieron a partir de los resultados de cruzar las variables de probabilidad e impacto, en una matriz que define la zona de gravedad del riesgo. La matriz que determina los niveles de riesgo y su prioridad que se presentan a continuación en la tabla 5.

Tabla 5. Matriz de evaluación del riesgo cruce de variables.

	ALTA	В	A	A		
DAD	MEDIA	В	В	A		
BILI	BAJA	C	В	В		
PROBABII		ВАЈО	MEDIO	ALTO		
		IMPACTO				

Fuente: Elaboración Propia

De esta forma, cada uno de los riesgos tendrá asignado un nivel de gravedad, el cual permitirá priorizar e indicar como debe tratarse cada uno de ellos. Así entonces se complementa la tabla con el resultado de la evaluación del riesgo.

Tabla 6. Ejemplo de resultado de evaluación de riesgos.

CALIFICACIÓN Y VALORACIÓN									
RIESGO	CAUSAS	EFECTO	PROBABILIDAD			IMPACTO			PROBABILIDAD
MESGU	CAUSAS	ETECTO	BAJO	MEDIO	ALTO	BAJO	MEDIO	ALTO	A, B o C
Definir planes de acción									
que mo cumplan con las	Falta de conocimientos y mal	No se cumplen los objetivos definidos y por		v				v	
estrategias definidas para	manejo de los entornos.	tanto no se logra la gestion necesaria para el		X				Λ	A
el centro comercial.		desarrollo del Centro Comercial.							
Incumplir con los	No se hace el seguimiento a los	No se cumplen los objetivos definidos y por							
objetivos y metas		tanto no se logra la gestion necesaria para el	X					X	В
estrategicas.	proyectos de forma periodica.	desarrollo del Centro Comercial.							

Fuente: Elaboración Propia

2.6.2.- Selección de las opciones para el tratamiento de riesgos

La selección de las opciones más apropiadas para el tratamiento de riesgos implica hacer un balance entre los beneficios potenciales, derivados del logro de los objetivos contra costos, esfuerzo o desventajas de la implementación. Las opciones de tratamiento de los riesgos no necesariamente son mutuamente excluyentes o apropiadas en todas las circunstancias. Las opciones para tratar los riesgos pueden implicar una o más de las siguientes:

- Evitar el riesgo decidiendo no iniciar o continuar con la actividad
- que genera el riesgo mismo
- Aceptar o aumentar el riesgo en busca de una oportunidad;
- Eliminar la fuente de riesgo;
- Modificar la probabilidad;
- Modificar las consecuencias;
- Compartir el riesgo (por ejemplo: a través de contratos, compra de seguros);
- Retener el riesgo con base en una decisión informada.

2.6.3.- Esquema de actuación con los riesgos en la construcción

El esquema de actuación se puede aplicar a cualquier ámbito de la construcción, tomando en consideración que según el tipo de infraestructura al cual se aplique hay elementos que pueden variar.

2.6.4.- Descripción funcional de la vía

Se debe incluir una breve descripción del uso de la carretera, número de carriles, existencia de aceras, posibilidad de tráfico peatonal, semáforos, descripción de los accesos a la estructura, limitaciones para algún tipo de vehículos.

2.6.5.- Criterios de inspección

Para conocer la condición real y evaluar el estado de cada uno de los elementos, será necesario contar con un programa de inspección sistemático además de prever situaciones extraordinarias que puedan requerir inspecciones especiales. Debido a la variabilidad de tipologías existentes y a la singularidad de muchas de ellas desde el punto de vista del mantenimiento, se hace recomendable definir desde el proyecto cuáles serán los pasos

para realizar el mejor reconocimiento de la estructura optimizando además los recursos, en la medida de lo posible. (ISO 31000, 2018).

2.6.6.- Factores económicos

La parte más importante de cualquier plan de mantenimiento es el presupuesto, ya que resulta necesario saber cuánto costará de forma inicial el implementar este plan a cualquier parte de la red vial, por otro lado, también se debe tener en cuenta el coste que le precede que es el de gestionar el plan en sí. Debe hacerse con criterio la elaboración de un plan que se ajuste a las necesidades de la red vial para la cual se está elaborando, Los países en vías de desarrollo suelen dar importancia a la construcción de carreteras ya que dinamiza la economía en sectores como el agrícola, el turístico entre otros, pero lo que se hace difícil generalmente en los países es mantener en buen estado aquellas vías.

2.6.7.- Rueda de Merlín

El Laboratorio Británico de Investigación de Transportes y Caminos (TRRL) desarrolló el Rugosímetro MERLÍN (acrónimo de la terminología inglesa Machine for Evaluating Roughness using low-cost Instrumentation), basándose en el principio del perfilómetro estático, con el objetivo de obtener un equipo de bajo costo, fácil manejo y un método de análisis simple con resultados confiables. La gran ventaja en el uso del MERLÍN es la exactitud en los resultados que solo puede ser supera por el método de Nivel de ingeniero y mira. El Merlín es un equipo de diseño simple, consta de un marco formado por dos elementos verticales y uno horizontal. Para facilidad de desplazamiento y operación, el elemento vertical delantero es una rueda, mientras que el trasero tiene adosados lateralmente dos soportes inclinados. El Ing. Pablo del Águila en sus diferentes publicaciones sobre la utilización del equipo MERLÍN hace hincapié en las bondades del equipo como son: la gran exactitud en los resultados obtenidos, en comparación con cualquier método dinámico y como también en el aspecto económico, siendo solamente necesario dos personas para su operación, lo cual resulta barato en comparación a los equipos dinámicos que necesitan para su operación de vehículos adicionales y el costo mantenimiento y calibración de estos su vez es relativamente alto. (Servando Álvarez, Rafael Rivero, 2012).

2.6.7.1.- Diseño del Rugosímetro de merlín

El Rugosímetro de Merlín consta de las siguientes partes:

- Rueda de bicicleta, con su horquilla delantera
- Patín móvil
- Brazo móvil
- Puntero
- Manijas
- Patín Fijo
- Tablero
- Estabilizador de descanso
- Estabilizador de ensayo

A continuación, se detallará de acuerdo a la figura 4.

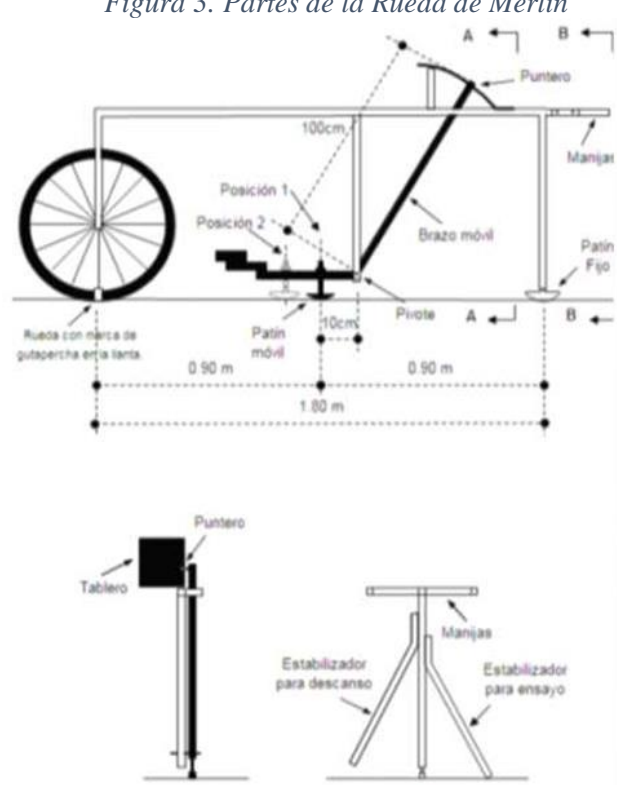


Figura 3. Partes de la Rueda de Merlín

Fuente: (Servando Álvarez, Rafael Rivero, 2012)

Una barra horizontal de metal de 2 metros aproximadamente de largo.

- Una rueda de bicicleta al frente adjuntando a la barra a través de una horquilla delantera de bicicleta. La parte inferior de la cubierta actúa como pie delantero.
- Una pata vertical de metal adjunto a partes de atrás de la barra. Una pieza en forma de metal en la parte inferior de la pata que actúa como pie trasero.
- Una pata central a mitad de camino a lo largo de la barra que llega hasta cerca de la superficie del camino.
- Un brazo movible adjunto al centro de la pata por un ejemplo el brazo es escalonado para evitar el riesgo que toque la superficie de los caminos muy accidentados.
- La sonda, una pieza de metal con forma pata de la parte trasera que se une a la parte inferior del brazo móvil hace contacto con la carretera a mitad del camino entre los pies delanteros y traseros.
- Un peso adjunto al final del brazo movible que fuerza la sonda hacia abajo hasta que toque la superficie del camino o el extremo superior del brazo que alcanza su tope final.
- Un apuntador adjunto al extremo superior del brazo movible que se mueve sobre un soporte para mapas. Las dimensiones son tal que un movimiento de la sonda de 1 mm. Dara lugar a un movimiento del puntero de 1 cm.
- Una tabla de datos preparado con cinta al soporte para mapas, compuestos por columnas de 5 mm. De ancho y divididas en cajas.
- Un estabilizador en un lado de la parte trasera que impide que el merlín se caiga a la hora de tomar las mediciones.
- Dos asas al final de la barra que permite al operador levantar el merlín y ruede a lo largo del camino.
- Un marcador sobre la rueda o neumático. Cuando el marcador está en la parte
 inferior, como el de la figura, se dice que la rueda está en posición inicial o
 normal. Para su fácil elaboración, la barra horizontal, la pata trasera y central,
 brazo movible, el estabilizador y las dos azas todas son echo de tubos de acero
 en sección cuadrada.
- Las uniones son soldadas donde sea posible, sin embargo, el estabilizador y las azas son fijados por pernos de modo que se puedan ser removidas para una

transportación más fácil. Para fortalecer las uniones entre la barra principal y las patas.

2.7.- Transito Diario

Volumen De Tránsito Diario. - Dentro de los volúmenes de tráfico considerando que el concepto general es de la relación de número de vehículos que pasan por un punto o sección de una carretera o calle en un periodo de tiempo, si ese periodo de tiempo es de un día o 24 horas el volumen determinado recibe el nombre de Tránsito Diario. En la práctica solo instituciones públicas pueden tener registros permanentes, para proyectos específicos los estudios que se realizan son en periodos cortos siendo significativo por lo menos de 3 meses de registro con mayor intensidad de horas registradas. (Ministerio de transporte y comunicaciones, 1997).

2.7.1.- Factor de Nocturnidad (fn)

Cuando los aforos solo se realizaron en un horario diario, se emplea un factor de expansión, el factor de nocturnidad, para compensar el volumen nocturno. Ministerio de transporte y comunicaciones, 1997

$$fn = \frac{V24 \ horas}{V thoras}$$

Dónde:

 $V_{24horas} = Volumen vehicular de 24 horas (veh)$

 V_{thoras} = Volumen vehicular "t" horas (veh)

2.8.- Congestionamiento Vehicular

Definido por la Real Academia Española como la acción y efecto de congestionar, por tanto, el de obstruir o entorpecer el paso, la circulación o el movimiento de algo, para este estudio se hablará específicamente de los motorizados. Entonces el congestionamiento vehicular es un fenómeno de espera o demora de los motorizados, comúnmente asociado a muchos problemas de tránsito. Estas demoras pueden ser causadas por los dispositivos para el control de tránsito al interrumpir el flujo, debido a que estos dispositivos de señales de ALTO y CEDA EL PASO producen detenciones en un viaje normal. También son ocasionadas por la misma corriente vehicular en ocasiones de flujo continuo, que tienen

demoras periódicas que ocurren durante las mismas horas del día como el embotellamiento y demoras no periódicas producto de incidentes o accidentes, o simples cierres de calzadas. La congestión produce un importante aumento de los costos operativos que son causados principalmente por los incrementos en los tiempos de viaje, aumento de consumo de combustible, imposibilidad de prever tiempos de viaje, contaminación ambiental, producción de stress generalizado, por el aumento en la probabilidad de accidentes y episodios de violencia vial.

Entre otras de las muchas causas de congestionamiento vehicular podemos nombrar:

- El rápido crecimiento poblacional o de trabajo en algún área, que incrementa el flujo diario de automóviles por dicha área.
- El uso intensivo de vehículos automotores, debido al fácil acceso que tiene la población para la adquisición de un automotor y a la comodidad que les da para trasladarse el uso del mismo.
- La deficiente infraestructura vial que existe en algunas zonas de la ciudad, que debido a la antigüedad de las mismas y que no fueron diseñas para los volúmenes de tráfico existentes en la actualidad.
- Concentración de los traslados de los diferentes trabajos, puesto que la mayoría de las organizaciones ya sean estas privadas gubernamentales o independientes, inician y terminan sus actividades a una misma hora promedio.
- La utilización excesiva de vehículos privados, ya que la mayoría de los ciudadanos prefiere la comodidad de viajar solo en su motorizado privado, y disfrutar del confort, privacidad y el de poder incrementar la velocidad según la necesidad del mismo.

El exceso de cada uno de los aspectos mencionados indiscutiblemente nos crea molestias de congestionamiento en el traslado de un punto a otro. Las demoras y las filas de espera, resultado del congestionamiento, son fenómenos de espera comúnmente asociados a los muchos problemas de tránsito. La teoría de las filas de espera, es una herramienta importante para el análisis de este fenómeno, en general, la situación de demoras las ocasiona la variabilidad del flujo de tránsito, pues hay periodos en que la demanda puede llegar a ser muy grande, o se presentan porque la capacidad del sistema varíe con el tiempo al darse el servicio por periodos. (Rafael Cal, Mayor Reyes Spindola, 2000).

2.8.1.- Velocidad de punto

Velocidad de punto. - La velocidad de punto es aquella velocidad que se mide a la circulación vehicular considerando a la misma como flujo libre, es decir, que no se tengan restricciones en el movimiento por vehículos que van adelante, por vehículos que van por atrás, por cruce de peatones, etc. La velocidad de punto no es una velocidad de diseño ni en calles ni en carreteras, pero es una velocidad cuya referencia nos da las velocidades máximas posibles que se puedan presentar tanto en calles como en carreteras. Al ser una velocidad que se considere en flujo libre eso no sería posible en espacios o distancias largas por ello que para su estudio se definen espacios o distancias pequeñas, en el caso de ciudades los espacios serán de 25, 50 o 100 metros y en el caso de carreteras los espacios serán de 100, 200 o 500 metros siempre y cuando no haya accesos de entrada y de salida. La relación que nos permite determinar la velocidad de punto es la siguiente:

$$Vp = \frac{dx}{dt} = m/s$$

Dónde:

Vp = Velocidad de punto

dx = distancia de recorrido

dt = tiempo de recorrido

2.8.2.- Densidad Vehicular

Se entiende por densidad de tráfico al número de vehículos que ocupan un tramo de una calle o carretera de longitud dada. Cuya relación es directamente proporcional al volumen de tráfico e inversamente proporcional a la velocidad que imprimen los vehículos. Se suele expresar en vehículos/kilómetros. El valor máximo de la densidad tiene lugar cuando todos los vehículos están en fila sin espaciamiento entre ellos y lógicamente depende de la longitud media de los vehículos. Es difícil medir directamente la densidad en el campo, pues es necesario contar con un punto elevado desde donde se pueda fotografiar, video filmar, o divisar tramos de vía de longitud significativa. Sin embargo, se puede calcular a través de la velocidad media de recorrido y de la intensidad de circulación, que son de más sencilla medición, a partir de la fórmula:

$$I = V * D$$

Dónde:

I= intensidad de circulación, en veh/h

V= velocidad media de recorrido, km/h

D= densidad, en veh/km

La densidad es un parámetro crítico en la descripción de las operaciones de tráfico. Describe la proximidad entre los vehículos, y refleja la libertad de maniobra dentro de la corriente de tráfico. (Rafael Cal, Mayor Reyes Spindola, 2000).

2.9.- Índice Medio de Drenajes

Es importante mencionar que el IMD se utiliza para evacuar la capacidad de drenaje de un terreno en función de la inclinación y la textura del suelo, lo cual es relevante en el estudio de la ingeniería civil.

El índice medio de drenaje (IMD) es una medida utilizada para evaluar la capacidad de un suelo para drenar el agua.

Nos indica que tan bien drena el pavimento y los alrededores de la vía.

¿Por qué es importante?

- **Seguridad vial**: Un buen drenaje previene el hidroplano, mejora la visibilidad y reduce el riesgo de accidentes.
- Conservación de la carretera: Evita el deterioro del pavimento y los taludes causado por la erosión del agua

El cálculo del Índice medio de drenaje involucra varios factores, como la pendiente de la carretera, el tipo de suelo, la vegetación y la presencia de obras de drenaje (cunetas, alcantarillas). Sin embargo, para una explicación sencilla, podemos utilizar un método aproximado basado en la medición de la pendiente en puntos equidistantes a lo largo de la carretera. (Soto, 2015).

Para la medición de las elevaciones se utilizó una aplicación llamada UTM Geo Map.

IMD=
$$(\frac{1}{N} * \sum_{i=1}^{N} * I)*100$$

IMD = es el índice medio de drenaje.

N = es el número de puntos de muestreo (generalmente 10 puntos).

I = Índice de drenaje.

$$l = \frac{hi}{di}$$

hi = es la altura del punto I sobre el punto inferior más cercano.

di = es la distancia horizontal entre el punto I y el punto inferior más cercano.

2.10.- Deslizamiento

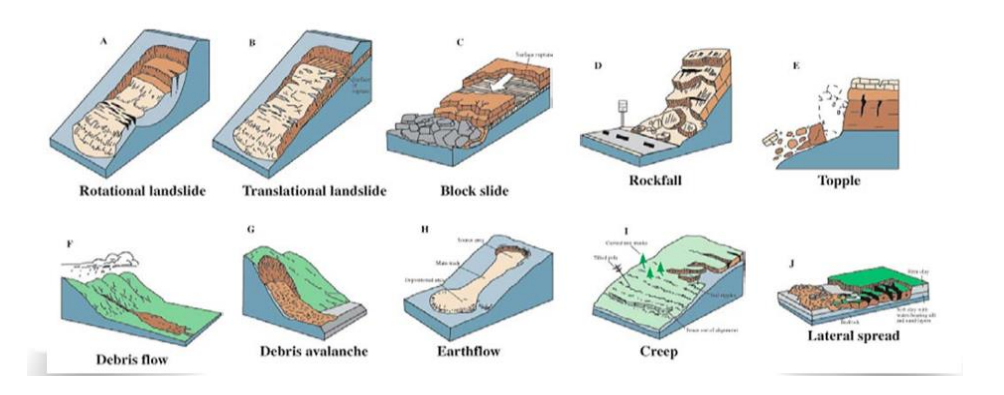
En el estudio de la estabilidad de los taludes se abordan fenómenos de estado último o de rotura de masas de suelo. El agente externo responsable de la inestabilidad es una fuerza de masa, el peso y, eventualmente, los efectos de filtración, a los cuales hay que añadir otros factores como las sobrecargas (estáticas/dinámicas).

Bajo el nombre genérico de talud denominamos a la superficie inclinada, con respecto a la horizontal, que adoptan permanentemente o provisionalmente las estructuras de tierra. Estos pueden ser artificiales, cuando están construidos por el hombre en sus obras de ingeniería (terraplén o desmonte), o naturales (laderas). Asimismo, pueden ser de suelos, rocas o mixtos, variando a su vez la metodología de estudio. Los proyectos de ingeniería civil (fundamentalmente obras lineales) requieren el diseño de taludes tanto en corte de terreno como en terraplén, bajo las condiciones de seguridad adecuadas. (Sanz et al., 2015).

2.10.1.- Tipología de Inestabilidades

Al estudiar los fenómenos de inestabilidades de taludes, es necesario identificar y caracterizar los distintos tipos de comportamiento, y clasificarlos adecuadamente. Un análisis preciso del tipo de rotura permite optimizar las medidas de contención y estabilización de taludes y laderas, ya que atiende al mecanismo actuante, la velocidad y las dimensiones. Por el contrario, una incorrecta definición del mecanismo de rotura puede dar lugar a soluciones incorrectas o ineficaces, y en algunos casos contraproducentes. Se diferencian los siguientes tipos de movimientos:

Figura 4. Clasificación de movimientos terreno Varnes



Fuente: (Sanz et al., 2015)

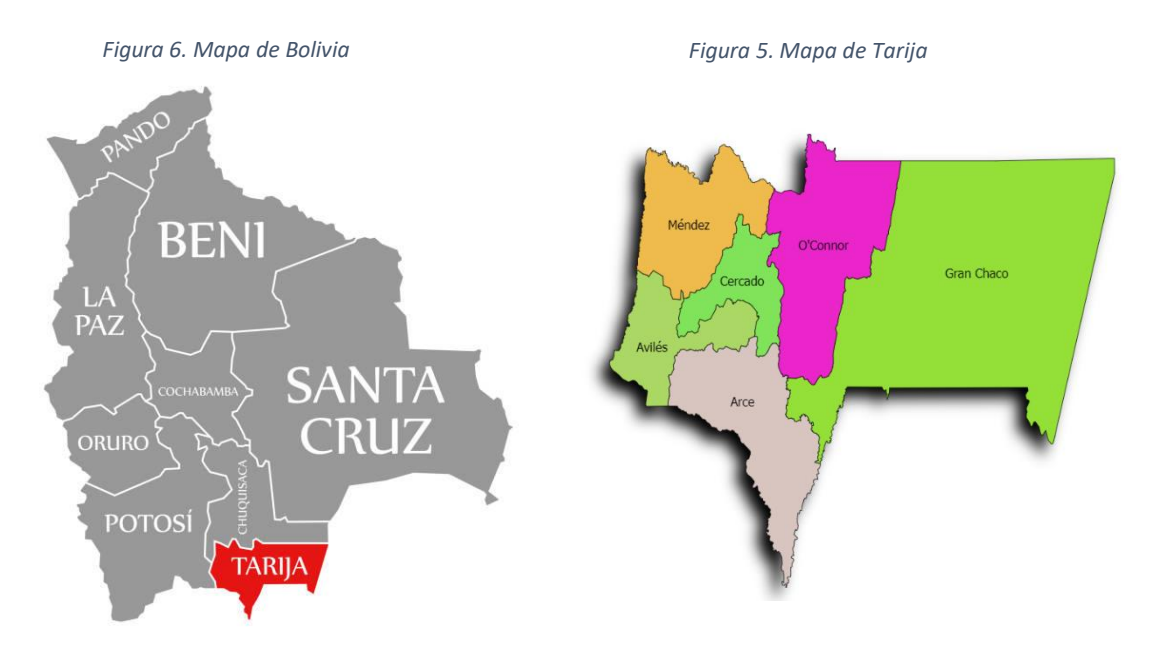
CAPÍTULO 3 DESARROLLO DE LA APLICACIÓN

CAPÍTULO 3

3.- Desarrollo de la aplicación

3.1.- Ubicación del área de proyecto

La zona de estudio se encuentra en el país de Bolivia, Ciudad de Tarija Provincia Cercado,



Fuente: IGM - Bolivia Fuente: IGM - Bolivia

Abarca principalmente la zona urbana. Son 15 intersecciones de análisis y recopilación de datos.

Los aforos, las mediciones de velocidades y el cálculo del índice internacional de rugosidad se realizaron en los accesos de las edificaciones esenciales aforos de 16 horas y en el punto de la Universidad Juan Misael Saracho de 24 horas para determinar el transito diario.

3.2.- Calculo de datos

PROCESO:

1) Identificar las edificaciones esenciales para la sociedad en el entorno de estudio, tales como hospitales, universidades, estaciones de policía, etc.

- 2) Identificar los elementos que componen la malla Vial de importante conexión para estas infraestructuras seleccionadas en el punto anterior, para esto se realiza un inventario de los elementos que componen esta red.
- 3) Establecer las fuentes de riesgo para cada uno de los elementos seleccionados de la red y analizar sus riesgos más importantes.
- 4) Establecer valorización de riesgos en cada elemento de la red utilizando indicadores de probabilidad e impacto en cada riesgo.
- 5) Evaluar cada riesgo utilizando la matriz de riesgos y su cruce de variables de probabilidad e impacto.
- 6) Clasificar los elementos de la red y su riesgo prioritario en cada elemento de la malla vial.

Las edificaciones esenciales son seleccionadas según la norma teniendo en cuenta parámetros como capacidad, nivel de atención y lugar de ubicación de la edificación.

Estas edificaciones se ubicaron en la plataforma Google Maps, y mediante su vista satelital se identificaron las vías secundarias que brindan accesos a estas edificaciones a la red principal de ciudad de Tarija, se pueden observar en la tabla 8:

Tabla 7. Edificaciones esenciales para la Ciudad de Tarija

EDIFICIOS ESENCIALES EN LA CIUDAD DE TARIJA
1 UNIVERSIDAD
1.1. Juan Misael Saracho
2 HOSPITAL
2.1. Obrero
2.2. San Juan de Dios
3 CLINICA
3.1. Prosalud
4 POLICIA
4.1. Comando de la Policía
4.2. Transito
4.3. Epi Morros Blancos
4.4. Epi Moto Méndez
5 BOMBERO
5.1. Estación de Bomberos
6 TRANSPORTE
6.1. Nueva Terminal
6.2. Aeropuerto Oriel Lea Plaza
7 ENERGIA
7.1. Setar
7.2- Setar Tablada
8 CUARTEL MILITAR
8.1- Base Aérea Gada 94

9.- EDIFICACIÓN ESENCIAL

9.1.- Mercado Campesino

Fuente: Elaboración Propia

		VIA
IDENTIFICACIÓN DE EDIFICACIÓN	VIA PRINCIPAL	SECUNDARIA
Universidad Autónoma Juan Misael Saracho	Av. Víctor Paz Zamora	España

Figura 7. Geolocalización de edificación especial



Fuente: Google Earth Pro

IDENTIFICACIÓN DE EDIFICACIÓN	VIA PRINCIPAL	VIA SECUNDARIA
Hospital Obrero	Av. Potosí	Membrillos

Figura 8. Geolocalización de edificio especial



IDENTIFICACIÓN DE EDIFICACIÓN	VIA PRINCIPAL	VIA SECUNDARIA
Hospital San Juan de Dios	Gral. De Santa Cruz	14 de junio

Figura 9. Geolocalización de edificación especial



IDENTIFICACIÓN DE EDIFICACIÓN	VIA PRINCIPAL	VIA SECUNDARIA
Clínica Prosalud	Av. Héroes de la Independencia	Av. Noelia Martínez

Figura 10. Geolocalización de edificación especial



IDENTIFICACIÓN DE EDIFICACIÓN	VIA PRINCIPAL	VIA SECUNDARIA
Comando de Policía	Av. Víctor Paz	Ballivián

Figura 11. Geolocalización de edificación especial



IDENTIFICACIÓN DE EDIFICACIÓN	VIA PRINCIPAL
Transito	Av. De la Integración

Figura 12. Geolocalización de edificación especial



IDENTIFICACIÓN DE EDIFICACIÓN	VIA PRINCIPAL
Epi Morros Blancos	Av. Víctor Paz

Figura 13. Geolocalización de edificación especial



IDENTIFICACIÓN DE EDIFICACIÓN	VIA PRINCIPAL	VIA SECUNDARIA
Epi Moto Méndez	29 de junio	Cap. Castellanos





IDENTIFICACIÓN DE EDIFICACIÓN	VIA PRINCIPAL	VIA SECUNDARIA
Estación de Bomberos	Av. Víctor Paz	Av. Cnl. Carlos Diaz

Figura 15. Geolocalización de edificación especial



IDENTIFICACIÓN DE EDIFICACIÓN	VIA PRINCIPAL	VIA SECUNDARIA
Nueva Terminal	Av. Nueva Terminal	Torrecillas

Figura 16. Geolocalización de edificación especial



IDENTIFICACIÓN DE EDIFICACIÓN	VIA PRINCIPAL	VIA SECUNDARIA
Aeropuerto	Av. Víctor Paz	Av. Fuerza Aérea

Figura 17. Geolocalización de edificación especial



IDENTIFICACIÓN DE EDIFICACIÓN	VIA PRINCIPAL
Setar	Av. Víctor Paz

Figura 18. Geolocalización de edificación especial



IDENTIFICACIÓN DE EDIFICACIÓN	VIA PRINCIPAL	VIA SECUNDARIA
Setar Tablada	Ruta San Jacinto	Calle 2

Figura 19. Geolocalización de edificación especial



IDENTIFICACIÓN DE EDIFICACIÓN	VIA PRINCIPAL	VIA SECUNDARIA
Mercado Campesino	Av. Panamericana	Cochabamba

Figura 20. Geolocalización de edificación especial



IDENTIFICACIÓN DE EDIFICACIÓN	VIA PRINCIPAL
Fuerza Aérea	Av. Alto de la Alianza

Figura 21. Geolocalización de edificación especial



Analizando los riesgos identificados se realizará el estudio de campo de los siguientes parámetros:

Tabla 8. Identificación de riegos para elementos de la red

FUENTE DE RIESGO	RIESGO	PARAMETRO DE MEDICION	
Clima	Falla por mal estado de drenajes	Índice medio de drenajes (IMD)	
Desgaste	Intensidad diaria	Transito diario (TD)	
Entorno	Congestionamiento Vehicular	Densidad vehicular	
Entorno	Deslizamiento	Estado de talud	
Falta de	Pavimento en mal estado	Índice Internacional de	
Mantenimiento	1 avimento en mai estado	Rugosidad (IRI)	

Fuente: Elaboración Propia

Tomando en cuenta 15 puntos establecidos referidos a edificaciones esenciales del área urbana de la ciudad de Tarija, donde se medirán todos los parámetros en cada punto si lo amerita. Los aforos, las mediciones de velocidades y el cálculo del índice internacional de rugosidad se realizaron en los accesos de las edificaciones esenciales aforos de 16 horas

y en el punto de la Universidad Juan Misael Saracho de 24 horas para determinar el transito diario.

3.3.- Índice medio de drenajes

Se hizo levantamientos de datos de elevaciones en campo utilizando la aplicación UTM GEO MAP en tramos de 100 metros tomando 11 puntos de muestreo para cada punto en análisis.

Tabla 9. Indice medio de drenajes Av. Victor Paz

	PUNTO: AV. VICTOR PAZ (CAMPESINO)						
Nro.	ELEVACION	LATITUD	LONGITUD	DISTANCIA	INDICE DE DRENAJE (%)		
1	1945.8	21.5241288	64.7400223	0	0.01		
2	1945.7	21.5240475	64.7400501	10	0.03		
3	1945.4	21.5239194	64.7400545	20	0.01		
4	1945.3	21.5238137	64.7400786	30	0.79		
5	1937.4	21.5237026	64.7401101	40	-0.03		
6	1937.7	21.5235189	64.7499565	50	0.01		
7	1937.6	21.5234888	64.7402079	60	0.02		
8	1937.4	21.5234281	64.7402726	70	0.10		
9	1936.4	21.5233555	64.7403074	80	-0.02		
10	1936.6	21.5232501	64.7403146	90	0.02		
11	1936.4	21.5231454	64.7403255	IMD	9.40		

Fuente: Elaboración Propia

Tabla 10. Indice medio de drenajes Calle Cochabamba

	PUNTO: CALLE COCHABAMBA (CAMPESINO)							
Nro.	ELEVACION	LATITUD	LONGITUD	DISTANCIA	INDICE DE DRENAJE (%)			
1	1947.7	21.5234099	64.7392814	0	-0.01			
2	1947.8	21.5233783	64.7392876	10	0.00			
3	1947.8	21.5233736	64.7393254	20	0.00			
4	1947.8	21.5234051	64.7394901	30	0.00			
5	1947.8	21.5233786	64.7396207	40	0.00			
6	1947.8	21.5233503	64.7397117	50	0.02			
7	1947.6	21.5232916	64.7398655	60	0.00			
8	1947.6	21.52330094	64.7399493	70	0.09			
9	1946.7	21.5232731	64.7300376	80	0.13			
10	1945.4	21.5231784	64.7400137	90	0.02			
11	1945.2	21.5230683	64.7400241	IMD	2.50			

Tabla 11. Indice medio de drenajes Av. H. de la Independencia

	PUNTO: AV. HEROES DE LA INDEPENDENCIA (PROSALUD)						
Nro.	ELEVACION	LATITUD	LONGITUD	DISTANCIA	INDICE DE DRENAJE (%)		
1	1950.5	21.5383453	64.7445996	0	0.00		
2	1950.5	21.5384696	64.7447821	10	0.01		
3	1950.4	21.5384806	64.7448682	20	0.03		
4	1950.1	21.5384997	64.7450085	30	0.09		
5	1949.2	21.5385113	64.7451134	40	0.11		
6	1948.1	21.5385008	64.7452252	50	0.49		
7	1943.2	21.5384626	64.7453437	60	0.00		
8	1943.2	21.5384086	64.7454785	70	0.01		
9	1943.1	21.5383143	64.7456161	80	0.00		
10	1943.1	21.5382097	64.7456874	90	0.54		
11	1937.7	21.5381022	64.7456956	IMD	12.80		

Tabla 12. Indice medio de drenajes Av. Noelia Martínez

	PUNTO: AV. NOELIA MARTINEZ (PROSALUD)						
Nro.	ELEVACION	LATITUD	LONGITUD	DISTANCIA	INDICE DE DRENAJE (%)		
1	1948.9	21.5396198	64.7454412	0	0.00		
2	1948.9	21.5395713	64.7454312	10	0.08		
3	1948.1	21.5394666	64.7454246	20	0.00		
4	1948.1	21.5393829	64.7453792	30	0.01		
5	1948	21.5392758	64.7453573	40	0.00		
6	1948	21.5341875	64.7453357	50	0.02		
7	1947.8	21.5390409	64.7453013	60	0.01		
8	1947.7	21.5389449	64.7452953	70	0.42		
9	1943.5	21.5388678	64.7452941	80	0.04		
10	1943.1	21.5387712	64.7453219	90	0.03		
11	1942.8	21.5386415	64.7454328	IMD	6.10		

Tabla 13. Indice medio de drenajes Ruta San Jacinto

Tabla 13. Indice medio de drenajes kata san Jacinto							
PUNTO: RUTA SAN JACINTO (SETAR TABLADA)							
Nro.	ELEVACION	LATITUD	LONGITUD	DISTANCIA	INDICE DE DRENAJE (%)		
1	1945.5	21.5528068	64.7362707	0	0.01		
2	1945.4	21.5528361	64.7361743	10	0.01		
3	1945.3	21.5528842	64.7361209	20	0.00		
4	1945.3	21.5529062	64.7360482	30	0.00		
5	1945.3	21.5530198	64.7359848	40	0.00		
6	1945.3	21.5530942	64.7359181	50	0.00		
7	1945.3	21.5531406	64.7358739	60	0.00		
8	1945.3	21.5532061	64.7358262	70	0.01		
9	1945.2	21.5532829	64.7357592	80	0.00		
10	1945.2	21.5533516	64.7357211	90	0.01		

	11	1945.1	21.5534627	64.7356232	IMD	0.40
--	----	--------	------------	------------	-----	------

Tabla 14. Indice medio de drenajes Calle 2

PUNTO: CALLE 2 (SETAR TABLADA)						
Nro.	ELEVACION	LATITUD	LONGITUD	DISTANCIA	INDICE DE DRENAJE (%)	
1	1945.3	21.5529719	64.7348342	0	0.00	
2	1945.3	21.5530095	64.7349281	10	0.01	
3	1945.2	21.5530225	64.7350162	20	0.00	
4	1945.2	21.5530438	64.7350896	30	0.00	
5	1945.2	21.5530861	64.7351602	40	-0.01	
6	1945.3	21.5530834	64.7352102	50	0.00	
7	1945.3	21.5331484	64.7353291	60	0.01	
8	1945.2	21.5531866	64.7354165	70	0.00	
9	1945.2	21.5532359	64.7353017	80	-0.01	
10	1945.3	21.5533721	64.7355768	90	0.02	
11	1945.1	21.5534832	64.7355869	IMD	0.20	

Fuente: Elaboración Propia

Tabla 15. Indice medio de drenajes Av. Alto de la Alianza

	PUNTO: AV. ALTO DE LA ALIANZA (GADA 94)						
Nro.	ELEVACION	LATITUD	LONGITUD	DISTANCIA	INDICE DE DRENAJE (%)		
1	1891.4	21.5528724	64.7113754	0	0.00		
2	1891.4	21.5527656	64.7115642	10	0.02		
3	1891.2	21.5526803	64.7111991	20	0.00		
4	1891.2	21.5526267	64.7112845	30	-0.01		
5	1891.3	21.5525674	64.7113316	40	0.01		
6	1891.2	21.5525072	64.7113749	50	0.00		
7	1891.2	21.5524402	64.7114676	60	0.01		
8	1891.1	21.5523628	64.7114976	70	-0.01		
9	1891.2	21.5522893	64.7116068	80	0.00		
10	1891.2	215522495	64.7116669	90	0.01		
11	1891.1	215522575	64.7116797	IMD	0.30		

Tabla 16. Indice medio de drenaies Calle Membrillos

Tabla 16. Indice medio de arenajes Calle Membrillos										
PUNTO: CALLE MEMBRILLOS (H. OBRERO)										
Nro.	ELEVACION	LATITUD	LONGITUD	DISTANCIA	INDICE DE DRENAJE (%)					
1	1899.7	21.5341896	64.7199645	0	0.02					
2	1899.5	21.5342936	64.7199653	10	0.01					
3	1899.4	21.5344147	64.7199452	20	0.12					
4	1898.2	21.5344769	64.7199362	30	0.06					
5	1897.6	21.5345685	64.7198688	40	0.01					
6	1897.5	21.5346436	64.7198688	50	-0.03					
7	1897.8	21.5347157	64.7198497	60	-0.04					
8	1898.2	21.5347964	64.7197971	70	0.08					

9	1897.4	21.5348951	64.7197552	80	-0.01
10	1897.5	21.5349571	64.7197052	90	-0.01
11	1897.6	21.5350648	64.7197684	IMD	2.10

Tabla 17. Indice medio de drenajes Av. Potosí

	PUNTO: AV. POTOSI (H. OBRERO)									
Nro.	ELEVACION	LATITUD	LONGITUD	DISTANCIA	INDICE DE DRENAJE (%)					
1	1904.9	21.5351015	64.7210587	0	0.26					
2	1902.3	21.5351974	64.7209629	10	0.18					
3	1900.5	21.5352116	64.7209021	20	0.26					
4	1897.9	21.5353741	64.7207071	30	0.04					
5	1897.5	21.5352852	64.7205986	40	0.04					
6	1897.1	21.5353177	64.7205357	50	0.02					
7	1896.9	21.5353571	64.7204732	60	0.30					
8	1893.9	21.5353767	64.7204158	70	0.41					
9	1889.8	21.5354396	64.7203442	80	0.29					
10	1886.9	21.5354762	64.7202755	90	0.04					
11	1886.5	21.5354956	64.7203866	IMD	18.40					

Fuente: Elaboración Propia

Tabla 18. Indice medio de drenajes Calle Gral. De Santa Cruz

	PUNTO: CALLE GRAL. DE SANTA CRUZ (H. SAN JUAN DE DIOS)									
Nro.	ELEVACION	LATITUD	LONGITUD	DISTANCIA	INDICE DE DRENAJE (%)					
1	1905.2	21.5294211	64.7267534	0	0.02					
2	1905	21.5295365	64.7266987	10	0.08					
3	1904.2	21.5295113	64.7266864	20	0.04					
4	1903.8	21.5294472	64.7266291	30	0.02					
5	1903.6	21.5293353	64.7265529	40	0.01					
6	1903.5	21.5292329	64.7265853	50	0.01					
7	1903.4	21.5291145	64.7265182	60	0.00					
8	1903.4	21.5290122	64.7264783	70	0.00					
9	1903.4	21.5289404	64.7264164	80	0.01					
10	1903.3	21.5288406	64.7263741	90	0.01					
11	1903.2	21.5287564	64.7262546	IMD	2.00					

Tabla 19. Indice medio de drenajes Calle 14 de junio

Tabla 1	Tabla 19. Indice medio de arenajes Calle 14 de junio										
PUNTO: CALLE 14 DE JUNIO (H. SAN JUAN DE DIOS)											
Nro.	ELEVACION	LATITUD	LONGITUD	DISTANCIA	INDICE DE DRENAJE (%)						
1	1910	21.5278411	64.7272952	0	0.02						
2	1909.8	21.5278638	64.7272285	10	0.15						
3	1908.3	21.5278898	64.7271684	20	0.06						
4	1907.7	21.5278844	64.7270875	30	0.12						
5	1906.5	21.5279967	64.7270077	40	0.02						
6	1906.3	21.5279379	64.7269485	50	0.03						

7	1906	21.5279691	64.7268639	60	0.02
8	1905.8	21.5279964	64.7267809	70	0.03
9	1905.5	21.5280313	64.7266777	80	0.01
10	1905.4	21.5280411	64.7265721	90	0.02
11	1905.2	21.5280653	64.7264257	IMD	4.80

Tabla 20. Indice medio de drenajes Av. De la Integración

	PUNTO: AV. DE LA INTEGRACIÓN (TRANSITO)									
Nro.	ELEVACION	LATITUD	LONGITUD	DISTANCIA	INDICE DE DRENAJE (%)					
1	1911.5	21.5301385	64.7415245	0	0.08					
2	1910.7	21.5303034	64.7414836	10	0.00					
3	1910.7	21.5303098	64.7414629	20	0.01					
4	1910.6	21.5304801	64.7414335	30	0.01					
5	1910.5	21.5305652	64.7414057	40	0.01					
6	1910.4	21.5360379	64.7413776	50	0.01					
7	1910.3	21.5307175	64.7413642	60	-0.01					
8	1910.4	21.5307808	64.7412901	70	-0.02					
9	1910.6	21.5308604	64.7412608	80	-0.01					
10	1910.7	21.5307752	64.7412426	90	-0.05					
11	1911.2	21.5375644	64.7412254	IMD	0.30					

Fuente: Elaboración Propia

Tabla 21. Indice medio de drenajes Av. Victor Paz (Comando)

	PUNTO: AV. VICTOR PAZ (COMANDO)									
Nro.	ELEVACION	LATITUD	LONGITUD	DISTANCIA	INDICE DE DRENAJE (%)					
1	1904.8	21.5351283	64.7379538	0	0.01					
2	1904.7	21.5351905	64.7379037	10	-0.05					
3	1905.2	21.5352828	64.7378783	20	0.00					
4	1905.2	21.5353678	64.7378055	30	0.00					
5	1905.2	21.5354424	64.7377577	40	0.07					
6	1904.5	21.5354932	64.7377031	50	0.00					
7	1904.5	21.5355662	64.7376639	60	-0.07					
8	1905.2	21.5356574	64.7375557	70	0.00					
9	1905.2	21.5357952	64.7374969	80	0.03					
10	1904.9	21.5357414	64.7374443	90	0.04					
11	1904.5	21.5358154	64.7342645	IMD	0.30					

Tabla 22. Indice medio de drenajes Calle Ballivián

	PUNTO: CALLE BALLIVIAN (COMANDO)									
Nro.	ELEVACION	LATITUD	LONGITUD	DISTANCIA	INDICE DE DRENAJE (%)					
1	1905	21.5342375	64.7376327	0	0.01					
2	1904.9	21.5343661	64.7376772	10	0.00					
3	1904.9	21.5344286	64.7376905	20	0.01					
4	1904.8	21.5344931	64.7377292	30	0.01					

5	1904.7	21.5345478	64.7377764	40	0.00
6	1904.7	21.5346103	64.7378118	50	0.01
7	1904.6	21.5346846	64.7378316	60	0.01
8	1904.5	21.5347661	64.7378593	70	0.00
9	1904.5	21.5348636	64.7379016	80	0.02
10	1904.3	21.5349353	64.7379363	90	0.00
11	1904.3	21.5350645	64.7396344	IMD	0.70

Tabla 23. Indice medio de drenajes Av. Victor Paz (UAJMS)

	PUNTO: AV. VICTOR PAZ (UAJMS)										
Nro.	ELEVACION	LATITUD	LONGITUD	DISTANCIA	INDICE DE DRENAJE (%)						
1	1897	21.5420756	64.7215569	0	0.00						
2	1897	21.5420883	64.7214815	10	0.00						
3	1897	21.5420969	64.7213724	20	-0.01						
4	1897.1	21.5421108	64.7212846	30	0.01						
5	1897	21.5421365	64.7212026	40	-0.01						
6	1897.1	21.5421433	64.7291551	50	0.06						
7	1896.5	21.5421642	64.7210617	60	0.14						
8	1895.1	21.5421884	64.7209727	70	0.01						
9	1895	21.5422299	64.7208643	80	0.07						
10	1894.3	21.5422347	64.7207736	90	0.01						
11	1894.2	21.5423562	64.7206542	IMD	2.80						

Fuente: Elaboración Propia

Tabla 24. Indice medio de drenajes Av. Victor Paz (Setar)

	PUNTO: AV. VICTOR PAZ (SETAR)									
Nro.	ELEVACION	LATITUD	LONGITUD	DISTANCIA	INDICE DE DRENAJE (%)					
1	1911.6	21.5457425	264.742747	0	0.00					
2	1911.6	21.5457251	464.702814	10	0.00					
3	1911.6	21.5456868	64.7029069	20	0.00					
4	1911.6	21.5456593	64.7029954	30	0.02					
5	1911.4	21.5456865	64.7030983	40	-0.02					
6	1911.6	21.5456754	64.7003171	50	0.01					
7	1911.5	21.5456397	64.7032381	60	0.09					
8	1910.6	21.5456367	64.7033221	70	-0.08					
9	1911.4	21.5456197	64.7034079	80	0.10					
10	1910.4	21.5455831	64.7035276	90	0.01					
11	1910.3	21.5454942	64.7036387	IMD	1.30					

Tabla 25. Indice medio de drenajes Av. Victor Paz (Morros Blancos)

	PUNTO: AV. VICTOR PAZ (MORROS BLANCOS)								
Nro.	ELEVACION	LATITUD	LONGITUD	DISTANCIA	INDICE DE DRENAJE (%)				
1	1914.2	21.5473439	64.6992212	0	0.02				
2	1914	21.5474014	64.6992162	10	0.09				
3	1913.1	21.5474477	64.6991184	20	0.02				
4	1912.9	21.5475011	64.6990382	30	0.03				
5	1912.6	21.5475725	64.6989288	40	0.57				
6	1906.9	21.5475252	64.6988579	50	0.36				
7	1903.3	21.5476571	64.6987934	60	0.12				
8	1902.1	21.5477188	64.6987399	70	0.06				
9	1901.5	21.5477676	64.6986789	80	0.09				
10	1900.6	21.5478372	64.6986014	90	0.03				
11	1900.3	21.5479483	64.6985125	IMD	13.90				

Tabla 26. Indice medio de drenajes Av. Victor Paz (Bomberos)

PUNTO AN MUSTOR DAT (DOMESTICS)										
	PUNTO: AV. VICTOR PAZ (BOMBEROS)									
Nro.	ELEVACION	LATITUD	LONGITUD	DISTANCIA	INDICE DE DRENAJE (%)					
1	1915.5	21.5461704	64.7014818	0	0.02					
2	1915.3	21.5462114	64.7013985	10	0.05					
3	1914.8	21.5462544	64.7013985	20	0.02					
4	1914.6	21.5462951	64.7012781	30	0.02					
5	1914.4	21.5462934	64.7011698	40	0.07					
6	1913.7	21.5463413	64.7011085	50	-0.03					
7	1914	21.5463475	64.7010365	60	0.02					
8	1913.8	21.5463741	64.7008534	70	0.00					
9	1913.8	21.54643079	64.7007271	80	0.17					
10	1912.1	21.5465173	64.7006916	90	0.05					
11	1911.6	21.5466284	64.7006813	IMD	3.90					

Tabla 27. Indice medio de drenajes Av. Cnl. Carlos Díaz

rubia 27. maice medio de drenajes Av. em. ednos biaz										
	PUNTO: AV. CNL. CARLOS DIAZ (BOMBEROS)									
Nro.	ELEVACION	LATITUD	LONGITUD	DISTANCIA	INDICE DE DRENAJE (%)					
1	1918.3	21.5466119	64.7005356	0	0.03					
2	1918	21.5466763	64.7005516	10	0.01					
3	1917.9	21.5467818	64.7006129	20	0.00					
4	1917.9	21.5468379	64.7006704	30	0.01					
5	1917.8	21.5469108	64.7007116	40	0.00					
6	1917.8	21.5469108	64.7007669	50	0.02					
7	1917.6	21.5469845	64.7008234	60	0.00					
8	1917.6	21.5474148	64.7008564	70	0.22					
9	1915.4	21.5471844	64.7008862	80	0.15					

10	1913.9	21.5472037	64.7009377	90	0.01
11	1913.8	21.5473148	64.7009485	IMD	4.50

Tabla 28. Indice medio de drenajes Av. Nueva Terminal

	PUNTO: AV NUEVA TERMINAL (TERMINAL)									
Nro.	ELEVACION	LATITUD	LONGITUD	DISTANCIA	INDICE DE DRENAJE (%)					
1	1888.2	21.5599314	64.6753872	0	0.03					
2	1887.9	21.5598853	64.6758753	10	-0.03					
3	1888.2	21.5598173	64.6759933	20	-0.15					
4	1889.7	21.5597636	64.6759811	30	-0.02					
5	1889.9	21.5597336	64.6760037	40	-0.01					
6	1890	21.5596832	64.6761079	50	-0.03					
7	1890.3	21.5596284	64.6761806	60	-0.01					
8	1890.4	21.5595395	64.6762516	70	0.75					
9	1882.9	21.5595106	64.6763528	80	0.15					
10	1881.4	21.5595014	64.6769395	90	0.03					
11	1881.1	21.5594034	64.6770486	IMD	7.10					

Fuente: Elaboración Propia

Tabla 29. Indice medio de drenajes Calle 2 (Terminal)

	PUNTO: CALLE 2 (TERMINAL)									
Nro.	ELEVACION	LATITUD	LONGITUD	DISTANCIA	INDICE DE DRENAJE (%)					
1	1889.2	21.5615379	64.6740887	0	0.30					
2	1886.2	21.5616001	64.6741659	10	-0.02					
3	1886.4	21.5616516	64.6741942	20	0.06					
4	1885.8	21.5617269	64.6742416	30	0.09					
5	1884.9	21.5617946	64.6742869	40	0.06					
6	1884.3	21.5618628	64.6743404	50	0.03					
7	1884	21.5619266	64.6739465	60	0.04					
8	1883.6	21.5619852	64.6744466	70	0.03					
9	1883.3	21.5620579	64.6744743	80	0.03					
10	1883	21.5621387	64.6745493	90	0.02					
11	1882.8	21.5622498	64.6746514	IMD	6.40					

Tabla 30. Indice medio de drenajes Calle España

Tabla 30. Maice medio de arenajes came España										
	PUNTO: CALLE ESPAÑA (UAJMS)									
Nro.	ELEVACION	LATITUD	LONGITUD	DISTANCIA	INDICE DE DRENAJE (%)					
1	1896.8	21.5421615	64.7222561	0	0.01					
2	1896.7	21.5420667	64.7222482	10	0.00					
3	1896.7	21.5422452	64.7223191	20	0.01					
4	1896.6	21.5423934	64.7223652	30	0.01					
5	1896.5	21.5424608	64.7224322	40	0.00					
6	1896.5	21.5425149	64.7225013	50	0.01					
7	1896.4	21.5426102	64.7225456	60	0.00					

8	1896.4	21.5426735	64.7225727	70	0.01
9	1896.3	21.5427573	64.7225806	80	0.02
10	1896.1	21.5428596	64.7226133	90	0.03
11	1895.8	21.5496465	64.7226437	IMD	1.00

Tabla 31. Indice medio de drenajes Av. Victor Paz (Aeropuerto)

PUNTO: AV. VICTOR PAZ (AEROPUERTO)									
Nro.	ELEVACION	LATITUD	LONGITUD	DISTANCIA	INDICE DE DRENAJE (%)				
1	1905.2	21.5442404		0	0.04				
2	1904.8	21.5441163		10	0.02				
3	1904.6	21.5442899		20	-0.01				
4	1904.7	21.5443192		30	0.11				
5	1903.6	21.5443826		40	-0.01				
6	1903.7	21.5444579		50	-0.02				
7	1903.9	21.5445795		60	0.08				
8	1903.1	21.5445803		70	0.01				
9	1903	21.5446125		80	0.01				
10	1902.9	21.5446214		90	0.02				
11	1902.7	21.5446978		IMD	2.50				

Fuente: Elaboración Propia

Tabla 32. Indice medio de drenajes Av. Fuerza Aérea

Tabla 32. Indice medio de drenajes Av. Fuerza Aerea									
PUNTO: AV FUERZA AÉREA (AEROPUERTO)									
Nro.	ELEVACION	LATITUD	LONGITUD	DISTANCIA	INDICE DE DRENAJE (%)				
1	1905.1	21.5445937	64.7042521	0	0.01				
2	1905	21.5446199	64.7092715	10	0.10				
3	1904	21.5486826	64.7092856	20	0.00				
4	1904	21.5444567	64.7093311	30	0.02				
5	1903.8	21.5448387	64.7094154	40	0.00				
6	1903.8	21.5449276	64.7094648	50	0.00				
7	1903.8	21.5449769	64.7095036	60	0.04				
8	1903.4	21.5450321	64.7095449	70	0.08				
9	1902.6	21.5451547	64.7095663	80	0.00				
10	1902.6	21.5452119	64.7095994	90	0.01				
11	1902.5	21.5453164	64.7096454	IMD	2.60				

Tabla 33. Indice medio de drenajes Calle 29 de junio

_	rubiu 55. Indice medio de drenajes cune 25 de junio									
	PUNTO: CALLE 29 DE JUNIO (MOTO MENDEZ)									
	INDICE DE DRENAJE (%)									
	1	1904.6	21.5361352	64.7122279	0	0.05				
	2	1904.1	21.5360931	64.7121697	10	0.00				
	3	1904.1	21.5360248	64.7120886	20	0.03				
	4 1903.8 21.535970			64.7120364	30	0.01				
	5	1903.7	21.5359395	64.7119586	40	0.02				

6	1903.5	21.5358858	64.7118816	50	0.03
7	1903.2	21.5353303	64.7118256	60	0.02
8	1903	21.5357924	64.7118085	70	0.01
9	1902.9	21.5357354	64.7117263	80	0.04
10	1902.5	21.5356496	64.7116074	90	0.01
11	1902.4	21.5362464	64.7115852	IMD	2.20

Tabla 34. Indice medio de drenajes Av. Cap. Castellanos

	PUNTO: AV CAP. CASTELLANOS (MOTO MENDEZ)									
Nro.	ELEVACION	LATITUD	LONGITUD	DISTANCIA	INDICE DE DRENAJE (%)					
1	1904.9	21.5353357	64.7117825	0	0.02					
2	1904.7	21.5352357	64.7117399	10	0.02					
3	1904.5	21.5351745	64.7116721	20	0.00					
4	1904.5	21.5351043	64.7216268	30	0.02					
5	1904.3	21.5350594	64.7115683	40	0.05					
6	1903.8	21.5349776	64.7116211	50	0.00					
7	1903.8	21.5349338	64.7114494	60	0.03					
8	1903.5	21.5348953	64.7113761	70	0.03					
9	1903.2	21.5348276	64.7113138	80	-0.02					
10	1903.4	21.5347632	64.7112239	90	0.03					
11	1903.1	21.5346574	64.7111654	IMD	1.80					

Fuente: Elaboración Propia

3.4.- Afectación en el tráfico por falla (TPD)

Se realizó el aforo en cada punto en estudio los días lunes, miércoles y viernes de las 06:00 am hasta las 22:00 pm, en la Av. Víctor Paz en la Universidad Autónoma Juan Misael Saracho se realizó un aforo de 24 horas, hasta que se terminó el aforo de los 15 puntos.

Tabla 35. Intersección U. Autónoma Juan Misael Saracho

EDIFICACIÓN ESENCIAL	INTERSECCIÓN	BRAZO	GRUPO DE CARRIL	MOVIMIENTO	VOLUMEN VEHICULAR (veh/hr)
Universidad	Av. Victor Paz -		A 1 A	Directo	13703
Autonóma Juan	España	Av. Victor Paz	1	Giro a la izquierda	1888
Misael Saracho	Espana			Giro a la derecha	1373
Universidad Autonóma Juan	Av. Victor Paz -	Calle España		Directo	9605
Misael Saracho	España			Giro a la derecha	1509

Fuente: Elaboración Propia

Tabla 36. Intersección Nueva Terminal

EDIFICACIÓN ESENCIAL	INTERSECCIÓN	BRAZO	GRUPO DE CARRIL	MOVIMIENTO	VOLUMEN VEHICULAR (veh/hr)
	Av. Av. Nueva	Av. Nueva		Directo	3904
Nueva Terminal	Terminal -	Terminal		Giro a la izquierda	815
	Torrecillas	Terminar		Giro a la derecha	771
	Av. Av. Nueva			Directo	1733
Nueva Terminal	Terminal -	Calle Torrrecilas		Giro a la izquierda	482
	Torrecillas			Giro a la derecha	721

Tabla 37. Intersección Transito

EDIFICACIÓN ESENCIAL	INTERSECCIÓN	BRAZO	GRUPO DE CARRIL	MOVIMIENTO	VOLUMEN VEHICULAR (veh/hr)
Transito	Av. De la Integración	Av. De la Integración	1	Directo	8798

Tabla 38. Hospital Obrero

EDIFICACIÓN ESENCIAL	INTERSECCIÓN	BRAZO	GRUPO DE CARRIL	MOVIMIENTO	VOLUMEN VEHICULAR (veh/hr)
	Av. Potosí -		A 1 A	Directo	4037
Hospital Obrero	Membrillos	Av. Potosí		Giro a la izquierda	513
				Giro a la derecha	636
	Arr Datasí			Directo	2615
Hospital Obrero	Av. Potosí -	Calle Membrillos		Giro a la izquierda	305
	Membrillos			Giro a la derecha	495

Fuente: Elaboración Propia

Tabla 39. Intersección Aeropuerto Oriel Lea Plaza

EDIFICACIÓN ESENCIAL	INTERSECCIÓN	BRAZO	GRUPO DE CARRIL	MOVIMIENTO	VOLUMEN VEHICULAR (veh/hr)
Aeropuerto Oriel Lea Plaza	Av. Victor Paz - Fuerza Aérea	Av. Victor Paz		Directo Giro a la izquierda	11584 369
Aeropuerto Oriel Lea Plaza	Av. Victor Paz - Fuerza Aérea	Av. Fuerza Aérea		Directo	4499

EDIFICACIÓN ESENCIAL	INTERSECCIÓN	BRAZO	GRUPO DE CARRIL	MOVIMIENTO	VOLUMEN VEHICULAR (veh/hr)
Setar	Av. Victor Paz	Av. Victor Paz		Directo	12191

Tabla 41. Intersección Epi Morros Blancos

EDIFICACIÓN ESENCIAL	INTERSECCIÓN	BRAZO	GRUPO DE CARRIL	MOVIMIENTO	VOLUMEN VEHICULAR (veh/hr)
Epi Morros Blancos	Av. Victor Paz	Av. Victor Paz	1	Directo	12143

Fuente: Elaboración Propia

Tabla 42. Intersección Base Aérea Gada 94

EDIFICACIÓN ESENCIAL	INTERSECCIÓN	BRAZO	GRUPO DE CARRIL	MOVIMIENTO	VOLUMEN VEHICULAR (veh/hr)
Base Aérea Gada 94	Av. Alto de la Alianza	Av. Alto de la Alianza	1	Directo	6116

Fuente: Elaboración Propia

Tabla 43. Intersección Setar Tablada

EDIFICACIÓN ESENCIAL	INTERSECCIÓN	BRAZO	GRUPO DE CARRIL	MOVIMIENTO	VOLUMEN VEHICULAR (veh/hr)
Ruta San Jac	Ruta San Jacinto-	Ruta San Jacinto	1	Directo	3625
Setar Tablada	Calle 2			Giro a la derecha	664
	Ruta San Jacinto-	Calle 2	A I A	Directo	3952
Setar Tablada	Calle 2			Giro a la izquierda	499
				Giro a la derecha	629

Fuente: Elaboración Propia

Tabla 44. Intersección Estación de Bomberos

	Tubia 44. Intersection Estacion de Bomberos							
	IFICACIÓN SENCIAL	INTERSECCIÓN	BRAZO	GRUPO DE CARRIL	MOVIMIENTO	VOLUMEN VEHICULAR (veh/hr)		
	stación de Bomberos	Av. Victor Paz - Av. Cnl. Carlos Diaz	Av. Victor Paz	1	Directo	12927		
E	stación de	Av. Victor Paz -	Av. Cnl. Carlos		Directo	2054		
	Bomberos	Av. Cnl. Carlos Diaz	Diaz		Giro a la derecha	536		

EDIFICACIÓN ESENCIAL	INTERSECCIÓN	BRAZO	GRUPO DE CARRIL	MOVIMIENTO	VOLUMEN VEHICULAR (veh/hr)
Comando de la Policia	Av. Panamericana - Ballivian	Av. Panamericana		Directo	9011
Comando de la	Av. Panamericana		A A	Giro a la derecha	5070
Policia	- Ballivian	Calle Ballivián		Giro a la izquierda	1200

Tabla 46. Intersección Epi Moto Méndez

EDIFICACIÓN ESENCIAL	INTERSECCIÓN	BRAZO	GRUPO DE CARRIL	MOVIMIENTO	VOLUMEN VEHICULAR (veh/hr)
Epi Moto Mendez	Av. Cap. Castellanos - 29 de junio	Av. Av. Cap. Castellanos	1	Directo	1961
Epi Moto Mendez	Av. Cap. Castellanos - 29 de junio	Calle 29 de junio	1	Directo	1968

Fuente: Elaboración Propia

Tabla 47. Hospital S. Juan de Dios

EDIFICACIÓN ESENCIAL	INTERSECCIÓN	BRAZO	GRUPO DE CARRIL	MOVIMIENTO	VOLUMEN VEHICULAR (veh/hr)
Hospital San Juan	oital San Juan Calle Gral. Andres de Santa		1 1	Directo	5781
de Dios	Cruz - 14 de junio	Andres de Santa Cruz		Giro a la zquierda	573
	Calle Gral.			Directo	4524
Hospital San Juan	Andres de Santa	Calle 14 de junio	T I T	Giro a la izquierda	1650
de Dios	Cruz - 14 de junio	3	J	Giro a la derecha	1704

Fuente: Elaboración Propia

Tabla 48. Intersección Prosalud (Senac)

EDIFICACIÓN ESENCIAL	INTERSECCIÓN	BRAZO	GRUPO DE CARRIL	MOVIMIENTO	VOLUMEN VEHICULAR (veh/hr)
Prosalud (Senac)	Av. Heroes de la Independencia - Av. Noelia Martinez	Av. Heroes de la Independencia	1	Directo	6698
	Av. Heroes de la			Giro a la derecha	3666
Prosalud (Senac)	Independencia - Av. Noelia Martinez	Av. Noelia Martinez	JL	Giro a la izquierda	2150

F	OTNU	AV. D	E LA IN	TEGRAC	IÓN (TRAI	NSITO)		
Suma por Hora	Auto	Trufi	Micro	Camión	Volqueta	Flota	Moto	Hora Pico
06:00 - 07:00	320	1	0	0	0	0	34	355
07:00 - 08:00	570	0	6	1	1	0	105	683
08:00 - 09:00	456	3	3	0	0	0	87	549
09:00 - 10:00	378	1	0	1	3	0	56	439
10:00 - 11:00	489	2	0	2	0	0	97	590
11:00 - 12:00	523	6	10	5	0	0	123	667
12:00 - 13:00	556	0	0	2	1	0	143	702
13:00 - 14:00	428	0	2	0	0	0	95	525
14:00 - 15:00	534	1	8	0	1	0	88	632
15:00 - 16:00	478	3	0	1	0	0	59	541
16:00 - 17:00	389	2	3	2	0	0	77	473
17:00 - 18:00	356	0	9	0	2	0	125	492
18:00 - 19:00	789	4	2	6	0	0	162	963
19:00 - 20:00	434	1	3	1	4	0	78	521
20:00 - 21:00	324	0	0	1	0	0	59	384
21:00 - 22:00	245	0	0	0	0	0	37	282
Volumen Vehicular por Tipo	7269	24	46	22	12	0	1425	1.072
Volumen Total		8798						9430
Porcentaje	82.6%	0.3%	0.5%	0.3%	0.1%	0.0%	16.2%	TPD

Tabla 50. Aforo Vehicular Av. Potosí

	PUNTO : HOSPITAL OBRERO (AV. POTOSI)											
Suma por Hora	Auto	Trufi	Micro	Camión	Volqueta	Flota	Moto	Hora Pico				
06:00 - 07:00	125	0	5	0	0	0	12	142				
07:00 - 08:00	467	0	10	1	0	0	42	520				
08:00 - 09:00	335	0	14	3	0	0	55	407				
09:00 - 10:00	314	0	11	0	0	0	34	359				
10:00 - 11:00	278	0	10	6	0	0	23	317				
11:00 - 12:00	245	0	12	0	0	0	66	323				
12:00 - 13:00	312	0	9	0	0	0	70	391				
13:00 - 14:00	278	0	8	1	0	0	53	340				
14:00 - 15:00	302	0	9	0	0	0	26	337				
15:00 - 16:00	236	0	7	0	0	0	19	262				
16:00 - 17:00	178	0	10	2	0	0	18	208				

17:00 - 18:00	289	0	9	0	0	0	59	357
18:00 - 19:00	296	0	11	5	0	0	48	360
19:00 - 20:00	356	0	13	0	0	0	67	436
20:00 - 21:00	156	0	6	3	0	0	44	209
21:00 - 22:00	188	0	2	0	0	0	28	218
Volumen Vehicular por Tipo	4355	0	146	21	0	0	664	1.072
Volumen Total				5186				5559
Porcentaje	84.0%	0.0%	2.8%	0.4%	0.0%	0.0%	12.8%	TPD

Tabla 51. Aforo Vehicular Calle Membrillos

Tabla 51. Aforo	Vehicular C	Calle Mem	brillos					
PU	JNTO : H	OSPITA	L OBRE	RO (CALL	E MEMBR	ILLOS)		
Suma por Hora	Auto	Trufi	Micro	Camión	Volqueta	Flota	Moto	Hora Pico
06:00 - 07:00	102	0	0	0	0	0	13	115
07:00 - 08:00	234	1	0	0	0	0	11	246
08:00 - 09:00	167	0	0	0	0	0	27	194
09:00 - 10:00	185	0	0	0	0	0	15	200
10:00 - 11:00	164	0	0	0	0	0	9	173
11:00 - 12:00	198	4	0	0	0	0	19	221
12:00 - 13:00	210	0	0	0	0	0	42	252
13:00 - 14:00	177	0	0	0	0	0	33	210
14:00 - 15:00	156	1	0	0	0	0	29	186
15:00 - 16:00	195	0	0	0	0	0	16	211
16:00 - 17:00	135	1	0	0	0	0	22	158
17:00 - 18:00	188	0	0	0	0	0	15	203
18:00 - 19:00	489	0	0	0	0	0	37	526
19:00 - 20:00	226	2	0	0	0	0	25	253
20:00 - 21:00	134	0	0	0	0	0	28	162
21:00 - 22:00	89	0	0	0	0	0	16	105
Volumen Vehicular por Tipo	3049	9	0	0	0	0	357	1.072
Volumen Total				3415				3660
Porcentaje	89.3%	0.3%	0.0%	0.0%	0.0%	0.0%	10.5%	TPD

Tabla 52. Aforo Vehicular Av. Victor Paz (Setar)

	PUNTO : AV. VICTOR PAZ (SETAR)									
Suma por Hora	Auto	Trufi	Micr o	Camió n	Volquet a	Flota	Moto	Hora Pico		
06:00 - 07:00	178	45	22	12	3	6	17	283		
07:00 - 08:00	367	134	35	10	7	3	44	600		
08:00 - 09:00	389	166	38	23	4	5	58	683		
09:00 - 10:00	412	144	40	15	8	0	74	693		
10:00 - 11:00	512	167	37	33	10	2	87	848		
11:00 - 12:00	645	176	44	27	5	1	103	1001		
12:00 - 13:00	523	205	46	31	7	3	172	987		
13:00 - 14:00	367	155	39	13	2	0	112	688		
14:00 - 15:00	456	141	37	16	6	0	98	754		
15:00 - 16:00	455	211	35	22	5	3	94	825		
16:00 - 17:00	395	206	41	45	14	4	76	781		
17:00 - 18:00	377	188	40	61	8	10	88	772		
18:00 - 19:00	489	214	44	85	3	9	113	957		
19:00 - 20:00	553	189	36	96	6	7	167	1054		
20:00 - 21:00	498	103	23	76	2	8	134	844		
21:00 - 22:00	278	15	11	17	0	3	97	421		
Volumen Vehicular por Tipo	6894	2459	568	582	90	64	1534	1.072		
Volumen Total		12191						1306 7		
Porcentaje	56.5 %	20.2	4.7%	4.8%	0.7%	0.5 %	12.6 %	TPD		

Tabla 53. Aforo Vehicular Av. Victor Paz (Aeropuerto)

74514 33.7170					EROPUER	RTO)		
Suma por Hora	Auto	Trufi	Micr o	Camió n	Volquet a	Flota	Moto	Hora Pico
06:00 - 07:00	234	45	14	8	0	0	15	316
07:00 - 08:00	345	102	36	11	0	1	78	573
08:00 - 09:00	564	78	32	15	0	0	127	816
09:00 - 10:00	478	87	38	7	0	0	123	733
10:00 - 11:00	426	81	29	17	0	2	99	654
11:00 - 12:00	465	94	41	47	0	0	75	722
12:00 - 13:00	576	115	46	51	0	1	110	899
13:00 - 14:00	521	92	27	33	0	0	105	778
14:00 - 15:00	489	85	24	28	0	0	117	743
15:00 - 16:00	456	87	36	34	0	1	94	708

					•			
16:00 - 17:00	514	74	43	11	0	0	85	727
17:00 - 18:00	645	96	45	28	0	1	97	912
18:00 - 19:00	768	162	47	37	0	1	103	1118
19:00 - 20:00	734	133	48	42	0	0	123	1080
20:00 - 21:00	477	34	30	29	0	0	108	678
21:00 - 22:00	376	12	16	16	0	0	76	496
Volumen Vehicular por Tipo	8068	1377	552	414	0	7	1535	1.072
Volumen								1281
Total				11953				2
	67.5	11.5				0.1	12.8	
Porcentaje	%	%	4.6%	3.5%	0.0%	%	%	TPD

Tabla 54. Aforo Vehicular Av. Fuerza Aérea

Tubiu 54. Aju				ΔÉRFΔ	(AEROPU)	FRTO		
Suma por Hora	Auto	Trufi	Micro	Camión	Volqueta	Flota	Moto	Hora Pico
06:00 - 07:00	117	0	0	4	0	0	7	128
07:00 - 08:00	162	0	0	7	1	0	35	205
08:00 - 09:00	242	0	0	6	0	0	67	315
09:00 - 10:00	239	0	0	3	0	0	36	278
10:00 - 11:00	213	0	0	8	0	0	45	266
11:00 - 12:00	235	0	0	21	0	0	34	290
12:00 - 13:00	274	0	0	13	0	0	55	342
13:00 - 14:00	252	0	0	24	0	0	51	327
14:00 - 15:00	217	0	0	21	1	0	59	298
15:00 - 16:00	223	0	0	15	0	0	44	282
16:00 - 17:00	257	0	0	6	0	0	41	304
17:00 - 18:00	244	0	0	12	0	0	39	295
18:00 - 19:00	356	0	0	17	2	0	55	430
19:00 - 20:00	276	0	0	22	0	0	59	357
20:00 - 21:00	177	0	0	16	0	0	49	242
21:00 - 22:00	102	0	0	5	0	0	33	140
Volumen Vehicular por Tipo	3586	0	0	200	4	0	709	1.072
Volumen Total		4499						4822
Porcentaje	79.7%	0.0%	0.0%	4.4%	0.1%	0.0%	15.8%	TPD

Tabla 55. Aforo Vehicular Av. Nueva Terminal

	PUNTO	: AV. N	IUEVA 7	ΓERMINA	L (TERMI	NAL)		
Suma por Hora	Auto	Trufi	Micro	Camión	Volqueta	Flota	Moto	Hora Pico
06:00 - 07:00	117	29	24	5	0	6	15	196
07:00 - 08:00	156	44	36	2	0	8	13	259
08:00 - 09:00	219	51	43	7	0	6	11	337
09:00 - 10:00	254	55	46	3	0	3	28	389
10:00 - 11:00	210	51	41	1	0	6	16	325
11:00 - 12:00	178	67	47	6	0	4	56	358
12:00 - 13:00	134	73	45	7	0	5	43	307
13:00 - 14:00	116	35	41	2	0	1	58	253
14:00 - 15:00	98	38	38	5	0	2	44	225
15:00 - 16:00	145	44	43	0	0	3	35	270
16:00 - 17:00	123	42	48	6	0	8	59	286
17:00 - 18:00	367	64	51	8	0	11	44	545
18:00 - 19:00	519	78	49	10	0	8	62	726
19:00 - 20:00	376	51	42	6	0	9	53	537
20:00 - 21:00	236	15	28	4	0	7	37	327
21:00 - 22:00	106	8	9	1	0	4	22	150
Volumen Vehicular por Tipo	3354	745	631	73	0	91	596	1.072
Volumen Total		5490						5884
Porcentaje	61.1%	13.6%	11.5%	1.3%	0.0%	1.7%	10.9%	TPD

Tabla 56. Aforo Vehicular Calle Torrecillas

	PUNTO : CALLE TORRECILLAS (TERMINAL)												
Suma por Hora	Auto	Trufi	Micro	Camión	Volqueta	Flota	Moto	Hora Pico					
06:00 - 07:00	59	22	12	7	0	12	15	127					
07:00 - 08:00	78	31	15	4	0	17	13	158					
08:00 - 09:00	99	23	21	9	1	12	11	176					
09:00 - 10:00	86	25	22	5	0	5	28	171					
10:00 - 11:00	105	28	23	3	0	11	16	186					
11:00 - 12:00	58	17	17	8	0	7	56	163					
12:00 - 13:00	67	21	26	9	2	9	43	177					
13:00 - 14:00	58	15	21	4	0	1	58	157					
14:00 - 15:00	47	22	16	7	0	3	44	139					
15:00 - 16:00	65	27	21	2	1	6	35	157					
16:00 - 17:00	67	18	25	8	0	19	59	196					

17:00 - 18:00	75	15	23	10	0	22	44	189		
18:00 - 19:00	355	28	25	12	0	17	62	499		
19:00 - 20:00	78	20	21	8	3	29	53	212		
20:00 - 21:00	58	14	15	6	0	15	37	145		
21:00 - 22:00	38	5	8	3	0	8	22	84		
Volumen Vehicular por Tipo	1393	331	311	105	7	193	596	1.072		
Volumen Total		2936								
Porcentaje	47.4%	11.3%	10.6%	3.6%	0.2%	6.6%	20.3%	TPD		

Tabla 57. Aforo Vehicular Av. Victor Paz (Morros Blancos)

PUNTO: AV. VICTOR PAZ (MORROS BLANCOS)										
Suma por Hora	Auto	Trufi	Micro	Camión	Volqueta	Flota	Moto	Hora Pico		
06:00 - 07:00	298	42	11	55	2	6	27	441		
07:00 - 08:00	367	98	13	39	5	8	39	569		
08:00 - 09:00	456	112	18	47	3	12	47	695		
09:00 - 10:00	423	132	16	76	11	7	58	723		
10:00 - 11:00	587	127	19	114	7	5	67	926		
11:00 - 12:00	755	136	20	102	5	3	75	1096		
12:00 - 13:00	623	143	18	98	9	2	106	999		
13:00 - 14:00	437	132	10	76	0	7	85	747		
14:00 - 15:00	476	119	13	65	2	9	94	778		
15:00 - 16:00	348	127	11	43	8	3	25	565		
16:00 - 17:00	487	131	15	56	5	5	38	737		
17:00 - 18:00	512	138	17	47	4	8	32	758		
18:00 - 19:00	688	141	22	77	1	10	97	1036		
19:00 - 20:00	645	127	19	83	5	7	84	970		
20:00 - 21:00	432	87	16	53	7	5	68	668		
21:00 - 22:00	318	21	14	32	3	2	45	435		
Volumen Vehicular por Tipo	7852	1813	252	1063	77	99	987	1.072		
Volumen Total				12143				13015		
Porcentaje	64.7%	14.9%	2.1%	8.8%	0.6%	0.8%	8.1%	TPD		
		Fuer	ite: Elab	oración Pr	opia					

Tabla 58. Aforo Vehicular Av. Victor Paz (UAJMS)

PUNTO : AV. VICTOR PAZ (UAJMS)										
Suma por Hora	Auto	Trufi	Micro	Camión	Volqueta	Flota	Moto	Hora Pico		
00:00 - 01:00	102	0	0	4	0	0	6	112		
01:00 - 02:00	87	0	0	3	0	0	7	97		
02:00 - 03:00	56	0	0	2	0	0	3	61		
03:00 - 04:00	34	0	0	1	0	0	2	37		
04:00 - 05:00	64	0	0	2	0	0	11	77		
05:00 - 06:00	113	5	6	6	0	0	41	171		
06:00 - 07:00	245	34	33	14	0	0	69	395		
07:00 - 08:00	367	55	41	25	1	0	87	576		
08:00 - 09:00	656	76	64	37	0	0	102	935		
09:00 - 10:00	578	108	76	48	0	0	111	921		
10:00 - 11:00	689	122	73	44	2	0	137	1067		
11:00 - 12:00	577	131	75	39	0	0	176	998		
12:00 - 13:00	678	143	86	48	0	0	189	1144		
13:00 - 14:00	734	126	77	36	0	1	210	1184		
14:00 - 15:00	623	107	61	33	0	0	58	882		
15:00 - 16:00	622	118	67	21	0	0	119	947		
16:00 - 17:00	589	123	74	17	0	0	176	979		
17:00 - 18:00	611	135	76	41	0	0	144	1007		
18:00 - 19:00	745	141	77	22	1	0	173	1159		
19:00 - 20:00	984	180	73	46	0	0	158	1441		
20:00 - 21:00	827	131	79	54	0	2	197	1290		
21:00 - 22:00	685	32	71	29	0	0	85	902		
22:00 - 23:00	325	3	13	12	0	0	43	396		
23:00 - 24:00	145	0	0	6	0	0	35	186		
Volumen Vehicular por Tipo	11136	1770	1122	590	4	3	2339			
Volumen Total				16964				TPD		
Porcentaje	65.6%	10.4%	6.6%	3.5%	0.0%	0.0%	13.8%			

Tabla 59. Aforo Vehicular Calle España

_	Tabla 59. Ajoro Venicular Calle Espana												
	PUNTO : CALLE ESPAÑA (UAJMS)												
	Suma por Hora Auto Trufi Micro Camión Volqueta Flota Moto Hora Pico												
	06:00 - 07:00	324	3	13	3	0	0	102	445				
	07:00 - 08:00	356	2	16	2	0	0	156	532				
	08:00 - 09:00	567	5	18	6	0	0	175	771				

09:00 - 10:00	432	6	21	12	0	0	144	615
10:00 - 11:00	476	4	22	5	0	0	167	674
11:00 - 12:00	358	8	24	8	0	0	289	687
12:00 - 13:00	617	7	21	2	0	0	304	951
13:00 - 14:00	543	4	15	4	0	0	177	743
14:00 - 15:00	427	3	17	7	1	0	201	656
15:00 - 16:00	476	6	22	5	0	0	198	707
16:00 - 17:00	521	5	18	9	0	0	178	731
17:00 - 18:00	376	4	17	6	0	0	255	658
18:00 - 19:00	680	7	22	8	1	0	334	1052
19:00 - 20:00	543	4	19	7	0	0	275	848
20:00 - 21:00	387	2	17	4	0	0	197	607
21:00 - 22:00	321	1	15	2	0	0	98	437
Volumen Vehicular por Tipo	7404	71	297	90	2	0	3250	1.072
Volumen Total				11114				11912
Porcentaje	66.6%	0.6%	2.7%	0.8%	0.0%	0.0%	29.2%	TPD

Tabla 60. Aforo Vehicular Av. Alto de la Alianza

PUNTO : AV. ALTO DE LA ALIANZA (GADA 94)											
Suma por Hora	Auto	Trufi	Micro	Camión	Volqueta	Flota	Moto	Hora Pico			
06:00 - 07:00	112	11	14	1	2	0	45	185			
07:00 - 08:00	345	27	17	3	4	0	32	428			
08:00 - 09:00	267	25	20	5	6	0	55	378			
09:00 - 10:00	211	21	24	2	1	0	32	291			
10:00 - 11:00	289	24	22	6	0	0	64	405			
11:00 - 12:00	377	27	28	5	1	0	76	514			
12:00 - 13:00	256	31	26	7	0	0	55	375			
13:00 - 14:00	179	16	12	0	0	0	38	245			
14:00 - 15:00	245	14	17	6	3	0	49	334			
15:00 - 16:00	189	28	23	16	0	0	76	332			
16:00 - 17:00	211	30	25	4	2	0	85	357			
17:00 - 18:00	314	34	27	8	0	0	76	459			
18:00 - 19:00	452	31	25	4	4	0	102	618			
19:00 - 20:00	356	26	24	7	1	0	59	473			
20:00 - 21:00	266	17	19	3	0	0	88	393			
21:00 - 22:00	238	8	13	2	1	0	67	329			

Volumen Vehicular por Tipo	4307	370	336	79	25	0	999	1.072
Volumen Total				6116				6555
Porcentaje	70.4%	6.0%	5.5%	1.3%	0.4%	0.0%	16.3%	TPD

Tabla 61. Aforo Vehicular Ruta San Jacinto

PUNTO: RUTA SAN JACINTO (SETAR TABLADA)										
Suma por Hora	Auto	Trufi	Micro	Camión	Volqueta	Flota	Moto	Hora Pico		
06:00 - 07:00	76	16	0	3	0	0	25	120		
07:00 - 08:00	104	25	1	11	0	0	37	178		
08:00 - 09:00	167	28	0	6	0	0	22	223		
09:00 - 10:00	198	26	0	7	0	0	19	250		
10:00 - 11:00	174	31	2	3	0	0	36	246		
11:00 - 12:00	254	33	0	7	1	0	47	342		
12:00 - 13:00	112	19	0	6	0	0	51	188		
13:00 - 14:00	160	12	0	8	0	0	28	208		
14:00 - 15:00	155	15	1	4	0	0	33	208		
15:00 - 16:00	233	24	0	13	0	0	27	297		
16:00 - 17:00	205	29	0	11	1	0	22	268		
17:00 - 18:00	277	38	0	6	0	0	39	360		
18:00 - 19:00	336	31	0	18	1	0	58	444		
19:00 - 20:00	301	26	0	5	0	0	36	368		
20:00 - 21:00	202	13	0	3	0	0	44	262		
21:00 - 22:00	278	6	0	8	0	0	35	327		
Volumen Vehicular por Tipo	3232	372	4	119	3	0	559	1.072		
Volumen Total				4289				4597		
Porcentaje	75.4%	8.7%	0.1%	2.8%	0.1%	0.0%	13.0%	TPD		

Fuente: Elaboración Propia

Tabla 62. Calle 2 (Setar Tablada)

PUNTO : CALLE 2 (SETAR TABLADA)												
Suma por Hora	Auto	Trufi	Micro	Camión	Volqueta	Flota	Moto	Hora Pico				
06:00 - 07:00	103	5	0	3	0	0	27	138				
07:00 - 08:00	178	7	1	7	0	0	32	225				
08:00 - 09:00	210	6	0	4	0	0	44	264				
09:00 - 10:00	165	8	1	2	1	0	38	215				
10:00 - 11:00	189	6	1	7	0	0	32	235				

64

11:00 - 12:00	201	8	2	3	0	0	46	260	
12:00 - 13:00	356	9	0	5	0	0	55	425	
13:00 - 14:00	222	7	0	7	0	0	43	279	
14:00 - 15:00	256	5	1	3	0	0	58	323	
15:00 - 16:00	244	7	0	2	0	0	36	289	
16:00 - 17:00	265	8	0	1	1	0	28	303	
17:00 - 18:00	356	7	1	6	0	0	68	438	
18:00 - 19:00	440	10	0	16	0	0	70	536	
19:00 - 20:00	387	7	0	9	0	0	54	457	
20:00 - 21:00	326	6	2	5	0	0	33	372	
21:00 - 22:00	276	3	1	4	0	0	37	321	
Volumen Vehicular por Tipo	4174	109	10	84	2	0	701	1.072	
Volumen Total		5080							
Porcentaje	82.2%	2.1%	0.2%	1.7%	0.0%	0.0%	13.8%	TPD	

Tabla 63. Aforo Vehicular Av. Victor Paz (Bomberos)

PUNTO : AV. VICTOR PAZ (ESTACION DE BOMBEROS)											
Suma por Hora	Auto	Trufi	Micr o	Camió n	Volquet a	Flota	Moto	Hora Pico			
06:00 - 07:00	256	35	23	16	3	6	67	406			
07:00 - 08:00	345	89	31	22	5	12	54	558			
08:00 - 09:00	476	101	27	32	12	7	102	757			
09:00 - 10:00	637	154	33	14	6	4	46	894			
10:00 - 11:00	652	166	31	17	4	3	65	938			
11:00 - 12:00	734	157	36	46	2	5	87	1067			
12:00 - 13:00	721	190	27	35	7	3	134	1117			
13:00 - 14:00	632	101	15	11	3	2	77	841			
14:00 - 15:00	466	86	26	23	5	1	45	652			
15:00 - 16:00	389	134	32	16	7	5	67	650			
16:00 - 17:00	355	155	35	23	8	1	89	666			
17:00 - 18:00	567	177	31	20	5	7	68	875			
18:00 - 19:00	689	186	38	35	2	9	170	1129			
19:00 - 20:00	611	102	35	28	3	3	131	913			
20:00 - 21:00	532	65	23	21	2	4	122	769			
21:00 - 22:00	478	45	14	11	1	2	144	695			
Volumen Vehicular por Tipo	8540	1943	457	370	75	74	1468	1.072			

Volumen								1385
Total				12927				6
	66.1	15.0				0.6	11.4	
Porcentaje	%	%	3.5%	2.9%	0.6%	%	%	TPD

Tabla 64. Aforo Vehicular Av. Cnl. Carlos Díaz

PUNTO : AV. CORONEL CARLOS DIAZ (ESTACION DE BOMBEROS)								
Suma por Hora	Auto	Trufi	Micro	Camión	Volqueta	Flota	Moto	Hora Pico
06:00 - 07:00	48	11	1	9	0	0	15	84
07:00 - 08:00	32	10	0	15	0	2	12	71
08:00 - 09:00	55	14	0	12	1	1	18	101
09:00 - 10:00	101	13	0	16	0	0	21	151
10:00 - 11:00	92	15	0	24	0	0	15	146
11:00 - 12:00	152	17	2	17	1	0	16	205
12:00 - 13:00	85	12	1	32	4	1	19	154
13:00 - 14:00	52	10	0	17	1	0	27	107
14:00 - 15:00	77	17	0	8	0	1	23	126
15:00 - 16:00	95	15	0	11	1	2	28	152
16:00 - 17:00	128	18	2	7	0	3	25	183
17:00 - 18:00	178	17	1	5	2	0	31	234
18:00 - 19:00	192	20	0	12	1	1	40	266
19:00 - 20:00	188	17	0	25	0	2	37	269
20:00 - 21:00	145	10	1	10	1	1	32	200
21:00 - 22:00	116	2	3	5	0	1	14	141
Volumen Vehicular por Tipo	1736	218	11	225	12	15	373	1.072
Volumen Total				2590				2776
Porcentaje	67.0%	8.4%	0.4%	8.7%	0.5%	0.6%	14.4%	TPD

Tabla 65. Aforo Vehicular Av. Victor Paz (Comando)

Tubiu 65. Aju	io veriiculai	AV. VICTOR	ruz (Comui	100)				Tabia 65. Aforo Venicular AV. Victor Paz (Comanao)									
PUN	PUNTO : AV. VICTOR PAZ (COMANDO DE LA POLICIA)																
Suma por Hora	Auto	Trufi	Micro	Camión	Volqueta	Flota	Moto	Hora Pico									
06:00 - 07:00	210	32	10	1	0	0	54	307									
07:00 - 08:00	356	56	14	3	0	0	67	496									
08:00 - 09:00	367	39	11	8	1	0	88	514									
09:00 - 10:00	388	78	12	3	0	0	77	558									
10:00 - 11:00	354	86	14	2	0	0	102	558									
11:00 - 12:00	366	101	16	1	0	0	111	595									

i .	1	ı	ı	i	ı	i	ı	
12:00 - 13:00	410	115	13	4	0	0	104	646
13:00 - 14:00	245	56	9	2	0	0	87	399
14:00 - 15:00	332	94	12	5	1	0	65	509
15:00 - 16:00	367	82	11	3	0	0	104	567
16:00 - 17:00	386	95	10	1	0	0	115	607
17:00 - 18:00	355	104	12	4	0	0	107	582
18:00 - 19:00	460	175	13	1	1	0	128	778
19:00 - 20:00	452	155	11	5	0	0	122	745
20:00 - 21:00	367	147	9	2	0	0	101	626
21:00 - 22:00	312	119	7	1	0	0	85	524
Volumen Vehicular por Tipo	5727	1534	184	46	3	0	1517	1.072
Volumen Total				9011				9658
Porcentaje	63.6%	17.0%	2.0%	0.5%	0.0%	0.0%	16.8%	TPD

Tabla 66. Aforo Vehicular Calle Ballivian

	PUNTO: CALLE BALLIVIAN (COMANDO DE LA POLICIA)								
Suma por Hora	Auto	Trufi	Micro	Camión	Volqueta	Flota	Moto	Hora Pico	
06:00 - 07:00	213	1	0	0	0	0	43	257	
07:00 - 08:00	345	2	0	1	0	0	55	403	
08:00 - 09:00	467	1	1	4	1	0	76	550	
09:00 - 10:00	323	1	0	2	0	0	35	361	
10:00 - 11:00	378	2	0	1	0	0	47	428	
11:00 - 12:00	354	4	0	1	0	0	53	412	
12:00 - 13:00	331	1	0	0	0	0	61	393	
13:00 - 14:00	319	2	0	1	0	0	53	375	
14:00 - 15:00	214	3	0	0	0	0	44	261	
15:00 - 16:00	365	1	1	0	1	0	53	421	
16:00 - 17:00	232	2	0	1	0	0	66	301	
17:00 - 18:00	379	1	0	1	0	0	54	435	
18:00 - 19:00	492	2	0	1	0	0	80	575	
19:00 - 20:00	356	1	0	2	0	0	75	434	
20:00 - 21:00	301	1	0	3	0	0	63	368	
21:00 - 22:00	259	0	0	1	0	0	36	296	
Volumen Vehicular por Tipo	5328	25	2	19	2	0	894	1.072	
Volumen Total				6270				6720	
Porcentaje	85.0%	0.4%	0.0%	0.3%	0.0%	0.0%	14.3%	TPD	

Tabla 67. Aforo Vehicular Av. Victor Paz (Campesino)

PU	JNTO : A	V. VICT	OR PA	Z (MERC	ADO CAM	IPESINO	O)	
Suma por Hora	Auto	Trufi	Micr o	Camió n	Volquet a	Flota	Moto	Hora Pico
06:00 - 07:00	267	54	8	5	0	0	102	436
07:00 - 08:00	349	68	11	8	4	0	145	585
08:00 - 09:00	465	172	15	7	0	0	165	824
09:00 - 10:00	434	103	13	4	0	1	135	690
10:00 - 11:00	428	154	17	3	1	0	98	701
11:00 - 12:00	467	167	15	5	0	0	87	741
12:00 - 13:00	502	144	18	1	0	0	125	790
13:00 - 14:00	423	104	11	6	0	0	113	657
14:00 - 15:00	364	96	14	5	0	0	97	576
15:00 - 16:00	254	106	17	2	0	0	165	544
16:00 - 17:00	287	155	15	7	0	0	187	651
17:00 - 18:00	469	164	19	2	0	0	201	855
18:00 - 19:00	488	163	20	4	0	1	220	896
19:00 - 20:00	528	134	17	6	0	0	216	901
20:00 - 21:00	342	96	20	3	0	0	154	615
21:00 - 22:00	310	64	8	2	0	0	123	507
Volumen Vehicular por Tipo	6377	1944	238	70	5	2	2333	1.07
Volumen Total		10969						1175 7
Porcentaje	58.1%	17.7%	2.2%	0.6%	0.0%	0.0%	21.3%	TPD

Tabla 68. Aforo Vehicular Calle Cochabamba

PUNT	PUNTO : CALLE COCHABAMBA (MERCADO CAMPESINO)											
Suma por Hora	Auto	Trufi	Micro	Camión	Volqueta	Flota	Moto	Hora Pico				
06:00 - 07:00	213	25	67	4	0	0	216	525				
07:00 - 08:00	254	37	85	6	1	0	245	628				
08:00 - 09:00	365	34	102	16	0	1	253	771				
09:00 - 10:00	378	32	123	6	0	0	264	803				
10:00 - 11:00	356	36	115	2	0	0	134	643				
11:00 - 12:00	419	48	136	6	0	1	156	766				
12:00 - 13:00	446	45	129	3	2	0	242	867				
13:00 - 14:00	485	34	110	6	0	0	167	802				
14:00 - 15:00	216	37	114	3	0	0	246	616				

15:00 - 16:00	328	35	137	7	0	0	276	783
16:00 - 17:00	277	36	123	3	1	0	257	697
17:00 - 18:00	452	45	136	5	0	1	286	925
18:00 - 19:00	501	48	145	2	0	0	313	1009
19:00 - 20:00	520	56	160	6	1	1	372	1116
20:00 - 21:00	434	37	153	2	0	0	243	869
21:00 - 22:00	315	23	64	3	0	0	165	570
Volumen Vehicular por Tipo	5959	608	1899	80	5	4	3835	1.072
Volumen Total				12390				13280
Porcentaje	48.1%	4.9%	15.3%	0.6%	0.0%	0.0%	31.0%	

Tabla 69. Aforo Vehicular Calle 29 de junio

PUNTO : CALLE 29 DE JUNIO (EPI MOTO MENDEZ)								
Suma por Hora	Auto	Trufi	Micro	Camión	Volqueta	Flota	Moto	Hora Pico
06:00 - 07:00	57	0	0	1	0	0	21	79
07:00 - 08:00	66	0	1	0	2	1	25	95
08:00 - 09:00	78	1	0	8	0	0	28	115
09:00 - 10:00	85	0	0	5	0	0	15	105
10:00 - 11:00	101	0	0	3	1	1	11	117
11:00 - 12:00	125	0	0	2	0	0	25	152
12:00 - 13:00	136	0	0	1	0	0	17	154
13:00 - 14:00	115	0	1	0	0	1	5	122
14:00 - 15:00	84	0	0	0	1	0	10	95
15:00 - 16:00	102	1	0	4	0	0	16	123
16:00 - 17:00	92	0	0	2	0	1	18	113
17:00 - 18:00	113	0	0	1	0	0	12	126
18:00 - 19:00	145	0	1	1	1	0	17	165
19:00 - 20:00	152	1	0	3	0	1	25	182
20:00 - 21:00	118	0	0	6	0	0	22	146
21:00 - 22:00	62	0	0	3	0	0	14	79
Volumen Vehicular por Tipo	1631	3	3	40	5	5	281	1.072
Volumen Total		1		1968				2109
Porcentaje	82.9%	0.2%	0.2%	2.0%	0.3%	0.3%	14.3%	TPD

Tabla 70. Aforo Vehicular Av. Cap. Castellanos

PUNT	O: AV.	CAP. C	CASTEL	LANOS (I	ЕРІ МОТО	MEND	EZ)	
Suma por Hora	Auto	Trufi	Micro	Camión	Volqueta	Flota	Moto	Hora Pico
06:00 - 07:00	45	8	4	0	0	0	21	78
07:00 - 08:00	78	10	5	0	1	1	31	126
08:00 - 09:00	101	13	7	1	0	0	25	147
09:00 - 10:00	56	12	5	0	0	0	14	87
10:00 - 11:00	87	10	7	0	0	0	19	123
11:00 - 12:00	92	12	6	0	0	1	22	133
12:00 - 13:00	111	13	8	1	1	0	31	165
13:00 - 14:00	57	5	5	0	0	0	14	81
14:00 - 15:00	25	8	3	0	0	0	19	55
15:00 - 16:00	38	11	5	0	0	0	27	81
16:00 - 17:00	81	13	6	0	3	1	25	129
17:00 - 18:00	56	14	4	1	0	0	11	86
18:00 - 19:00	101	16	7	0	0	0	30	154
19:00 - 20:00	212	12	8	2	1	2	34	271
20:00 - 21:00	99	8	6	0	0	0	22	135
21:00 - 22:00	84	3	4	0	0	0	19	110
Volumen Vehicular por Tipo	1323	168	90	5	6	5	364	1.072
Volumen Total		1961						2102
Porcentaje	67.5%	8.6%	4.6%	0.3%	0.3%	0.3%	18.6%	TPD

Tabla 71. Aforo Vehicular Calle Gral. Andrés de Santa Cruz

,	PUNTO : CALLE GRAL. ANDRES DE SANTA CRUZ (SAN JUAN DE DIOS)											
Suma por Hora	Auto	Trufi	Micro	Camión	Volqueta	Flota	Moto	Hora Pico				
06:00 - 07:00	115	8	4	2	0	0	23	152				
07:00 - 08:00	285	12	6	5	1	0	54	363				
08:00 - 09:00	265	15	7	16	0	0	36	339				
09:00 - 10:00	319	17	5	7	0	0	85	433				
10:00 - 11:00	275	15	6	6	0	0	101	403				
11:00 - 12:00	422	20	7	9	0	0	95	553				
12:00 - 13:00	439	17	10	7	2	0	89	564				
13:00 - 14:00	158	9	6	2	0	0	113	288				
14:00 - 15:00	107	7	5	1	0	0	108	228				
15:00 - 16:00	236	10	7	5	0	0	97	355				
16:00 - 17:00	315	16	8	8	1	0	84	432				

17:00 - 18:00	310	15	7	6	0	0	77	415
18:00 - 19:00	401	14	9	5	0	0	116	545
19:00 - 20:00	440	18	8	3	1	0	136	606
20:00 - 21:00	268	17	6	1	0	0	105	397
21:00 - 22:00	186	6	4	2	0	0	83	281
Volumen Vehicular por Tipo	4541	216	105	85	5	0	1402	1.072
Volumen Total				6354				6810
Porcentaje	71.5%	3.4%	1.7%	1.3%	0.1%	0.0%	22.1%	TPD

Tabla 72. Aforo Vehicular Calle 14 de junio

PUNTO : CALLE 14 DE JUNIO (SAN JUAN DE DIOS)								
Suma por Hora	Auto	Trufi	Micro	Camión	Volqueta	Flota	Moto	Hora Pico
06:00 - 07:00	223	8	1	3	0	0	36	271
07:00 - 08:00	345	10	1	5	0	0	89	450
08:00 - 09:00	466	12	2	6	1	0	82	569
09:00 - 10:00	389	10	3	5	0	0	75	482
10:00 - 11:00	412	11	2	3	0	0	86	514
11:00 - 12:00	501	15	3	4	0	0	102	625
12:00 - 13:00	523	16	4	6	2	0	112	663
13:00 - 14:00	328	8	3	2	0	0	107	448
14:00 - 15:00	213	7	2	1	0	0	56	279
15:00 - 16:00	326	10	1	0	0	0	37	374
16:00 - 17:00	358	12	2	8	0	0	95	475
17:00 - 18:00	476	10	3	5	1	0	83	578
18:00 - 19:00	436	13	2	6	0	0	105	562
19:00 - 20:00	552	11	1	3	0	0	110	677
20:00 - 21:00	412	8	2	2	0	0	56	480
21:00 - 22:00	385	5	1	2	0	0	38	431
Volumen Vehicular por Tipo	6345	166	33	61	4	0	1269	1.072
Volumen Total		7878					8444	
Porcentaje	80.5%	2.1%	0.4%	0.8%	0.1%	0.0%	16.1%	TPD

PUNTO : AV. HEROES DE LA INDEPENDENCIA (PROSALUD)								
Suma por Hora	Auto	Trufi	Micro	Camión	Volqueta	Flota	Moto	Hora Pico
06:00 - 07:00	157	21	17	6	0	0	35	236
07:00 - 08:00	211	33	26	4	2	0	76	352
08:00 - 09:00	256	36	22	7	1	0	54	376
09:00 - 10:00	345	31	27	1	0	0	66	470
10:00 - 11:00	367	37	29	17	0	0	48	498
11:00 - 12:00	210	35	30	13	1	0	59	348
12:00 - 13:00	344	44	31	11	0	0	43	473
13:00 - 14:00	105	40	15	7	0	0	33	200
14:00 - 15:00	257	21	11	18	2	0	65	374
15:00 - 16:00	278	28	27	24	0	0	47	404
16:00 - 17:00	388	33	25	11	0	0	79	536
17:00 - 18:00	416	37	27	6	0	0	88	574
18:00 - 19:00	381	35	32	17	1	0	95	561
19:00 - 20:00	460	30	30	14	0	0	108	642
20:00 - 21:00	247	24	28	4	0	0	64	367
21:00 - 22:00	209	11	13	3	0	0	51	287
Volumen Vehicular por Tipo	4631	496	390	163	7	0	1011	1.072
Volumen Total				6698				7179
Porcentaje	69.1%	6.3%	5.0%	2.1%	0.1%	0.0%	12.8%	TPD

Tabla 74. Aforo Vehicular Av. Noelia Martínez

,	PUNTO: AV. NOELIA MARTINEZ (PROSALUD)							
Suma por Hora	Auto	Trufi	Micro	Camión	Volqueta	Flota	Moto	Hora Pico
06:00 - 07:00	89	21	15	1	0	0	36	162
07:00 - 08:00	112	38	27	4	3	0	28	212
08:00 - 09:00	156	46	38	3	0	0	21	264
09:00 - 10:00	245	51	46	11	0	0	16	369
10:00 - 11:00	267	47	44	6	0	0	45	409
11:00 - 12:00	310	41	41	1	0	0	33	426
12:00 - 13:00	327	44	38	8	2	0	29	448
13:00 - 14:00	167	27	26	12	0	0	18	250
14:00 - 15:00	106	21	21	8	0	0	26	182
15:00 - 16:00	276	38	48	6	1	0	37	406
16:00 - 17:00	311	47	45	1	0	0	34	438

17:00 - 18:00	256	49	47	7	0	0	47	406
18:00 - 19:00	334	57	43	3	1	0	55	493
19:00 - 20:00	368	60	52	1	0	0	64	545
20:00 - 21:00	289	43	41	5	1	0	53	432
21:00 - 22:00	276	26	31	2	0	0	39	374
Volumen Vehicular por Tipo	3889	656	603	79	8	0	581	1.072
Volumen Total		5816						6234
Porcentaje	49.4%	8.3%	7.7%	1.0%	0.1%	0.0%	7.4%	TPD

3.5.- Congestionamiento Vehicular

3.5.1- Velocidad de punto

Se hizo las mediciones en tramos de 100 metros en cada punto de estudio sacando las velocidades a 10 vehículos aleatorios.

En el caso de Av. Víctor Paz en la Universidad Autónoma Juan Misael Saracho se hizo el siguiente procedimiento:

VELOCIDAD DE PUNTO

$$Vp = \frac{dx}{dt} = m/s$$

dx= distancia dt= tiempo

$$V1 = \frac{100}{23.3} = 4.3 \ m/s$$
 $V2 = \frac{100}{20} = 5 \ m/s$

V3 =
$$\frac{100}{18.9}$$
 = 5.3 m/s V4 = $\frac{100}{20.8}$ = 4.8 m/s

$$V5 = \frac{100}{18.5} = 5.4 \text{ m/s}$$
 $V6 = \frac{100}{8.4} = 12 \text{ m/s}$

$$V7 = \frac{100}{8.6} = 11.7 \ m/s$$
 $V8 = \frac{100}{8.1} = 12.4 \ m/s$

V9 =
$$\frac{100}{8.9}$$
 = 11.3 m/s V10 = $\frac{100}{8.2}$ = 12.2 m/s

Se obtiene las velocidades en (m/s) se transforma a (km/h) para sacar un promedio de velocidad para poder hallar la densidad vehicular en (veh/km).

Se hizo en mismo cálculo de velocidades en todos los puntos de estudio.

Tabla 75. Velocidades Av. Integración – Calle Membrillos

Tabla 75. Velocidades Av. Integra					
PUNTO : AV. DE LA INTEGRACIÓN					
(TRA	NSITO)				
VELOCIDAD	VELOCIDAD				
(m/s)	(Km/h)				
10	36				
11	39.6				
9	32.4				
10	36				
6.4	23.04				
7	25.2				
7.5	27				
10.3	37.08				
6.3	22.68				
6.9	24.84				
PROMEDIO					
(Km/h)	30.38				

calle Mellibrillos				
PUNTO : HOSPITAL OBRERO (CALLE MEMBRILLOS)				
	,			
VELOCIDAD (m/s)	VELOCIDAD (Km/h)			
7	25.2			
5	18			
8	28.8			
6.5	23.4			
7.8	28.08			
6.3	22.68			
6.9	24.84			
7.1	25.56			
9	32.4			
9.3	33.48			
PROMEDIO (Km/h)	26.24			

Tabla 76. Velocidades Av. Potosí – Av. Victor Paz

PUNTO : HOSPITAL OBRERO (AV. POTOSI)			
	VELOCIDAD		
VELOCIDAD (m/s)	(Km/h)		
5	18		
4.3	15.48		
3	10.8		
5	18		
3	10.8		
6.2	22.32		
8	28.8		

PUNTO : AV. VICTOR PAZ					
(SETAR)					
VELOCIDAD	VELOCIDAD				
(m/s)	(Km/h)				
10	36				
8.5	30.6				
7.8	28.08				
8	28.8				
10.2	36.72				
7.9	28.44				
10	36				

3	10.8
4	14.4
3.5	12.6
PROMEDIO (Km/h)	16.20

10.4	37.44
6.9	24.84
9	32.4
PROMEDIO	
(Km/h)	31.93

Tabla 77. Velocidades Av. Victor Paz

rabia //. Velociaaaes/(v. Victor raz					
PUNTO : Al	PUNTO : AEROPUERTO				
VELOCIDAD	VELOCIDAD				
(m/s)	(Km/h)				
7	25.2				
6.9	24.84				
8.4	30.24				
9.2	33.12				
10.1	36.36				
6	21.6				
6.7	24.12				
6.9	24.84				
7.2	25.92				
8	28.8				
PROMEDIO					
(Km/h)	27.50				

PUNTO: AV. VICTOR PAZ (UAJMS)	
VELOCIDAD	VELOCIDAD
(m/s)	(Km/h)
4.3	15.48
5	18
5.3	19.08
4.8	17.28
5.4	19.44
12	43.2
11.7	42.12
12.4	44.64
11.3	40.68
12.2	43.92
PROMEDIO	
(Km/h)	30.38

Fuente: Elaboración Propia

Tabla 78. Velocidades Av. Alto de la Alianza – Ruta San Jacinto

PUNTO: AV. ALTO DE LA ALIANZA	
(GADA 94)	VELOCIDA
VELOCIDAD (m/s)	D (Km/h)
7	25.2
8.2	29.52
9	32.4
9.3	33.48
11	39.6
6	21.6
7.9	28.44
9.5	34.2
8.4	30.24
7	25.2
PROMEDIO (Km/h)	29.99

PUNTO : RUTA SAN JACINTO (SETAR TABLADA)	
	VELOCIDA
VELOCIDAD (m/s)	D (Km/h)
9	32.4
8.8	31.68
10	36
10.2	36.72
8.7	31.32
9.5	34.2
9.4	33.84
10.6	38.16
8.6	30.96
11	39.6
PROMEDIO (Km/h)	34.49

PUNTO : CALLE GRAL. SANTA CRUZ (S.J.DIOS)	
	VELOCIDAD
VELOCIDAD (m/s)	(Km/h)
6.4	23.04
7.3	26.28
7	25.2
6.8	24.48
6.5	23.4
7	25.2
7.4	26.64
6.9	24.84
6.5	23.4
8.2	29.52
PROMEDIO (Km/h)	25.20

PUNTO : CALLE 14 DE JUNIO (SAN JUAN DE DIOS)	
	VELOCIDAD
VELOCIDAD (m/s)	(Km/h)
7.5	27
6.3	22.68
7.8	28.08
8.4	30.24
5.2	18.72
6.8	24.48
7.5	27
7.9	28.44
7.3	26.28
6	21.6
PROMEDIO (Km/h)	25.45

Tabla 80. Velocidades Av. Nueva Terminal – Av. Victor Paz

PUNTO : AV. NUEVA TERMINAL	
(TERMINAL)	
	VELOCIDA
VELOCIDAD (m/s)	D (Km/h)
9.4	33.84
8.8	31.68
10.2	36.72
11	39.6
10.5	37.8
11.5	41.4
9.7	34.92
9	32.4
10.5	37.8
9.6	34.56
PROMEDIO (Km/h)	36.07

PUNTO: AV. VICTOR PAZ (ESTACION DE	
BOMBEROS)	
	VELOCIDA
VELOCIDAD (m/s)	D (Km/h)
10.1	36.36
11	39.6
11.4	41.04
12	43.2
10.4	37.44
9.4	33.84
8.6	30.96
10.2	36.72
12.5	45
11.6	41.76
PROMEDIO (Km/h)	38.59

Tabla 81. Velocidades Av. Victor Paz – Av. Cnl. Carlos Díaz

PUNTO : AV. VICTOR PAZ (MORROS BLANCOS)	
	VELOCIDA
VELOCIDAD (m/s)	D (Km/h)
8.2	29.52
9.3	33.48
9	32.4
10.2	36.72
10.5	37.8

PUNTO : AV. CORONEL CARLOS DIAZ (ESTACION DE BOMBEROS)	
`	VELOCIDA
VELOCIDAD (m/s)	D (Km/h)
6.5	23.4
6.8	24.48
7	25.2
7.4	26.64
7.6	27.36

9.7	34.92
9	32.4
10	36
11.2	40.32
11.6	41.76
PROMEDIO (Km/h)	35.53

8	28.8
6.4	23.04
7	25.2
7.4	26.64
8.9	32.04
PROMEDIO (Km/h)	26.28

Tabla 82. Calle España — Av. Victor Po	
PUNTO : CALLE ESPAÑA	
(UAJMS)	
VELOCIDAD	VELOCIDAD
(m/s)	(Km/h)
6.3	22.68
6	21.6
5.7	20.52
6.8	24.48
7	25.2
6.9	24.84
5	18
6.7	24.12
7	25.2
7.1	25.56
PROMEDIO	
(Km/h)	23.22

PUNTO : AV. VICTOR PAZ (COMANDO DE LA POLICIA)		
	VELOCIDAD	
VELOCIDAD (m/s)	(Km/h)	
7.2	25.92	
6.8	24.48	
6.9	24.84	
7.2	25.92	
7.5	27	
5	18	
6.6	23.76	
7.3	26.28	
6.3	22.68	
4.6	16.56	
PROMEDIO (Km/h)	23.54	

Tabla 83. Velocidades Calle 2 – Calle Ballivián

PUNTO : CALLE 2 (SETAR	
TABLADA)	
VELOCIDAD	VELOCIDAD
(m/s)	(Km/h)
9.6	34.56
8.9	32.04
10.5	37.8
11.2	40.32
12	43.2
11.3	40.68
10	36
9.6	34.56
9	32.4
10.5	37.8

PUNTO : CALLE BALLIVIAN (COMANDO DE LA POLICIA)		
,	VELOCIDAD	
VELOCIDAD (m/s)	(Km/h)	
5.4	19.44	
6.7	24.12	
6.3	22.68	
6	21.6	
6.8	24.48	
6.3	22.68	
7.2	25.92	
7.1	25.56	
6	21.6	
5.3	19.08	

PROMEDIO			
(Km/h)	36.94	PROMEDIO (Km/h)	22.72

Tabla 84. Velocidades Av. Fuerza Aérea – Calle 2

PUNTO: AV FUERZA AEREA (AEROPUERTO)	
	VELOCIDAD
VELOCIDAD (m/s)	(Km/h)
5	18
6.3	22.68
5.4	19.44
5	18
6.7	24.12
5.2	18.72
6.4	23.04
5.7	20.52
7.6	27.36
6.4	23.04
PROMEDIO (Km/h)	21.49

PUNTO : CALLE 2 (TERMINAL)		
VELOCIDAD	VELOCIDAD	
(m/s)	(Km/h)	
7	25.2	
8.6	30.96	
9.4	33.84	
9.6	34.56	
9.2	33.12	
10.5	37.8	
11	39.6	
11.6	41.76	
11.3	40.68	
12.5	45	
PROMEDIO		
(Km/h)	36.25	

Fuente: Elaboración Propia

Tabla 85. Velocidades Av. Victor Paz – Av. Noelia Ma<u>r</u>tinez

PUNTO : AV. VICTOR PAZ (MERCADO CAMPESINO)		
	VELOCIDAD	
VELOCIDAD (m/s)	(Km/h)	
8.2	29.52	
8.7	31.32	
8.5	30.6	
9	32.4	
8.6	30.96	
9.4	33.84	
9.2	33.12	
8.7	31.32	
8	28.8	
10.2	36.72	

PUNTO : AV. NOELIA MARTINEZ		
(PROSALUD)		
	VELOCIDAD	
VELOCIDAD (m/s)	(Km/h)	
6.8	24.48	
7.5	27	
7.3	26.28	
8.2	29.52	
8	28.8	
7.9	28.44	
7.4	26.64	
9.6	34.56	
10	36	
5.7	20.52	

Tabla 86. Velocidades Calle Cochabamba – Av. H. de la Independencia

PUNTO : CALLE COCHABAMBA (M. CAMPESINO)	
VELOCIDAD (m/s)	VELOCIDAD (Km/h)
5.5	19.8
5.8	20.88

PUNTO : AV. H. DE LA INDEPENDENCIA (PROSALUD)	
`	VELOCIDAD
VELOCIDAD (m/s)	(Km/h)
8.2	29.52
8.7	31.32

5.7	20.52
5	18
6.3	22.68
6	21.6
6.7	24.12
6.9	24.84
7	25.2
7.4	26.64
PROMEDIO (Km/h)	22.43

9	32.4
9.5	34.2
10.4	37.44
7.4	26.64
8.7	31.32
9.6	34.56
8.5	30.6
11	39.6
PROMEDIO (Km/h)	32.76

Tabla 87. Velocidades Calle 29 de junio — Av. Cap. Castellanos

PUNTO : CALLE 29 DE JUNIO (EPI				
MOTO MENI	DEZ)			
	VELOCIDAD			
VELOCIDAD (m/s)	(Km/h)			
8.5	30.6			
7.8	28.08			
8.8	31.68			
9.1	32.76			
7.6	27.36			
8.4	30.24			
9	32.4			
9.6	34.56			
5.6	20.16			
4.9	17.64			
PROMEDIO (Km/h)	28.55			

PUNTO : AV. CAP. CASTELLANOS (EPI MOTO MENDEZ)			
	VELOCIDAD		
VELOCIDAD (m/s)	(Km/h)		
5.4	19.44		
6.7	24.12		
6.9	24.84		
7.2	25.92		
5.4	19.44		
6.8	24.48		
7.3	26.28		
7.1	25.56		
7	25.2		
5.3	19.08		
PROMEDIO (Km/h)	23.44		

Fuente: Elaboración Propia

Obteniendo las velocidades promedio se puede realizar el cálculo de la Densidad Vehicular donde:

$$DV = \frac{I}{V}$$

En el caso de Av. Víctor Paz en la Universidad Autónoma Juan Misael Saracho se hizo el siguiente procedimiento:

$$DV = \frac{1441}{30.38} = 47 \ Veh/km$$

Se hizo el mismo el cálculo en todos los puntos de estudio.

Tabla 88. Densidad Vehicular

PUNTOS DE ESTUDIO	Intensidad (Veh/h)	Densidad Vehicular (Veh/km)
PUNTO : AV. DE LA INTEGRACION (TRANSITO)	963	32
PUNTO : HOSPITAL OBRERO (AV. POTOSI)	436	27
PUNTO : HOSPITAL OBRERO (CALLE MEMBRILLOS)	526	20
PUNTO : AV. VICTOR PAZ (SETAR)	1054	33
PUNTO : AV. VICTOR PAZ (AEROPUERTO)	1118	41
PUNTO : AV. NUEVA TERMINAL (TERMINAL)	726	20
PUNTO : AV. VICTOR PAZ (MORROS BLANCOS)	1096	31
PUNTO : AV. VICTOR PAZ (UAJMS)	1441	47
PUNTO : CALLE ESPAÑA (UAJMS)	1052	45
PUNTO : AV. ALTO DE LA ALIANZA (GADA 94)	618	21
PUNTO : RUTA SAN JACINTO (SETAR TABLADA)	444	16
PUNTO : CALLE 2 (SETAR TABLADA)	536	15
PUNTO : AV. VICTOR PAZ (ESTACION DE BOMBEROS)	1129	29
PUNTO: AV. CRL. CARLOS DIAZ (ESTACION DE BOMBEROS)	269	10
PUNTO : AV. VICTOR PAZ (COMANDO DE LA POLICIA)	778	33
PUNTO : CALLE BALLIVIAN (COMANDO DE LA POLICIA)	575	25
PUNTO : AV. VICTOR PAZ (MERCADO CAMPESINO)	901	28
PUNTO : CALLE COCHABAMBA (MERCADO CAMPESINO)	1116	50
PUNTO : CALLE 29 DE JUNIO (EPI MOTO MENDEZ)	182	6
PUNTO : AV. CAP. CASTELLANOS (EPI MOTO MENDEZ)	271	12
PUNTO : CALLE GRAL. SANTA CRUZ (SAN JUAN DE DIOS)	606	24
PUNTO : CALLE 14 DE JUNIO (SAN JUAN DE DIOS)	677	27
PUNTO : AV FUERZA AEREA (AEROPUERTO)	420	20
PUNTO : CALLE 2 (TERMINAL)	499	14

PUNTO : AV. HEROES DE LA INDEPENDENCIA (PROSALUD)	642	20
PUNTO : AV. NOELIA MARTINEZ (PROSALUD)	545	19

3.6.- Deslizamiento

Tomando en cuenta que la Norma ISO 31000 también nos permite hacer una clasificación cualitativa se optó por seleccionar taludes que estén dentro o cerca de la infraestructura vial principal de la Ciudad de Tarija.

Se realizó un procedimiento cualitativo de cuatro taludes dentro de la zona urbana de la Ciudad de Tarija, haciendo análisis visual de los taludes para determinar el estado en el que se encuentran:

Figura 22. Talud Av. Panamericana Figura 23. Talud Av. Oscar Vargas Molina





Fuente: Elaboración Propia

Figura 24. Talud Ruta San Jacinto Figura 25. Talud Av. H. de la Independencia





Tabla 89. Taludes de la Zona Urbana

Nimo	VIA	ESTADO DE TALUD
Nro.	VIA	DESLIZAMIENTO
1	AV. HEROES DE LA INDEPENDENCIA	MEDIA
2	AV. PANAMERICANA	ALTA
3	RUTA A SAN JACINTO	ALTA
4	AV. OSCAR VARGAS MOLINA	ALTA

Tabla 90. Clasificación de Taludes

	abla 90. Clasificación de Taludes			1		
1	ESTADO 1	DE TALUD				
1	PROBABILIDAD					
0	PAVIMENTO EN MAL ESTADO	ALTA	MEDIA	BAJA		
Ċ	BAJO					
IMPACTO	MODERADO					
	CRITICO		ATENCIÓN			
2	ESTADO	DE TALUD				
2	PROBA	BILIDAD				
O,	PAVIMENTO EN MAL ESTADO	ALTA	MEDIA	BAJA		
IMPACTO	BAJO					
IP A	MODERADO					
41	CRITICO	URGENTE				
3	ESTADO :	DE TALUD				
3	PROBA	BILIDAD				
0	PAVIMENTO EN MAL ESTADO	ALTA	MEDIA	BAJA		
CT	BAJO					
IMPACTO	MODERADO					
IIV	CRITICO	URGENTE				
	FSTADO	DE TALUD				
4	ESTADO	DE TALOD				
	PROBA	BILIDAD				
0	PAVIMENTO EN MAL ESTADO	ALTA	MEDIA	BAJA		
CT	BAJO					
IMPACTO	MODERADO					
4	CRITICO	URGENTE				

Fuente: Norma ISO 31000

3.7.- Afectación en el Pavimento (IRI)

Se realizó el levantamiento de datos en todos los puntos de estudio utilizando la metodología de la Rueda de Merlín en los accesos princípiales de cada edificación esencial de la Ciudad de Tarija.

Figura 26. Rueda de Merlín H. Obrero Figura 27. Rueda de Merlín Setar





Fuente: Elaboración Propia

Figura 28. Rueda de Merlín Terminal







Datos de campo con la Rueda Merlín Av. Nueva Terminal (Terminal)

Tabla 91. Datos Obtenidos Rueda de Merlín Av. Nueva Terminal

7 0 0 7 0	1	2	3	4	5
1	32	20	29	27	21
2	19	17	17	27	19
3	28	27	16	21	20
4	27	40	33	28	18
5	31	20	14	24	29
6	30	24	13	34	21
7	19	14	25	17	21
8	19	27	33	24	37
9	15	25	30	11	14
10	22	27	32	32	33
11	21	24	25	35	26
12	18	29	19	13	30
13	26	23	24	25	28
14	22	20	22	21	31
15	25	18	15	25	
16	27	30	24	18	
17	16	20	34	33	
18	29	18	20	25	
19	21	28	29	20	
20	17	23	32	27	

Fuente: Elaboración Propia

Figura 30. Histograma intervalo de desviaciones

Fuente: Elaboración Propia

Interpretación: en la figura 30 se muestran los intervalos de desviaciones de los datos obtenidos por la rueda de merlín dando un valor mayor de 40, menor de 11, rango medio de 4 y mayor cantidad de datos en el rango izquierdo.

$$D = \left(\frac{(d_i - f_i)}{d_i} + d_m + \frac{(d_d - f_d)}{d_d}\right) * 5 [mm]$$

$$D = \left(\frac{(6 - (-33))}{6} + 4 + \frac{(5 - (-9))}{5}\right) * 5 [mm]$$

D = 66.5 mm

Cálculo factor de corrección fc:

Donde:

$$Ep = 6.2$$

$$Li = 25$$

$$Lf = 10$$

$$f_c = \left(\frac{\left(E_p * 10\right)}{\left(L_i - L_f\right) * 5}\right)$$

$$fc = 0.826666667$$
 mm

Cálculo del rango corregido Dc:

$$D_c = D * fc$$

$$Dc = 54.97333333$$
 mm

Cálculo del I.R.I.:

Aplicando la fórmula para pavimentos en servicio:

$$I. R. I. = 0.593 + 0.0471 * D_c$$

I.R.I.= 3.18 m/km

Datos de campo con la Rueda Merlín. Av. Alto de la Alianza (Gada 94)

Tabla 92. Datos Obtenidos Rueda de Merlín Av. Alto de la Alianza

	JE: Dates obternaes	Nucuu ue Meriir Av. Ait	o ac ia i manza		
	1	2	3	4	5
1	32	21	22	27	24
2	24	25	17	24	25
3	23	27	23	19	24
4	34	24	28	24	21
5	31	17	20	25	21
6	23	28	25	23	28
7	24	19	19	23	20
8	18	24	25	24	24
9	27	26	23	22	20
10	28	30	31	23	23
11	25	23	31	21	22
12	32	29	26	23	25
13	24	28	24	31	25
14	25	22	20	24	25
15	25	24	28	20	24
16	28	27	15	24	22
17	23	19	19	23	26
18	21	21	21	21	24
19	25	25	25	24	35
20	29	30	24	25	

Fuente: Elaboración Propia

HISTOGRAMA DE DISTRIBUCIÓN DE FRECUENCIAS FRECUENCIA **INTERVALO DE DESVIACIONES**

Figura 31. Histograma de intervalo de desviaciones

Fuente: Elaboración Propia

Interpretación: en la figura 31 se muestran los intervalos de desviaciones de los datos obtenidos por la rueda de merlín dando un valor mayor de 35, menor de 15, rango medio de 4 y mayor cantidad de datos en el rango medio.

$$D = \left(\frac{(d_i - f_i)}{d_i} + d_m + \frac{(d_d - f_d)}{d_d}\right) * 5 [mm]$$

$$D = \left(\frac{(19 - (-29))}{7} + 4 + \frac{(2 - 0)}{2}\right) * 5 [mm]$$

D = 37.6315789 mm

Cálculo factor de corrección fc:

Donde:

$$Ep = 6.2$$

$$Li = 25$$

$$Lf = 10$$

$$f_c = \left(\frac{\left(E_p * 10\right)}{\left(L_i - L_f\right) * 5}\right)$$

fc = 0.826666667 mm

Cálculo del rango corregido Dc:

$$D_c = D * fc$$

Dc = 31.10877193 mm

Cálculo del I.R.I.:

Aplicando la fórmula para pavimentos en servicio:

$$I. R. I. = 0,593 + 0,0471 * D_c$$

I.R.I.= 2.06 m/km

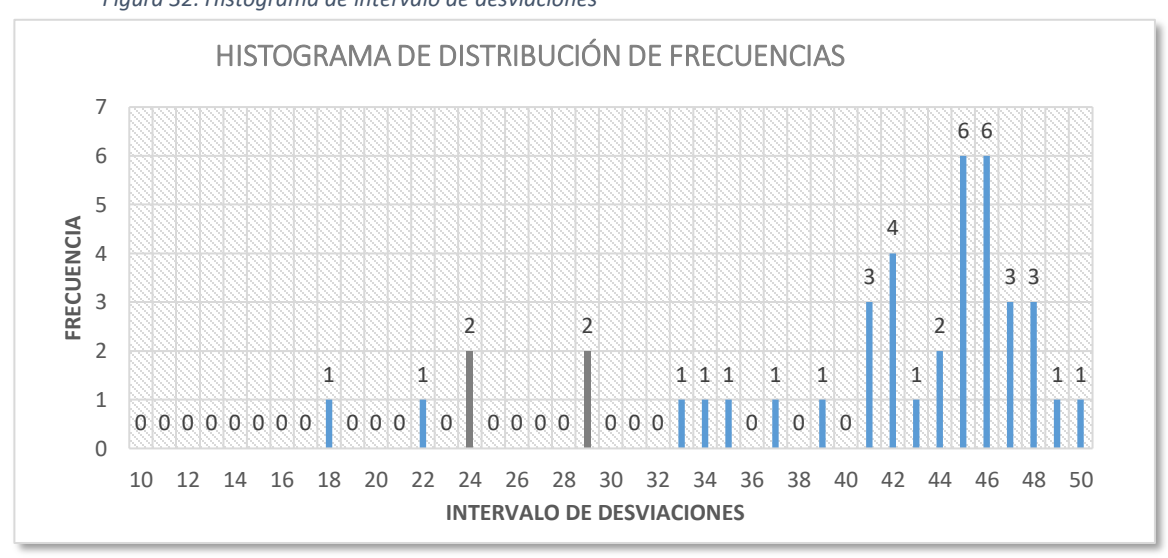
Datos de campo con la Rueda Merlín. Av. Capitán Castellanos (Epi Moto Méndez)

Tabla 93. Datos Obtenidos Rueda de Merlín Av. Cap. Castellanos

Tabla 95. Datos Obternaos Rueda de Iviernin Av. Cap. Castenanos				
	1	2	3	
1	47	43	22	
2	42	37		
3	45	45		
4	44	49		
5	34	45		
6	29	35		
7	39	46		
8	47	45		
9	46	45		
10	48	46		
11	29	50		
12	41	48		
13	46	47		
14	46	18		
15	45	41		
16	48	46		
17	44	42		
18	41	42		
19	24	33		
20	42	24		

Fuente: Elaboración Propia

Figura 32. Histograma de intervalo de desviaciones



Fuente: Elaboración Propia

Interpretación: en la figura 32 se muestran los intervalos de desviaciones de los datos obtenidos por la rueda de merlín dando un valor mayor de 50, menor de 18, rango medio de 0 y mayor cantidad de datos en el rango derecho.

$$D = \left(\frac{(d_i - f_i)}{d_i} + d_m + \frac{(d_d - f_d)}{d_d}\right) * 5 [mm]$$

$$D = \left(\frac{(2-8)}{2} + 4 + \frac{(2-(-25))}{2}\right) * 5 [mm]$$

D = 72.5 mm

Cálculo factor de corrección fc:

Donde:

$$Ep = 6.2$$

$$Li = 25$$

$$Lf = 10$$

$$f_c = \left(\frac{\left(E_p * 10\right)}{\left(L_i - L_f\right) * 5}\right)$$

$$fc = 0.826666667$$
 mm

Cálculo del rango corregido Dc:

$$D_c = D * fc$$

$$Dc = 59.93333333 \text{ mm}$$

Cálculo del I.R.I.:

Aplicando la fórmula para pavimentos en servicio:

$$I. R. I. = 0.593 + 0.0471 * D_c$$

I.R.I.= 3.42 m/km

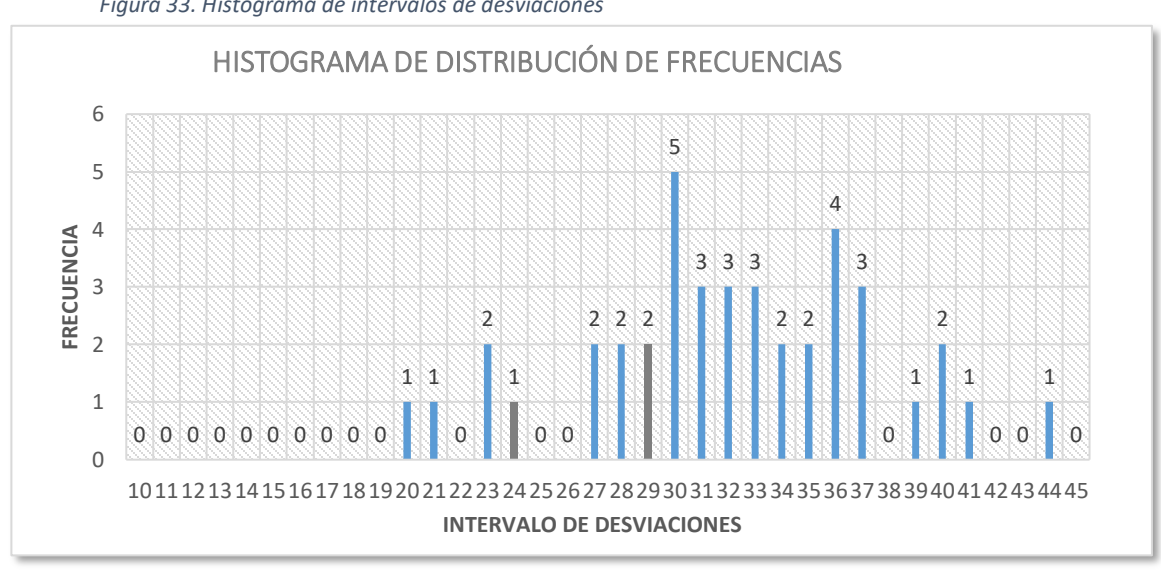
Datos de campo con la Rueda Merlín. Av. Cnl. Carlos Díaz (Bomberos)

Tabla 94. Datos Obtenidos Rueda de Merlín Av. Cnl. Carlos Díaz

	1	2	3
1	30	23	34
2	36	30	
3	35	35	
4	28	37	
5	33	27	
6	32	29	
7	32	36	
8	27	21	
9	37	29	
10	28	36	
11	24	31	
12	30	40	
13	37	41	
14	30	20	
15	33	31	
16	32	40	
17	34	31	
18	39	23	
19	30	44	
20	36	33	

Fuente: Elaboración Propia

Figura 33. Histograma de intervalos de desviaciones



Fuente: Elaboración Propia

Interpretación: en la figura 33 se muestran los intervalos de desviaciones de los datos obtenidos por la rueda de merlín dando un valor mayor de 44, menor de 20, rango medio de 2 y mayor cantidad de datos en el rango derecho.

$$D = \left(\frac{(d_i - f_i)}{d_i} + d_m + \frac{(d_d - f_d)}{d_d}\right) * 5 [mm]$$

$$D = \left(\frac{(1-6)}{1} + 2 + \frac{(2-(-20))}{19}\right) * 5 [mm]$$

D = 40 mm

Cálculo factor de corrección fc:

Donde:

$$Ep = 6.2$$

$$Li = 25$$

$$Lf = 10$$

$$f_c = \left(\frac{\left(E_p * 10\right)}{\left(L_i - L_f\right) * 5}\right)$$

fc = 0.826666667 mm

Cálculo del rango corregido Dc:

$$D_c = D * fc$$

Dc = 33.06666667 mm

Cálculo del I.R.I.:

Aplicando la fórmula para pavimentos en servicio:

$$I. R. I. = 0.593 + 0.0471 * D_c$$

 $I.R.I.= 2.15 \qquad m/km$

Datos de campo con la Rueda Merlín (Av. De la Integración)

Tabla 95. Datos Obtenidos Rueda de Merlín Av. De la Integración

	1	2	3	4	5
1	23	31	19	36	27
2	27	23	16	15	20
3	17	16	18	25	24
4	32	22	19	26	26
5	22	27	23	26	20
6	15	19	19	27	21
7	19	22	20	28	34
8	19	18	35	26	20
9	25	25	32	26	13
10	13	27	30	28	20
11	16	25	12	29	34
12	16	24	30	24	25
13	18	15	29	24	
14	17	19	21	22	
15	18	21	25	24	
16	13	21	23	23	
17	18	18	23	24	
18	20	22	28	28	
19	22	23	31	29	
20	22	18	20	27	

Fuente: Elaboración Propia

HISTOGRAMA DE DISTRIBUCIÓN DE FRECUENCIAS 8 7 6 **FRECUENCIA** 5 4 3 3 3 2 1 0 000000000 0 $10\,11\,12\,13\,14\,15\,16\,17\,18\,19\,20\,21\,22\,23\,24\,25\,26\,27\,28\,29\,30\,31\,32\,33\,34\,35\,36\,37\,38\,39\,40\,41\,42\,43\,44\,45$ **INTERVALO DE DESVIACIONES**

Figura 34. Histograma de intervalo de desviaciones

Fuente: Elaboración Propia

Interpretación: en la figura 34 se muestran los intervalos de desviaciones de los datos obtenidos por la rueda de merlín dando un valor mayor de 36, menor de 12, rango medio de 4 y mayor cantidad de datos en el rango medio.

$$D = \left(\frac{(d_i - f_i)}{d_i} + d_m + \frac{(d_d - f_d)}{d_d}\right) * 5 [mm]$$

$$D = \left(\frac{(6 - (-42))}{6} + 4 + \frac{(3 - 0)}{3}\right) * 5 [mm]$$

D = 65 mm

Cálculo factor de corrección fc:

Donde:

$$Ep = 6.2$$

$$Li = 25$$

$$Lf = 10$$

$$f_c = \left(\frac{\left(E_p * 10\right)}{\left(L_i - L_f\right) * 5}\right)$$

$$fc = 0.826666667$$
 mm

Cálculo del rango corregido Dc:

$$D_c = D * fc$$

$$Dc = 53.73333333$$
 mm

Cálculo del I.R.I.:

Aplicando la fórmula para pavimentos en servicio:

$$I. R. I. = 0.593 + 0.0471 * D_c$$

I.R.I.= 3.12 m/km

Datos de campo con la Rueda Merlín. Av. Víctor Paz (Aeropuerto)

Tabla 96. Datos Obtenidos Rueda de Merlín Av. Victor Paz (Aeropuerto)

	1	2	3	4	5
1	19	29	42	26	40
2	27	27	26	33	38
3	29	32	25	27	
4	27	18	38	28	
5	26	28	30	27	
6	27	20	27	27	
7	23	29	32	30	
8	30	21	32	33	
9	24	25	31	30	
10	25	35	25	25	
11	29	33	30	31	
12	27	26	25	28	
13	31	23	27	29	
14	23	30	32	22	
15	18	18	27	36	
16	27	29	35	16	
17	21	25	27	21	
18	23	33	34	26	
19	29	23	32	30	
20	28	26	30	31	

Fuente: Elaboración Propia

HISTOGRAMA DE DISTRIBUCIÓN DE FRECUENCIAS 14 12 10 **FRECUENCIA** 8 6 4 0 0 0 0 0 **INTERVALO DE DESVIACIONES**

Figura 35. Histograma de intervalo de desviaciones

Fuente: Elaboración Propia

Interpretación: en la figura 35 se muestran los intervalos de desviaciones de los datos obtenidos por la rueda de merlín dando un valor mayor de 42, menor de 16, rango medio de 4 y mayor cantidad de datos en el rango medio.

$$D = \left(\frac{(d_i - f_i)}{d_i} + d_m + \frac{(d_d - f_d)}{d_d}\right) * 5 [mm]$$

$$D = \left(\frac{(1 - (-5))}{1} + 4 + \frac{(7 - (-19))}{7}\right) * 5 [mm]$$

D = 68.57 mm

Cálculo factor de corrección fc:

Donde:

$$Ep = 6.2$$

$$Li = 25$$

$$Lf = 10$$

$$f_c = \left(\frac{\left(E_p * 10\right)}{\left(L_i - L_f\right) * 5}\right)$$

fc = 0.826666667 mm

Cálculo del rango corregido Dc:

$$D_c = D * fc$$

Dc = 56.68571429 mm

Cálculo del I.R.I.:

Aplicando la fórmula para pavimentos en servicio:

$$I. R. I. = 0.593 + 0.0471 * D_c$$

I.R.I.= 3.26 m/km

Datos de campo con la Rueda Merlín. Av. Fuerza Aérea (Aeropuerto)

Tabla 97. Datos Obtenidos Rueda de Merlín Av. Fuerza Aérea

	1	2	3
1	26	33	13
2	25	27	
3	38	28	
4	30	27	
5	27	27	
6	32	16	
7	32	33	
8	31	30	
9	25	25	
10	30	31	
11	25	28	
12	27	29	
13	32	22	
14	27	36	
15	35	24	
16	24	21	
17	34	26	
18	32	30	
19	30	31	
20	26	29	

Fuente: Elaboración Propia

Figura 36. Histograma de intervalo de desviaciones

Fuente: Elaboración Propia

INTERVALO DE DESVIACIONES

Interpretación: en la figura 36 se muestran los intervalos de desviaciones de los datos obtenidos por la rueda de merlín dando un valor mayor de 38, menor de 13, rango medio de 4 y mayor cantidad de datos en el rango derecho.

$$D = \left(\frac{(d_i - f_i)}{d_i} + d_m + \frac{(d_d - f_d)}{d_d}\right) * 5 [mm]$$

$$D = \left(\frac{(2-6)}{2} + 4 + \frac{(2-(-8))}{2}\right) * 5 [mm]$$

D = 35 mm

Cálculo factor de corrección fc:

Donde:

$$Ep = 6.2$$

$$Li = 25$$

$$f_c = \left(\frac{\left(E_p * 10\right)}{\left(L_i - L_f\right) * 5}\right)$$

fc = 0.826666667 mm

Cálculo del rango corregido Dc:

$$D_c = D * fc$$

Dc = 28.93333333 mm

Cálculo del I.R.I.:

Aplicando la fórmula para pavimentos en servicio:

$$I. R. I. = 0.593 + 0.0471 * D_c$$

I.R.I.= 1.96 m/km

Datos de campo con la Rueda Merlín. Av. H. de la Independencia (Prosalud)

Tabla 98. Datos Obtenidos Rueda de Merlín Av. H. de la Independencia

Tabla 98. Datos Obteniaos Rueda de Menin Av. A. de la maependencia					
	1	2	3		
1	30	29	23		
2	23	27	25		
3	22	27	22		
4	16	20			
5	22	28			
6	26	20			
7	27	17			
8	20	27			
9	26	16			
10	21	25			
11	24	28			
12	30	31			
13	24	23			
14	26	21			
15	31	33			
16	16	26			
17	24	26			
18	36	29			
19	23	16			
20	28	20			

Fuente: Elaboración Propia

Figura 37. Histograma de intervalo de desviaciones

Fuente: Elaboración Propia

101112131415161718192021222324252627282930313233343536373839404142434445
INTERVALO DE DESVIACIONES

Interpretación: en la figura 37 se muestran los intervalos de desviaciones de los datos obtenidos por la rueda de merlín dando un valor mayor de 36, menor de 16, rango medio de 4 y mayor cantidad de datos en el rango medio.

$$D = \left(\frac{(d_i - f_i)}{d_i} + d_m + \frac{(d_d - f_d)}{d_d}\right) * 5 [mm]$$

$$D = \left(\frac{(3 - (-8))}{3} + 4 + \frac{(2 - 4)}{2}\right) * 5 [mm]$$

D = 33.33 mm

Cálculo factor de corrección fc:

Donde:

$$Ep = 6.2$$

$$Li = 25$$

$$Lf = 10$$

$$f_c = \left(\frac{\left(E_p * 10\right)}{\left(L_i - L_f\right) * 5}\right)$$

fc = 0.826666667 mm

Cálculo del rango corregido Dc:

$$D_c = D * fc$$

Dc = 27.5555556 mm

Cálculo del I.R.I.:

Aplicando la fórmula para pavimentos en servicio:

$$I. R. I. = 0.593 + 0.0471 * D_c$$

I.R.I.= 1.89 m/km

Datos de campo con la Rueda Merlín. Av. Noelia Martínez (Prosalud)

Tabla 99. Datos Obtenidos Rueda de Merlín Av. Noelia Martínez

Tabia 99. Datos Obteniaos Rueda de Menin Av. Noena Martinez					
	1	2	3		
1	50	29	32		
2	42	38	31		
3	20	24	35		
4	25	45			
5	30	21			
6	41	38			
7	43	32			
8	31	27			
9	17	38			
10	34	13			
11	50	8			
12	32	35			
13	3	33			
14	50	32			
15	39	41			
16	28	39			
17	19	34			
18	50	35			
19	12	28			
20	35	39			

Fuente: Elaboración Propia

HISTOGRAMA DE DISTRIBUCIÓN DE FRECUENCIAS

4.5
4
3.5
2
1.5
1
0.5
0
101112131415161718192021222324252627282930313233343536373839404142434445

INTERVALO DE DESVIACIONES

Figura 38. Histograma de intervalo de desviaciones

Fuente: Elaboración Propia

Interpretación: en la figura 38 se muestran los intervalos de desviaciones de los datos obtenidos por la rueda de merlín dando un valor mayor de 45, menor de 12, rango medio de 3 y mayor cantidad de datos en el rango derecho.

$$D = \left(\frac{(d_i - f_i)}{d_i} + d_m + \frac{(d_d - f_d)}{d_d}\right) * 5 [mm]$$

$$D = \left(\frac{(1-4)}{1} + 3 + \frac{(1-(-15))}{1}\right) * 5 [mm]$$

D = 80 mm

Cálculo factor de corrección fc:

Donde:

$$Ep = 6.2$$

$$Li = 25$$

$$Lf = 10$$

$$f_c = \left(\frac{\left(E_p * 10\right)}{\left(L_i - L_f\right) * 5}\right)$$

fc = 0.826666667 mm

Cálculo del rango corregido Dc:

$$D_c = D * fc$$

Dc = 66.13333333 mm

Cálculo del I.R.I.:

Aplicando la fórmula para pavimentos en servicio:

$$I. R. I. = 0.593 + 0.0471 * D_c$$

 $I.R.I.=3.71 \quad m/km$

Datos de campo con la Rueda Merlín. Av. Potosí (Hospital Obrero)

Tabla 100. Datos Obtenidos Rueda de Merlín Av. Potosí

Tubia 100. Datos Obtelliaos Raeda de Merilli Av. Potosi						
	1	2	3	4	5	
1	22	25	21	14	14	
2	24	30	26	14	12	
3	24	28	26	13	15	
4	25	28	24	13	20	
5	27	30	29	13	16	
6	27	27	24	11	24	
7	28	26	23	14	11	
8	25	29	25	11	14	
9	23	23	12	16	12	
10	28	28	14	12	13	
11	29	32	16	12	17	
12	21	26	14	10	13	
13	25	26	13	18	17	
14	32	24	16	13	12	
15	27	26	13	10	11	
16	24	25	15	12	11	
17	29	29	13	12		
18	27	28	16	14		
19	26	24	17	15	<u> </u>	
20	26	26	11	15		

Fuente: Elaboración Propia

HISTOGRAMA DE DISTRIBUCIÓN DE FRECUENCIAS 10 9 8 8 8 **FRECUENCIA** 6 5 4 3 2 1 0 0 0 0 0 0 0 0 0 0 0 0 $10\,11\,12\,13\,14\,15\,16\,17\,18\,19\,20\,21\,22\,23\,24\,25\,26\,27\,28\,29\,30\,31\,32\,33\,34\,35\,36\,37\,38\,39\,40\,41\,42\,43\,44\,45$ **INTERVALO DE DESVIACIONES**

Figura 39. Histograma de intervalo de desviaciones

Fuente: Elaboración Propia

Interpretación: en la figura 39 se muestran los intervalos de desviaciones de los datos obtenidos por la rueda de merlín dando un valor mayor de 32, menor de 10, rango medio de 4 y mayor cantidad de datos en el rango izquierdo.

$$D = \left(\frac{(d_i - f_i)}{d_i} + d_m + \frac{(d_d - f_d)}{d_d}\right) * 5 [mm]$$

$$D = \left(\frac{(8 - (-43))}{8} + 4 + \frac{(5 - 6)}{5}\right) * 5 [mm]$$

D = 50.88 mm

Cálculo factor de corrección fc:

Donde:

$$Ep = 6.2$$

$$Li = 25$$

$$Lf = 10$$

$$f_c = \left(\frac{\left(E_p * 10\right)}{\left(L_i - L_f\right) * 5}\right)$$

$$fc = 0.826666667$$
 mm

Cálculo del rango corregido Dc:

$$D_c = D * fc$$

$$Dc = 42.05666667 \text{ mm}$$

Cálculo del I.R.I.:

Aplicando la fórmula para pavimentos en servicio:

$$I. R. I. = 0.593 + 0.0471 * D_c$$

 $I.R.I.= 2.57 \quad m/km$

Datos de campo con la Rueda Merlín. Calle Membrillos (Hospital Obrero)

Tabla 101. Datos Obtenidos Rueda de Merlín Calle Membrillos

	1	2	3	4	5
1	29	23	21	27	23
2	28	23	23	20	22
3	29	25	26	22	24
4	16	24	22	24	18
5	29	21	24	21	26
6	25	21	20	20	20
7	24	26	18	19	20
8	17	22	23	20	28
9	22	32	20	22	25
10	21	24	24	26	
11	24	23	21	22	
12	24	21	17	29	
13	25	21	23	23	
14	19	20	31	13	
15	22	46	21	21	
16	25	24	20	21	
17	23	25	20	20	
18	15	24	22	22	
19	25	22	21	19	
20	26	21	20	23	

Fuente: Elaboración Propia

HISTOGRAMA DE DISTRIBUCIÓN DE FRECUENCIAS 14 12 12 11 11 10 10 **FRECUENCIA** 8 6 4 2 0 18192021222324252627282930313233343536373839404142434445 **INTERVALO DE DESVIACIONES**

Figura 40. Histograma de intervalo de desviaciones

Fuente: Elaboración Propia

Interpretación: en la figura 40 se muestran los intervalos de desviaciones de los datos obtenidos por la rueda de merlín dando un valor mayor de 32, menor de 13, rango medio de 4 y mayor cantidad de datos en el rango izquierdo.

Cálculo de Rango D

$$D = \left(\frac{(d_i - f_i)}{d_i} + d_m + \frac{(d_d - f_d)}{d_d}\right) * 5 [mm]$$

$$D = \left(\frac{(11 - (-43))}{11} + 4 + \frac{(4 - 8)}{4}\right) * 5 [mm]$$

D = 41.36 mm

Cálculo factor de corrección fc:

Donde:

$$Ep = 6.2$$

$$Li = 25$$

$$Lf = 10$$

$$f_c = \left(\frac{\left(E_p * 10\right)}{\left(L_i - L_f\right) * 5}\right)$$

$$fc = 0.826666667$$
 mm

Cálculo del rango corregido Dc:

$$D_c = D * fc$$

$$Dc = 34.19393939 \text{ mm}$$

Cálculo del I.R.I.:

Aplicando la fórmula para pavimentos en servicio:

$$I. R. I. = 0.593 + 0.0471 * D_c$$

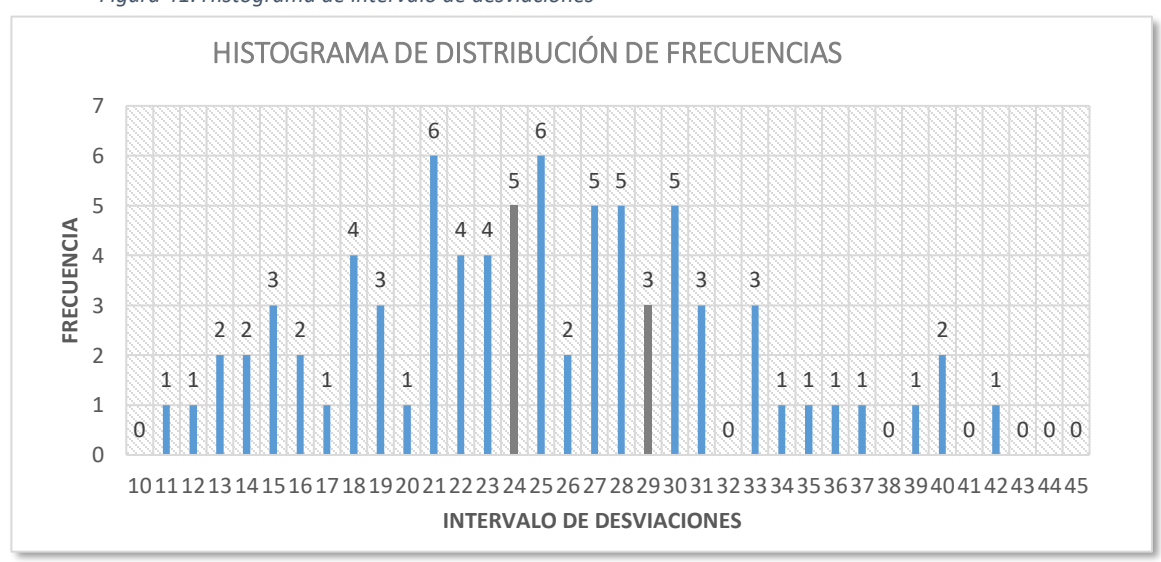
 $I.R.I.= 2.20 \quad m/km$

Datos de campo con la Rueda Merlín. Calle Torrecillas (Terminal)

Tabla 102. Datos Obtenidos Rueda de Merlín Calle Torrecillas

	1	2	3	4
1	28	13	29	15
2	27	24	30	18
3	13	21	21	37
4	25	27	33	30
5	22	19	28	23
6	22	14	21	42
7	18	31	25	21
8	25	20	34	24
9	19	15	23	29
10	31	25	27	28
11	11	14	23	16
12	18	19	22	28
13	28	16	33	27
14	15	22	40	25
15	17	26	31	29
16	27	25	30	33
17	12	24	26	21
18	30	21	36	40
19	24	39	23	30
20	18	24	35	

Figura 41. Histograma de intervalo de desviaciones



Fuente: Elaboración Propia

Interpretación: en la figura 41 se muestran los intervalos de desviaciones de los datos obtenidos por la rueda de merlín dando un valor mayor de 42, menor de 11, rango medio de 4 y mayor cantidad de datos en el rango izquierdo.

Cálculo de Rango D

$$D = \left(\frac{(d_i - f_i)}{d_i} + d_m + \frac{(d_d - f_d)}{d_d}\right) * 5 [mm]_{106}$$

$$D = \left(\frac{(5 - (-24))}{5} + 4 + \frac{(3 - (-9))}{3}\right) * 5 [mm]$$

D = 69 mm

Cálculo factor de corrección fc:

Donde:

Ep = 6.2

Li = 25

Lf = 10

$$f_c = \left(\frac{\left(E_p * 10\right)}{\left(L_i - L_f\right) * 5}\right)$$

$$fc = 0.826666667$$
 mm

Cálculo del rango corregido Dc:

$$D_c = D * fc$$

$$Dc = 57.04$$
 mm

Cálculo del I.R.I.:

Aplicando la fórmula para pavimentos en servicio:

$$I. R. I. = 0.593 + 0.0471 * D_c$$

 $I.R.I.=3.28 \quad m/km$

Datos de campo con la Rueda Merlín. Calle 29 de junio (Epi Moto Méndez)

Tabla 103. Datos Obtenidos Rueda de Merlín Calle 29 de junio

	1	2	3
1	20	26	18
2	25	31	
3	20	29	
4	25	21	
5	32	23	
6	23	23	
7	23	22	
8	23	18	
9	21	25	
10	32	31	
11	24	32	
12	26	23	
13	26	20	
14	21	21	
15	20	23	
16	16	38	
17	23	25	
18	16	25	
19	13	22	
20	18	34	

HISTOGRAMA DE DISTRIBUCIÓN DE FRECUENCIAS 9 8 7 6 **FRECUENCIA** 5 4 4 4 3 3 2 1 0 0 0 0 0 0 0 0 0 0 0 0 0 0 $10\,11\,12\,13\,14\,15\,16\,17\,18\,19\,20\,21\,22\,23\,24\,25\,26\,27\,28\,29\,30\,31\,32\,33\,34\,35\,36\,37\,38\,39\,40\,41\,42\,43\,44\,45$ **INTERVALO DE DESVIACIONES**

Figura 42. Histograma de intervalo de desviaciones

Fuente: Elaboración Propia

Interpretación: en la figura 42 se muestran los intervalos de desviaciones de los datos obtenidos por la rueda de merlín dando un valor mayor de 38, menor de 13, rango medio de 2 y mayor cantidad de datos en el rango izquierdo.

$$D = \left(\frac{(d_i - f_i)}{d_i} + d_m + \frac{(d_d - f_d)}{d_d}\right) * 5 [mm]$$

$$D = \left(\frac{(1 - (-14))}{1} + 2 + \frac{(1 - 3)}{1}\right) * 5 [mm]$$

D = 65 mm

Cálculo factor de corrección fc:

Donde:

$$Ep = 6.2$$

$$Li = 25$$

$$Lf = 10$$

$$f_c = \left(\frac{\left(E_p * 10\right)}{\left(L_i - L_f\right) * 5}\right)$$

$$fc = 0.826666667$$
 mm

Cálculo del rango corregido Dc:

$$D_c = D * fc$$

$$Dc = 62$$
 mm

Cálculo del I.R.I.:

Aplicando la fórmula para pavimentos en servicio:

$$I. R. I. = 0.593 + 0.0471 * D_c$$

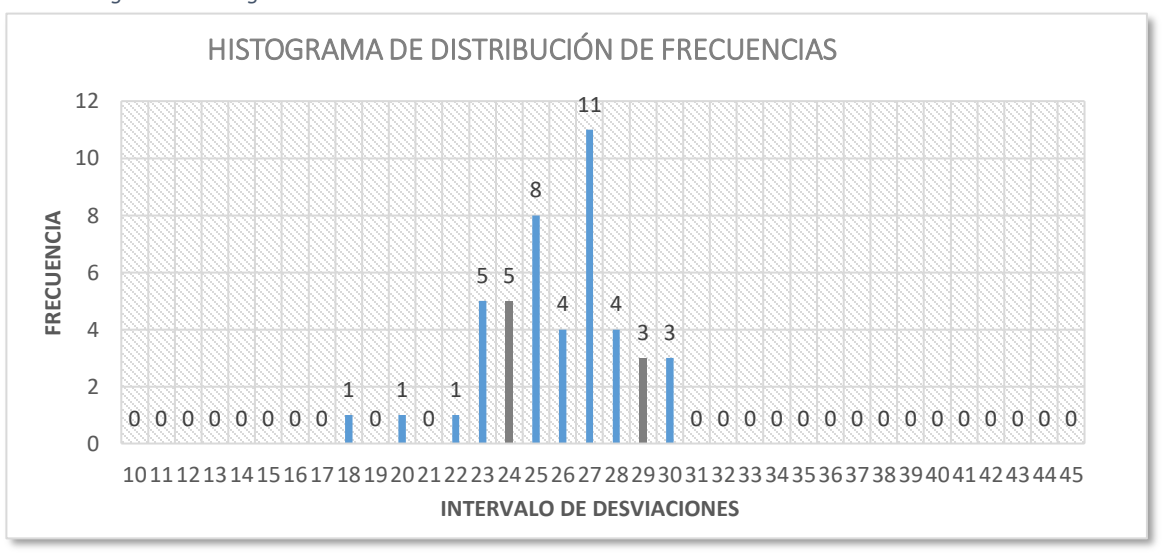
 $I.R.I.=3.51 \quad m/km$

Datos de campo con la Rueda Merlín. Av. Víctor Paz (Bomberos)

Tabla 104. Datos Obtenidos Rueda de Merlín Av. Victor Paz (Bomberos)

	1	2	3
1	24	28	27
2	25	26	23
3	24	23	24
4	27	28	25
5	24	23	18
6	25	25	28
7	30	26	
8	27	27	
9	23	27	
10	25	27	
11	23	25	
12	29	27	
13	20	30	
14	27	28	
15	22	26	
16	24	27	
17	25	29	
18	26	25	
19	30	27	
20	29	27	

Figura 43. Histograma de intervalo de desviaciones



Fuente: Elaboración Propia

Interpretación: en la figura 43 se muestran los intervalos de desviaciones de los datos obtenidos por la rueda de merlín dando un valor mayor de 30, menor de 18, rango medio de 4 y mayor cantidad de datos en el rango medio.

$$D = \left(\frac{(d_i - f_i)}{d_i} + d_m + \frac{(d_d - f_d)}{d_d}\right) * 5 [mm]$$
110

$$D = \left(\frac{(5-2)}{5} + 4 + \frac{(3-7)}{3}\right) * 5 [mm]$$

D = 16.33 mm

Cálculo factor de corrección fc:

Donde:

Ep = 6.2

Li = 25

Lf = 10

$$f_c = \left(\frac{\left(E_p * 10\right)}{\left(L_i - L_f\right) * 5}\right)$$

$$fc = 0.826666667$$
 mm

Cálculo del rango corregido Dc:

$$D_c = D * fc$$

$$Dc = 13.50222222$$
 mm

Cálculo del I.R.I.:

Aplicando la fórmula para pavimentos en servicio:

$$I. R. I. = 0,593 + 0,0471 * D_c$$

 $I.R.I.= 1.23 \quad m/km$

Datos de campo con la Rueda Merlín. Av. Víctor Paz (Comando)

Tabla 105. Datos Obtenidos Rueda de Merlín Av. Victor Paz (Comando)

	1	2
1	26	20
2	18	17
3	17	33
4	22	17
5	22	21
6	24	16
7	24	20
8	16	21
9	16	14
10	10	19
11	29	18
12	13	20
13	15	15
14	19	22
15	17	19
16	22	16
17	19	14
18	20	21
19	29	22
20	21	31

Figura 44. Histograma de intervalo de desviaciones

Fuente: Elaboración Propia

Interpretación: en la figura 44 se muestran los intervalos de desviaciones de los datos obtenidos por la rueda de merlín dando un valor mayor de 30, menor de 18, rango medio de 4 y mayor cantidad de datos en el rango medio.

$$D = \left(\frac{(d_i - f_i)}{d_i} + d_m + \frac{(d_d - f_d)}{d_d}\right) * 5 [mm]$$

$$D = \left(\frac{(2 - (-25))}{2} + 1 + \frac{(2 - 8)}{2}\right) * 5 [mm]$$

D = 57.5 mm

Cálculo factor de corrección fc:

Donde:

Ep = 6.2

Li = 25

Lf = 10

$$f_c = \left(\frac{\left(E_p * 10\right)}{\left(L_i - L_f\right) * 5}\right)$$

fc = 0.826666667 mm

Cálculo del rango corregido Dc:

$$D_c = D * fc$$

Dc = 47.53333333 mm

Cálculo del I.R.I.:

Aplicando la fórmula para pavimentos en servicio:

$$I. R. I. = 0,593 + 0,0471 * D_c$$

I.R.I.= 2.83 m/km

Datos de campo con la Rueda Merlín. Calle Ballivián (Comando)

Tabla 106. Datos Obtenidos Rueda de Merlín Calle Ballivián

1 2

1	31	30
2	30	32
3	28	33
4	28	23
5	33	39
6	35	34
7	33	32
8	43	29
9	35	35
10	36	31
11	32	28
12	32	39
13	31	23
14	31	24
15	30	33
16	31	30
17	41	33
18	33	33
19	32	29
20	34	38

Figura 45. Histograma de intervalo de desviaciones

Fuente: Elaboración Propia

Interpretación: en la figura 45 se muestran los intervalos de desviaciones de los datos obtenidos por la rueda de merlín dando un valor mayor de 43, menor de 23, rango medio de 1 y mayor cantidad de datos en el rango derecho.

$$D = \left(\frac{(d_i - f_i)}{d_i} + d_m + \frac{(d_d - f_d)}{d_d}\right) * 5 [mm]$$

$$D = \left(\frac{(1-8)}{1} + 1 + \frac{(2-(-22))}{2}\right) * 5 [mm]$$

D = 30 mm

Cálculo factor de corrección fc:

Donde:

$$Ep = 6.2$$

$$Li = 25$$

$$Lf = 10$$

$$f_c = \left(\frac{\left(E_p * 10\right)}{\left(L_i - L_f\right) * 5}\right)$$

fc = 0.826666667 mm

Cálculo del rango corregido Dc:

$$D_c = D * fc$$

Dc = 24.8 mm

Cálculo del I.R.I.:

Aplicando la fórmula para pavimentos en servicio:

 $I. R. I. = 0.593 + 0.0471 * D_c$

I.R.I.= 1.76 m/km

Datos de campo con la Rueda Merlín. Av. Víctor Paz (Epi Morros Blancos)

Tabla 107. Datos Obtenidos Rueda de Merlín Av. Victor Paz (Epi Morros Blancos)

	1	2	3
1	13	27	23
2	16	18	23
3	21	22	22
4	18	23	26
5	19	23	29
6	18	20	29
7	19	16	21
8	14	22	25
9	21	24	
10	20	22	
11	27	24	
12	21	22	
13	26	24	
14	22	23	
15	29	31	
16	21	21	
17	25	24	
18	25	22	
19	13	24	
20	23	22	

HISTOGRAMA DE DISTRIBUCIÓN DE FRECUENCIAS

9
8
7
6
6
9
3
2
2
1
0
0
101112131415161718192021222324252627282930313233343536373839404142434445
INTERVALO DE DESVIACIONES

Figura 46. Histograma de intervalo de desviaciones

Fuente: Elaboración Propia

Interpretación: en la figura 46 se muestran los intervalos de desviaciones de los datos obtenidos por la rueda de merlín dando un valor mayor de 31, menor de 13, rango medio de 3 y mayor cantidad de datos en el rango izquierdo.

$$D = \left(\frac{(d_i - f_i)}{d_i} + d_m + \frac{(d_d - f_d)}{d_d}\right) * 5 [mm]_{116}$$

$$D = \left(\frac{(5 - (-22))}{5} + 3 + \frac{(3 - 9)}{3}\right) * 5 [mm]$$

D = 32 mm

Cálculo factor de corrección fc:

Donde:

Ep = 6.2

Li = 25

Lf = 10

$$f_c = \left(\frac{\left(E_p * 10\right)}{\left(L_i - L_f\right) * 5}\right)$$

$$fc = 0.826666667$$
 mm

Cálculo del rango corregido Dc:

$$D_c = D * fc$$

$$Dc = 26.45333333$$
 mm

Cálculo del I.R.I.:

Aplicando la fórmula para pavimentos en servicio:

$$I. R. I. = 0.593 + 0.0471 * D_c$$

I.R.I.= 1.84 m/km

Datos de campo con la Rueda Merlín. Av. Panamericana (Mercado Campesino)

Tabla 108. Datos Obtenidos Rueda de Merlín Av. Panamericana

	1	2
1	41	35
2	29	36
3	39	40
4	40	30
5	19	45
6	23	20
7	20	21
8	27	39
9	36	19
10	33	24
11	39	24
12	35	37
13	36	42
14	38	37
15	21	22
16	23	19
17	34	33
18	31	24
19	40	32
20	38	37

Figura 47. Histograma de intervalo de desviaciones

Fuente: Elaboración Propia

Interpretación: en la figura 47 se muestran los intervalos de desviaciones de los datos obtenidos por la rueda de merlín dando un valor mayor de 45, menor de 19, rango medio de 1 y mayor cantidad de datos en el rango derecho.

Cálculo de Rango D

$$D = \left(\frac{(d_i - f_i)}{d_i} + d_m + \frac{(d_d - f_d)}{d_d}\right) * 5 [mm]$$

$$D = \left(\frac{(3 - 0)}{3} + 1 + \frac{(1 - (-15))}{1}\right) * 5 [mm]$$

D = 90 mm

Cálculo factor de corrección fc:

Donde:

$$Ep = 6.2$$

$$Li = 25$$

$$Lf = 10$$

$$f_c = \left(\frac{\left(E_p * 10\right)}{\left(L_i - L_f\right) * 5}\right)$$

$$fc = 0.826666667$$
 mm

Cálculo del rango corregido Dc:

$$D_c = D * fc$$

$$Dc = 74.4$$
 mm

Cálculo del I.R.I.:

Aplicando la fórmula para pavimentos en servicio:

$$I. R. I. = 0,593 + 0,0471 * D_c$$

I.R.I.= 4.10 m/km

Datos de campo con la Rueda Merlín. Calle Cochabamba (Mercado Campesino)

Tabla 109. Datos Obtenidos Rueda de Merlín Calle Cochabamba

	1	2	3	4
1	25	17	22	30
2	24	18	17	27
3	19	21	22	27
4	13	2	26	30
5	15	14	30	31
6	23	21	33	29
7	21	23	25	30
8	10	19	25	30
9	4	10	32	26
10	9	16	19	30
11	16	18	29	26
12	47	18	26	29
13	21	17	31	33
14	22	15	35	26
15	20	18	36	29
16	14	14	27	25
17	18	15	27	21
18	15	15	29	28
19	20	22	28	19
20	21	20	28	29

HISTOGRAMA DE DISTRIBUCIÓN DE FRECUENCIAS

7
6
5
5
1
4
3
3
2
2
1
1
0
101112131415161718192021222324252627282930313233343536373839404142434445
INTERVALO DE DESVIACIONES

Figura 48. Histograma de intervalo de desviaciones

Fuente: Elaboración Propia

Interpretación: en la figura 48 se muestran los intervalos de desviaciones de los datos obtenidos por la rueda de merlín dando un valor mayor de 36, menor de 10, rango medio de 4 y mayor cantidad de datos en el rango izquierdo.

$$D = \left(\frac{(d_i - f_i)}{d_i} + d_m + \frac{(d_d - f_d)}{d_d}\right) * 5 [mm]$$

$$D = \left(\frac{(2 - (-30))}{2} + 4 + \frac{(6 - (-4))}{6}\right) * 5 [mm]$$

D = 108.33 mm

Cálculo factor de corrección fc:

Donde:

$$Ep = 6.2$$

$$Li = 25$$

$$Lf = 10$$

$$f_c = \left(\frac{\left(E_p * 10\right)}{\left(L_i - L_f\right) * 5}\right)$$

fc = 0.826666667 mm

Cálculo del rango corregido Dc:

$$D_c = D * fc$$

$$Dc = 89.5555556$$
 mm

Cálculo del I.R.I.:

Aplicando la fórmula para pavimentos en servicio:

$$I. R. I. = 0.593 + 0.0471 * D_c$$

 $I.R.I.=4.81 \quad m/km$

Datos de campo con la Rueda Merlín. Av. Víctor Paz (Setar)

Tabla 110. Datos Obtenidos Rueda de Merlín Av. Victor Paz (Setar)

Tubia 110. Datos Obteniaos Rueda de Menin Av. Victor Paz (Setar)				
	1	2		

1	21	27
2	23	24
3	27	25
4	25	25
5	24	23
6	24	30
7	21	26
8	26	25
9	25	26
10	27	23
11	24	28
12	21	22
13	26	25
14	29	26
15	21	27
16	24	27
17	29	22
18	24	29
19	25	23
20	24	31

HISTOGRAMA DE DISTRIBUCIÓN DE FRECUENCIAS 8 7 7 7 6 5 5 FRECUENCIA 5 4 3 3 2 0 **INTERVALO DE DESVIACIONES**

Figura 49. Histograma de intervalo de desviaciones

Fuente: Elaboración Propia

Interpretación: en la figura 49 se muestran los intervalos de desviaciones de los datos obtenidos por la rueda de merlín dando un valor mayor de 31, menor de 21, rango medio de 4 y mayor cantidad de datos en el rango izquierdo.

$$D = \left(\frac{(d_i - f_i)}{d_i} + d_m + \frac{(d_d - f_d)}{d_d}\right) * 5 [mm]$$

$$D = \left(\frac{(8 - 0)}{8} + 4 + \frac{(3 - 8)}{3}\right) * 5 [mm]$$

D = 16.67 mm

Cálculo factor de corrección fc:

Donde:

$$Ep = 6.2$$

$$Li = 25$$

$$Lf = 10$$

$$f_c = \left(\frac{\left(E_p * 10\right)}{\left(L_i - L_f\right) * 5}\right)$$

fc = 0.826666667 mm

Cálculo del rango corregido Dc:

$$D_c = D * fc$$

Dc = 13.77777778 mm

Cálculo del I.R.I.:

Aplicando la fórmula para pavimentos en servicio:

$$I. R. I. = 0.593 + 0.0471 * D_c$$

I.R.I.= 1.24 m/km

Datos de campo con la Rueda Merlín. Ruta San Jacinto (Setar Tablada)

Tabla 111. Datos Obtenidos Rueda de Merlín Ruta San Jacinto

Tabia 111. Datos Obteniaos Rueda de Merlin Ruta San Jacinto				
	1	2	3	

1	16	12	27
2	20	17	32
3	16	17	25
4	24	16	18
5	16	15	18
6	17	19	29
7	18	23	24
8	15	21	18
9	23	20	23
10	17	15	10
11	24	22	
12	16	15	
13	11	18	
14	17	26	
15	21	16	
16	31	15	
17	25	17	
18	11	17	
19	16	20	
20	15	19	

Figura 50. Histograma de intervalo de desviaciones

Fuente: Elaboración Propia

Interpretación: en la figura 50 se muestran los intervalos de desviaciones de los datos obtenidos por la rueda de merlín dando un valor mayor de 32, menor de 10, rango medio de 3 y mayor cantidad de datos en el rango izquierdo.

$$D = \left(\frac{(d_i - f_i)}{d_i} + d_m + \frac{(d_d - f_d)}{d_d}\right) * 5 [mm]$$

$$D = \left(\frac{(3 - (-29)}{3} + 3 + \frac{(1 - 8)}{1}\right) * 5 [mm]$$

D = 33.33 mm

Cálculo factor de corrección fc:

Donde:

$$Ep = 6.2$$

$$Li = 25$$

$$Lf = 10$$

$$f_c = \left(\frac{\left(E_p * 10\right)}{\left(L_i - L_f\right) * 5}\right)$$

fc = 0.826666667 mm

Cálculo del rango corregido Dc:

$$D_c = D * fc$$

$$Dc = 27.5555556$$
 mm

Cálculo del I.R.I.:

Aplicando la fórmula para pavimentos en servicio:

$$I. R. I. = 0,593 + 0,0471 * D_c$$

 $I.R.I.= 1.89 \quad m/km$

Datos de campo con la Rueda Merlín. Calle 2 (Setar Tablada)

Tabla 112. Datos Obtenidos Rueda de Merlín Calle 2 (Setar Tablada)

1	2	2
1	<u> </u>	3

1	41	18	37
2	24	43	37
3	33	43	40
4	40	31	20
5	41	29	39
6	25	40	38
7	36	29	24
8	45	34	36
9	41	35	41
10	38	37	35
11	37	38	
12	33	38	
13	24	36	
14	40	39	
15	42	22	
16	34	33	
17	38	43	
18	25	35	
19	39	38	
20	29	41	

HISTOGRAMA DE DISTRIBUCIÓN DE FRECUENCIAS **FRECUENCIA** 0 0 0 0 0 0 0 0 **INTERVALO DE DESVIACIONES**

Figura 51. Histograma de intervalo de desviaciones

Fuente: Elaboración Propia

Interpretación: en la figura 51 se muestran los intervalos de desviaciones de los datos obtenidos por la rueda de merlín dando un valor mayor de 45, menor de 18, rango medio de 1 y mayor cantidad de datos en el rango derecho.

$$D = \left(\frac{(d_i - f_i)}{d_i} + d_m + \frac{(d_d - f_d)}{d_d}\right) * 5 [mm]$$

$$D = \left(\frac{(3 - 7)}{3} + 1 + \frac{(3 - (-29))}{3}\right) * 5 [mm]$$

D = 51.67 mm

Cálculo factor de corrección fc:

Donde:

$$Ep = 6.2$$

$$Li = 25$$

$$Lf = 10$$

$$f_c = \left(\frac{\left(E_p * 10\right)}{\left(L_i - L_f\right) * 5}\right)$$

fc = 0.826666667 mm

Cálculo del rango corregido Dc:

$$D_c = D * fc$$

$$Dc = 42.71111111$$
 mm

Cálculo del I.R.I.:

Aplicando la fórmula para pavimentos en servicio:

$$I. R. I. = 0.593 + 0.0471 * D_c$$

 $I.R.I.= 2.60 \quad m/km$

Datos de campo con la Rueda Merlín. Calle Gral. de Santa Cruz (H. San Juan de Dios)

Tabla 113. Datos Obtenidos Rueda de Merlín Calle Santa Cruz

Tubia 113. Datos Obterilaos kaeda de Merilii Calle Santa Craz						
	1	2				

1	17	18
2	17	15
3	31	13
4	12	17
5	11	31
6	18	29
7	11	20
8	20	23
9	18	10
10	13	19
11	15	26
12	33	16
13	29	29
14	18	32
15	19	29
16	6	20
17	14	29
18	15	31
19	24	30
20	16	13

Figura 52. Histograma de intervalo de desviaciones

Fuente: Elaboración Propia

Interpretación: en la figura 52 se muestran los intervalos de desviaciones de los datos obtenidos por la rueda de merlín dando un valor mayor de 33, menor de 10, rango medio de 1 y mayor cantidad de datos en el rango izquierdo.

$$D = \left(\frac{(d_i - f_i)}{d_i} + d_m + \frac{(d_d - f_d)}{d_d}\right) * 5 [mm]$$

$$D = \left(\frac{(1 - (-16))}{1} + 4 + \frac{(5 - 4)}{5}\right) * 5 [mm]$$

 $D = 106 \, \text{mm}$

Cálculo factor de corrección fc:

Donde:

$$Ep = 6.2$$

$$Li = 25$$

$$Lf = 10$$

$$f_c = \left(\frac{\left(E_p * 10\right)}{\left(L_i - L_f\right) * 5}\right)$$

fc = 0.826666667 mm

Cálculo del rango corregido Dc:

$$D_c = D * fc$$

$$Dc = 87.62666667 \text{ mm}$$

Cálculo del I.R.I.:

Aplicando la fórmula para pavimentos en servicio:

$$I. R. I. = 0.593 + 0.0471 * D_c$$

 $I.R.I.=4.72 \quad m/km$

Datos de campo con la Rueda Merlín. Calle 14 de junio (H. San Juan de Dios)

Tabla 114. Datos Obtenidos Rueda de Merlín Calle 14 de junio

TUDIU	rabia 114. Datos Obtenidos Raeda de Merlin Calle 14 de Julio						
	1	2	3	4	5		

1	13	28	32	29	29
2	14	30	33	28	
3	23	30	31	32	
4	44	30	29	29	
5	25	28	27	32	
6	24	22	32	2	
7	31	22	27	30	
8	27	12	33	25	
9	40	35	32	27	
10	27	26	29	26	
11	30	41	26	33	
12	21	22	25	30	
13	27	24	38	29	
14	24	30	33	33	
15	29	39	29	31	
16	28	32	31	29	
17	24	34	31	30	
18	30	25	33	31	
19	26	27	30	21	
20	36	26	29	23	

Figura 53. Histograma de intervalo de desviaciones

Fuente: Elaboración Propia

Interpretación: en la figura 53 se muestran los intervalos de desviaciones de los datos obtenidos por la rueda de merlín dando un valor mayor de 44, menor de 12, rango medio de 4 y mayor cantidad de datos en el rango medio.

$$D = \left(\frac{(d_i - f_i)}{d_i} + d_m + \frac{(d_d - f_d)}{d_d}\right) * 5 [mm]$$

$$D = \left(\frac{(4-0)}{4} + 4 + \frac{(10-(-26))}{10}\right) * 5 [mm]$$

D = 43 mm

Cálculo factor de corrección fc:

Donde:

$$Ep = 6.2$$

$$Li = 25$$

Lf = 10

$$f_c = \left(\frac{\left(E_p * 10\right)}{\left(L_i - L_f\right) * 5}\right)$$

fc = 0.826666667 mm

Cálculo del rango corregido Dc:

$$D_c = D * fc$$

$$Dc = 35.54666667$$
 mm

Cálculo del I.R.I.:

Aplicando la fórmula para pavimentos en servicio:

$$I. R. I. = 0.593 + 0.0471 * D_c$$

I.R.I.= 2.27 m/km

Datos de campo con la Rueda Merlín. Av. Víctor Paz (UAJMS)

Tabla 115. Datos Obtenidos Rueda de Merlín Av. Victor Paz (UAJMS)

Tubia 115. Datos Obtenidos Nacida de Menin Av. Victor Laz (OASMS)						
	1	2				

1	27	23
2	33	15
3	31	26
4	31	30
5	19	26
6	32	26
7	30	17
8	23	32
9	41	27
10	10	29
11	38	22
12	17	28
13	29	29
14	24	21
15	20	30
16	18	25
17	39	21
18	26	30
19	29	18
20	21	40

HISTOGRAMA DE DISTRIBUCIÓN DE FRECUENCIAS 4.5 4 3.5 3 3 FRECUENCIA 2.5 2 2 2 2 2 1.5 1 1 1 1 1 0.5 0 **INTERVALO DE DESVIACIONES**

Figura 54. Histograma de intervalo de desviaciones

Fuente: Elaboración Propia

Interpretación: en la figura 54 se muestran los intervalos de desviaciones de los datos obtenidos por la rueda de merlín dando un valor mayor de 41, menor de 10, rango medio de 4 y mayor cantidad de datos en el rango izquierdo.

$$D = \left(\frac{(d_i - f_i)}{d_i} + d_m + \frac{(d_d - f_d)}{d_d}\right) * 5 [mm]$$

$$D = \left(\frac{(1 - (-4))}{1} + 4 + \frac{(4 - (-3))}{4}\right) * 5 [mm]$$

D = 53.75 mm

Cálculo factor de corrección fc:

Donde:

$$Ep = 6.2$$

$$Li = 25$$

$$Lf = 10$$

$$f_c = \left(\frac{\left(E_p * 10\right)}{\left(L_i - L_f\right) * 5}\right)$$

fc = 0.826666667 mm

Cálculo del rango corregido Dc:

$$D_c = D * fc$$

Dc = 44.43333333 mm

Cálculo del I.R.I.:

Aplicando la fórmula para pavimentos en servicio:

I. R. I. =
$$0.593 + 0.0471 * D_c$$

I.R.I.= 2.69 m/km

Datos de campo con la Rueda Merlín. Calle España (UAJMS)

Tabla 116. Datos Obtenidos Rueda de Merlín Calle España

	1	2
1	34	26
2	26	24
3	25	27
4	32	24
5	23	22
6	25	31
7	29	25
8	29	23
9	37	40
10	26	32
11	42	31
12	39	31
13	37	36
14	21	35
15	39	38
16	27	20
17	19	26
18	28	30
19	50	24
20	23	29

Fuente: Elaboración Propia

HISTOGRAMA DE DISTRIBUCIÓN DE FRECUENCIAS 4.5 4 3.5 3 3 3 3 3 FRECUENCIA 2.5 2 1.5 1 0.5 0000000 0 101112131415161718192021 **INTERVALO DE DESVIACIONES**

Figura 55. Histograma de intervalo de desviaciones

Fuente: Elaboración Propia

Interpretación: en la figura 55 se muestran los intervalos de desviaciones de los datos obtenidos por la rueda de merlín dando un valor mayor de 42, menor de 19, rango medio de 4 y mayor cantidad de datos en el rango derecho.

Cálculo de Rango D

$$D = \left(\frac{(d_i - f_i)}{d_i} + d_m + \frac{(d_d - f_d)}{d_d}\right) * 5 [mm]$$

$$D = \left(\frac{(3-3)}{3} + 4 + \frac{(3-(-6))}{3}\right) * 5 [mm]$$

D = 35 mm

Cálculo factor de corrección fc:

Donde:

$$Ep = 6.2$$

$$Li = 25$$

$$Lf = 10$$

$$f_c = \left(\frac{\left(E_p * 10\right)}{\left(L_i - L_f\right) * 5}\right)$$

$$f_c = \left(\frac{\left(E_p * 10\right)}{\left(L_i - L_f\right) * 5}\right)$$

fc = 0.826666667 mm

Cálculo del rango corregido Dc:

$$D_c = D * fc$$

$$D_c = D * fc$$
 $D_c = 28.93333333 \text{ mm}$

Cálculo del I.R.I.:

Aplicando la fórmula para pavimentos en servicio:

$$I.R.I. = 0.593 + 0.0471 * D_c$$

I.R.I.=1.96 m/km

CAPÍTULO 4 ANÁLISIS DE RESULTADOS

CAPÍTULO 4

4.- Análisis de resultados

4.1.- Impacto

Para establecer los criterios de impacto de cada uno de nuestros riesgos nos basamos en el histórico de afectación sucedido cuando se ha desencadenado la falla en alguno de los riesgos ya nombrados, como por ejemplo los deslizamientos que como en la mayoría de los casos producen un impacto muy crítico en la infraestructura, ver tabla 10.

Tabla 117. Impacto de Riesgo

IMPACTO DE RIESGO							
Deslizamiento	Deslizamiento Congestionamiento Pavimento en mal estado Desgaste Falla por mal estado de drenajes						
CRITICO	CRITICO CRITICO MODERADO MODERADO BAJO						

Fuente: Elaboración Propia

4.2.- Probabilidad

Tabla 118. Datos Obtenidos Vía Principal

	INFORMACION OBTENIDA						
Nr o.	VIA PRINCIPAL	AFECTA CIÓN EN EL PAVIME NTO	AFECTA CIÓN EN EL TRÁFIC O POR FALLA	FALLA POR FILTRA CIÓN DE AGUA	CONGESTIONA MIENTO VEHICULAR		
		IRI	TD	IMD	DENSIDAD VEHICULAR		
1	AV. VICTOR PAZ (UAJMS)	2.69	16964	2.8	47		
2	AV POTOSI	2.57	5559	18.4	27		
3	CALLE GRAL. DE SANTA CRUZ	4.72	6810	2	24		
4	AV HEROES DE LA INDEPENDENCIA	1.89	7179	12.8	20		
5	AV. VICTOR PAZ (COMANDO)	2.83	6720	0.3	25		
6	AV. DE LA INTEGRACION	3.12	9430	0.3	32		
7	AV. VICTOR PAZ (MORROS BLANCOS)	1.84	13015	13.9	31		
8	CALLE 29 DE JUNIO	3.51	2109	2.2	6		

9	AV. VICTOR PAZ (BOMBEROS)	1.23	13856	3.9	29
10	AV. NUEVA TERMINAL	3.18	5777	7.1	20
11	AV. VICTOR PAZ (AEROPUERTO)	3.26	12812	2.5	41
12	AV. VICTOR PAZ (SETAR)	1.24	13067	1.3	33
13	RUTA SAN JACINTO (SETAR TABLADA)	1.89	4597	0.4	16
14	AV. PANAMERICANA (CAMPESINO)	4.1	11757	9.4	28
15	AV. ALTO DE LA ALIANZA	2.06	6555	0.3	21

Interpretación: en la tabla 11 se puede evidenciar la obtención de los datos de las vías principales para luego realizar su clasificación según la norma ISO 31000.

Tabla 119. Datos Obtenidos Vía Secundaria

	INFORMA CION OPTENIDA						
	INFORMACION OBTENIDA						
	VIA SECUNDARIA	AFECTA CIÓN EN EL PAVIME NTO	AFECTA CIÓN EN EL TRÁFICO POR FALLA	FALLA POR FILTRA CIÓN DE AGUA	CONGESTIONA MIENTO VEHICULAR		
		IRI	TD	IMD	DENSIDAD VEHICULAR		
1	CALLE ESPAÑA	1.96	11912	1	45		
2	CALLE MEMBRILLOS	2.2	3660	2.1	20		
3	CALLE 14 DE JUNIO	2.27	8444	4.8	27		
4	AV. NOELIA MARTINEZ	3.71	6234	6.1	19		
5	CALLE BALLIVIÁN	1.76	6720	0.7	25		
6	AV. CAP. CASTELLANOS	3.42	2102	1.8	12		
7	AV. CNL. CARLOS DIAZ	2.15	2776	4.5	10		
8	CALLE TORRECILLAS (TERMINAL)	3.28	2933	6.4	14		
9	AV. FUERZA AÉREA	1.96	4822	2.6	20		
10	CALLE 2 (SETAR TABLADA)	2.6	5445	0.2	15		
11	CALLE COCHABAMBA	4.81	13280	2.5	50		

Fuente: Elaboración Propia

Interpretación: en la tabla 12 se puede evidenciar la obtención de los datos de las vías secundarias para luego realizar su clasificación según la norma ISO 31000.

Con los datos obtenidos se realizó un análisis de probabilidad utilizando criterios establecidos en cada uno de los riesgos seleccionados como se puede ver en la tabla 13, separándolos en tres grandes grupos: Grupo de probabilidad alta, grupo de probabilidad media y grupo de probabilidad baja, generando así una probabilidad de ocurrencia de riesgo muy apegada a los datos reales obtenidos en la ciudad de Tarija, los resultados los podremos observar en la tabla 14 y 15 para vías principales y secundarias respectivamente.

Tabla 120. Criterios de Probabilidad de riesgos en las Vías

PROBABILIDAD						
RIESGO	RIESGO PARAMETRO					
Deslizamiento	ESTADO DEL TALUD	BAJA	MEDIA	ALT A		
Congestionamiento Vehicular	DV	<20	20 <x<30< td=""><td>>30</td></x<30<>	>30		
Intensidad diaria	TPD	< 3000	3000 <x<70 00</x<70 	>700		
Falla por mal estado de drenajes	IMD	>4	4 <x<0.5< td=""><td>< 0.5</td></x<0.5<>	< 0.5		
Pavimento en mal estado	IRI	<2	2 <x<3.5< td=""><td>>3.5</td></x<3.5<>	>3.5		

Fuente: Elaboración Propia

Tabla 121. Valoración de la probabilidad de los riesgos en vías principales

	INFORMACION OBTENIDA						
	VIA PRINCIPAL	AFECT ACIÓN EN EL PAVIME NTO	AFECT ACIÓN EN EL TRÁFIC O POR FALLA	FALLA POR FILTRA CIÓN DE AGUA	CONGESTION AMIENTO VEHICULAR		
		IRI	TD	IMD	DENSIDAD VEHICULAR		
1	AV. VICTOR PAZ (UAJMS)	MEDIA	ALTA	MEDIA	ALTA		
2	AV POTOSI	MEDIA	MEDIA	BAJA	MEDIA		
3	CALLE GRAL. DE SANTA CRUZ	MEDIA	MEDIA	MEDIA	MEDIA		

4	AV HEROES DE LA INDEPENDENCIA	BAJA	MEDIA	BAJA	MEDIA
5	AV. VICTOR PAZ (COMANDO)	MEDIA	MEDIA	ALTA	MEDIA
6	AV. DE LA INTEGRACION	MEDIA	ALTA	ALTA	ALTA
7	AV. VICTOR PAZ (MORROS BLANCOS)	BAJA	ALTA	BAJA	ALTA
8	CALLE 29 DE JUNIO	ALTA	BAJA	MEDIA	BAJA
9	AV. VICTOR PAZ (BOMBEROS)	BAJA	ALTA	MEDIA	MEDIA
10	AV. NUEVA TERMINAL	MEDIA	MEDIA	BAJA	MEDIA
11	AV. VICTOR PAZ (AEROPUERTO)	MEDIA	ALTA	MEDIA	ALTA
12	AV. VICTOR PAZ (SETAR)	BAJA	ALTA	MEDIA	ALTA
13	RUTA SAN JACINTO (SETAR TABLADA)	BAJA	MEDIA	ALTA	BAJA
14	AV. PANAMERICANA (CAMPESINO)	ALTA	ALTA	BAJA	MEDIA
15	AV. ALTO DE LA ALIANZA	MEDIA	MEDIA	ALTA	MEDIA

Interpretación: en la tabla 14 se puede evidenciar la clasificación de los datos obtenidos según la norma ISO 31000.

Tabla 122. Valoración de la probabilidad de los riesgos en vías secundarias

INFORMACION OBTENIDA						
	VIA SECUNDARIA	AFECTACIÓN EN EL PAVIMENTO	AFECT ACIÓN EN EL TRÁFI CO POR FALLA	FALL A POR FILTR ACIÓN DE AGUA	CONGESTIO NAMIENTO VEHICULAR	
		IRI	TD	IMD	DENSIDAD VEHICULAR	
1	CALLE ESPAÑA	BAJA	ALTA	MEDI A	ALTA	
2	CALLE MEMBRILLOS	MEDIA	MEDIA	MEDI A	MEDIA	
3	CALLE 14 DE JUNIO	MEDIA	ALTA	BAJA	MEDIA	

4	AV. NOELIA MARTINEZ	ALTA	MEDIA	BAJA	BAJA
5	CALLE BALLIVIÁN	BAJA	MEDIA	MEDI A	MEDIA
6	AV. CAP. CASTELLANOS	MEDIA	BAJA	MEDI A	BAJA
7	AV. CNL. CARLOS DIAZ	MEDIA	BAJA	BAJA	BAJA
8	CALLE TORRECILLAS (TERMINAL)	MEDIA	BAJA	BAJA	BAJA
9	AV. FUERZA AÉREA	BAJA	MEDIA	MEDI A	MEDIA
10	CALLE 2 (SETAR TABLADA)	MEDIA	MEDIA	ALTA	BAJA
11	CALLE COCHABAMBA	ALTA	ALTA	MEDI A	ALTA

Interpretación: en la tabla 15 se puede evidenciar la clasificación de los datos obtenidos según la norma ISO 31000.

4.3.-Procedimiento para el análisis y la interpretación de la información

4.3.1.-Tratamiento de los datos

Con la información mostrada anteriormente y utilizando la matriz de evaluación del riesgo en nuestro caso de estudio y su cruce de variables que encontraremos a continuación, así bajo este mecanismo ofrecido por la norma ISO 31000 realizaremos la clasificación de riesgos. Como se pude observar en la tabla 20, habrá 4 tipos resultados posibles de estado del riesgo:

- Urgente
- Atención
- Aceptable
- Buen estado

Tabla 123. Matriz de evaluación del riesgo cruce de variables

	PROBABILIDAD			
0		ALTA	MEDIA	BAJA
l 5	BAJO	ACEPTABLE	BUEN ESTADO	BUEN ESTADO
IPA	MODERADO	ATENCIÓN	ACEPTABLE	BUEN ESTADO
IN	CRITICO	URGENTE	ATENCIÓN	ACEPTABLE

4.3.2.- Tablas de Riesgo de las Vías Principales

4.3.3.- Pavimento el mal estado

Tabla 124. Tablas de Riesgo de Vías Principales

	Tabla 124. Tablas de Riesgo de Vias Principales						
1	PAVIMENTO EN MAL ESTADO						
1	PROBABILIDAD						
IMPACTO	PAVIMENTO EN MAL ESTADO	ALTA	MEDIA	BAJA			
	BAJO						
Π P	MODERADO		ACEPTABLE				
	CRITICO						
2	PAVIMENT	O EN MAL ES	TADO				
2	PROBABILIDAD						
Q.	PAVIMENTO EN MAL ESTADO	ALTA	MEDIA	BAJA			
IMPACTO	BAJO						
IPA	MODERADO		ACEPTABLE				
	CRITICO						
3	PAVIMENTO EN MAL ESTADO						
3	PROBABILIDAD						
0	PAVIMENTO EN MAL ESTADO	ALTA	MEDIA	BAJA			
CT	BAJO						
IMPACTO	MODERADO	ATENCIÓN					
	CRITICO						
4	PAVIMENTO EN MAL ESTADO						
4	PROBABILIDAD						
)	PAVIMENTO EN MAL ESTADO	ALTA	MEDIA	BAJA			
CTC	BAJO						
IMPACTO				BUEN			
	MODERADO			ESTADO			
	CRITICO						

5	PAVIMENTO EN MAL ESTADO					
3	PRO	BABILIDAD				
0,	PAVIMENTO EN MAL ESTADO	ALTA	MEDIA	BAJA		
IMPACTO	BAJO					
⁄IP.⁄	MODERADO		ACEPTABLE			
II	CRITICO					
6	PAVIMENTO EN MAL ESTADO					
O	PROBABILIDAD					
2	PAVIMENTO EN MAL ESTADO	ALTA	MEDIA	BAJA		
IMPACTO	BAJO					
MP,	MODERADO		ACEPTABLE			
	CRITICO					
7	PAVIMENT	O EN MAL ES	TADO			
,	PRO	BABILIDAD				
0	PAVIMENTO EN MAL ESTADO	ALTA	MEDIA	BAJA		
CL	BAJO					
IMPACTO	MODERADO			BUEN ESTADO		
IIV	CRITICO			ESTADO		
		O EN MAL ES	TADO			
8		BABILIDAD				
0	PAVIMENTO EN MAL ESTADO	ALTA	MEDIA	BAJA		
CT	BAJO					
IMPACTO	MODERADO	ATENCIÓN				
IIV	CRITICO					
9	PAVIMENT	O EN MAL ES	TADO			
9	PRO	BABILIDAD				
0.	PAVIMENTO EN MAL ESTADO	ALTA	MEDIA	BAJA		
\C.	BAJO					
IMPACT	MODERADO		ACEPTABLE			
I	CRITICO					
10	PAVIMENT	O EN MAL ES	TADO			
10	PRO	BABILIDAD				
9	PAVIMENTO EN MAL ESTADO	ALTA	MEDIA	BAJA		
AC.	BAJO					
IMPACTO	MODERADO		ACEPTABLE			
	CRITICO					

1.1	DATE ADVISOR DATA A LEGISLADO
11	PAVIMENTO EN MAL ESTADO

	PRO	BABILIDAD			
0	PAVIMENTO EN MAL ESTADO	ALTA	MEDIA	BAJA	
IMPACTO	BAJO				
ΛΡΑ	MODERADO		ACEPTABLE		
	CRITICO				
12	PAVIMENT	O EN MAL ES	TADO		
12	PRO	BABILIDAD		ı	
Q	PAVIMENTO EN MAL ESTADO	ALTA	MEDIA	BAJA	
\CT	BAJO				
IMPACTO	MODERADO			BUEN ESTADO	
	CRITICO				
13	PAVIMENTO EN MAL ESTADO				
13	PRO	BABILIDAD			
Q	PAVIMENTO EN MAL ESTADO	ALTA	MEDIA	BAJA	
\CT	BAJO			DVIEN	
IMPACTO	MODERADO			BUEN ESTADO	
	CRITICO				
14	PAVIMENTO EN MAL ESTADO				
•	PRO	BABILIDAD			
2	PAVIMENTO EN MAL ESTADO	ALTA	MEDIA	BAJA	
ACJ	BAJO				
IMPACTO	MODERADO	ATENCIÓN			
П	CRITICO				
15		O EN MAL ES	TADO		
		BABILIDAD			
TO	PAVIMENTO EN MAL ESTADO	ALTA	MEDIA	BAJA	
AC	BAJO				
IMPACTO	MODERADO		ACEPTABLE		
I	CRITICO				

4.3.4.- Falla por filtración de aguas

1	1 FALLA POR FILTRACIÓN DE AGUAS PROBABILIDAD					
1						
0	FALLA POR FILTRACION DE AGUAS	ALTA	MEDIA	BAJA		
PACT	BAJO		BUEN ESTADO			
IM	MODERADO					
	CRITICO					

2	FALLA POR FILTRACIÓN DE AGUAS			
	PROBA	BILIDAD		
ΓO	FALLA POR FILTRACION DE AGUAS	ALTA	MEDIA	BAJA
IMPACTO	BAJO			BUEN ESTADO
IM	MODERADO			
	CRITICO			
3	FALLA POR FILT	RACIÓN DE AC	GUAS	
3	PROBA	BILIDAD		
ΓO	FALLA POR FILTRACION DE AGUAS	ALTA	MEDIA	BAJA
IMPACTO	ВАЈО		BUEN ESTADO	
IM	MODERADO			
	CRITICO			
4	FALLA POR FILT		GUAS	
		BILIDAD		
0.0	FALLA POR FILTRACION DE AGUAS	ALTA	MEDIA	BAJA
IMPACTO	BAJO			BUEN ESTADO
	MODERADO			
	CRITICO			
5	FALLA POR FILT	RACIÓN DE AC	GUAS	
3	PROBA	BILIDAD		
CO	FALLA POR FILTRACION DE AGUAS	ALTA	MEDIA	BAJA
IMPACTO	ВАЈО	ACEPTABL E		
IIM	MODERADO			
	CRITICO			
6	FALLA POR FILT	RACIÓN DE AC	GUAS	
U	PROBA	BILIDAD		
ГО	FALLA POR FILTRACION DE AGUAS	ALTA	MEDIA	BAJA
IMPACTO	ВАЈО	ACEPTABL E		
IM	MODERADO			
	CRITICO			
7	FALLA POR FILT	RACIÓN DE AC	GUAS	

	PROBA	BILIDAD		
ΓΟ	FALLA POR FILTRACION DE AGUAS	ALTA	MEDIA	BAJA
IMPACTO	ВАЈО			BUEN ESTADO
IM	MODERADO			
	CRITICO			
8	FALLA POR FILT		GUAS	
	FALLA POR FILTRACION DE	BILIDAD		
0	AGUAS	ALTA	MEDIA	BAJA
IMPACTO	ВАЈО		BUEN ESTADO	
IM]	MODERADO			
	CRITICO			
9	FALLA POR FILT	RACIÓN DE A	GUAS	
		BILIDAD		I
TO	FALLA POR FILTRACION DE AGUAS	ALTA	MEDIA	BAJA
IMPACTO	BAJO MODERADO		BUEN ESTADO	
	CRITICO			
	FALLA POR FILT	RACIÓN DE A	CHAS	
10		BILIDAD	GUAS	
ΓΟ	FALLA POR FILTRACION DE AGUAS	ALTA	MEDIA	BAJA
IMPACTO	ВАЈО			BUEN ESTADO
	MODERADO			
	CRITICO			
11	FALLA POR FILT		GUAS	
	FALLA POR FILTRACION DE	BILIDAD		
CLO	AGUAS	ALTA	MEDIA	BAJA
IMPACTO	ВАЈО		BUEN ESTADO	
	MODERADO			
	CRITICO	D. Grássas :	GILLG	
12	FALLA POR FILT		GUAS	
IMP	FALLA POR FILTRACION DE AGUAS	ALTA	MEDIA	BAJA
		L		l .

	BAJO		BUEN ESTADO		
	MODERADO				
	CRITICO				
13	FALLA POR FILT	RACIÓN DE AC	GUAS		
13	PROBA	BILIDAD			
	FALLA POR FILTRACION DE				
2	AGUAS	ALTA	MEDIA	BAJA	
IMPACTO	BAJO	ACEPTABL E			
\mathbb{Z}	MODERADO				
	CRITICO				
14	FALLA POR FILT	RACIÓN DE AC	GUAS		
14	PROBABILIDAD				
0,	FALLA POR FILTRACION DE				
0	AGUAS	ALTA	MEDIA	BAJA	
PACTO		ALTA	MEDIA	BAJA BUEN ESTADO	
IMPACTO	AGUAS	ALTA	MEDIA	BUEN	
IMPACTO	AGUAS BAJO	ALTA	MEDIA	BUEN	
	AGUAS BAJO MODERADO			BUEN	
IMPACTO 12	AGUAS BAJO MODERADO CRITICO FALLA POR FILT			BUEN	
15	AGUAS BAJO MODERADO CRITICO FALLA POR FILT	RACIÓN DE AC		BUEN	
15	AGUAS BAJO MODERADO CRITICO FALLA POR FILT PROBA FALLA POR FILTRACION DE	RACIÓN DE AC	GUAS	BUEN ESTADO	
	AGUAS BAJO MODERADO CRITICO FALLA POR FILT PROBA FALLA POR FILTRACION DE AGUAS	RACIÓN DE AC BILIDAD ALTA ACEPTABL	GUAS	BUEN ESTADO	

4.3.5.- Afectación en el tráfico por falla

1	AFECTACIÓN EN EL	TRÁFICO PO	R FALLA	
1	PROBA	BILIDAD		
CLO	AFECTACIÓN EN EL TRÁFICO POR FALLA	ALTA	MEDIA	BAJA
AC	BAJO			
MP	MODERADO	ATENCIÓN		
I	CRITICO			
2	AFECTACIÓN EN EL TRÁFICO POR FALLA			
2	PROBABILIDAD			
IPACT	AFECTACIÓN EN EL TRÁFICO POR FALLA	ALTA	MEDIA	BAJA
IM	BAJO			

	MODERADO		ACEPTABLE	
	CRITICO			
3	AFECTACIÓN EN EL	TRÁFICO PO	R FALLA	
3	PROBA	BILIDAD		
IMPACTO	AFECTACIÓN EN EL TRÁFICO POR FALLA	ALTA	MEDIA	BAJA
AC	BAJO			
MP	MODERADO		ACEPTABLE	
I	CRITICO			
4	AFECTACIÓN EN EL		R FALLA	
		BILIDAD		
IMPACTO	AFECTACIÓN EN EL TRÁFICO POR FALLA	ALTA	MEDIA	BAJA
) V	BAJO			
M	MODERADO		ACEPTABLE	
	CRITICO			
5	AFECTACIÓN EN EL	TRÁFICO PO	R FALLA	
3	PROBA	BILIDAD		
ľO	AFECTACIÓN EN EL TRÁFICO POR FALLA	ALTA	MEDIA	BAJA
ACT	ВАЈО			
IMPACTO	MODERADO		ACEPTABLE	
	CRITICO			
6	AFECTACIÓN EN EL	TRÁFICO PO	R FALLA	
		BILIDAD	ı	
CTO	AFECTACIÓN EN EL TRÁFICO POR FALLA	ALTA	MEDIA	BAJA
AC	BAJO			
IMP	MODERADO	ATENCIÓN		
	CRITICO			
7	AFECTACIÓN EN EL		R FALLA	
		BILIDAD		
IMPACTO	AFECTACIÓN EN EL TRÁFICO POR FALLA	ALTA	MEDIA	BAJA
)Yc	BAJO			
	MODERADO	ATENCIÓN		
	CRITICO			
8	AFECTACIÓN EN EL	TRÁFICO PO	R FALLA	
		BILIDAD		
IMP	AFECTACIÓN EN EL TRÁFICO POR FALLA	ALTA	MEDIA	BAJA

	BAJO			
	MODERADO			BUEN ESTADO
	CRITICO			
9	AFECTACIÓN EN EI	TRÁFICO PO	R FALLA	
9	PROBA	ABILIDAD		
IMPACTO	AFECTACIÓN EN EL TRÁFICO POR FALLA	ALTA	MEDIA	BAJA
AC	BAJO			
MP	MODERADO	ATENCIÓN		
	CRITICO			
10	AFECTACIÓN EN EI	. TRÁFICO PO	R FALLA	
10		ABILIDAD		
IMPACTO	AFECTACIÓN EN EL TRÁFICO POR FALLA	ALTA	MEDIA	BAJA
AC _	BAJO			
MP	MODERADO		ACEPTABLE	
H	CRITICO			
11	AFECTACIÓN EN EI	TRÁFICO PO	R FALLA	
11		ABILIDAD		
MPACTO	AFECTACIÓN EN EL TRÁFICO POR FALLA	ALTA	MEDIA	BAJA
AC	BAJO			
MP	MODERADO	ATENCIÓN		
Н	CRITICO			
12	AFECTACIÓN EN EI	. TRÁFICO PO	R FALLA	
12		ABILIDAD		
Ol	AFECTACIÓN EN EL TRÁFICO POR FALLA	ALTA	MEDIA	BAJA
AC	BAJO			
IMPA	MODERADO	ATENCIÓN		
	CRITICO	TTTETTETOTT		
	AFECTACIÓN EN EI	TDÁFICO DO	D EALLA	
13			KFALLA	
	AFECTACIÓN EN EL TRÁFICO	ABILIDAD		
9	POR FALLA	ALTA	MEDIA	BAJA
AC.	BAJO			
IMPACTO	MODERADO		ACEPTABLE	
	CRITICO			
	AFECTACIÓN EN EI	TRÁFICO PO	R FALLA	
14		ABILIDAD	X I IIIIII	
MPA	AFECTACIÓN EN EL TRÁFICO POR FALLA	ALTA	MEDIA	BAJA

	ВАЈО			
	MODERADO	ATENCIÓN		
	CRITICO			
15	AFECTACIÓN EN EL TRÁFICO POR FALLA			
13	PROBABILIDAD			
	~ ~~			
OLO	AFECTACIÓN EN EL TRÁFICO POR FALLA	ALTA	MEDIA	BAJA
ACTO		ALTA	MEDIA	BAJA
MPACTO	POR FALLA	ALTA	MEDIA ACEPTABLE	BAJA

4.3.6.- Congestionamiento Vehicular

	CONCECTIONA	ALENTO VELI	IICIII AD	
1	CONGESTIONAN		IICULAR	
		ABILIDAD		
ľO	CONGESTIONAMIENTO VEHICULAR	ALTA	MEDIA	BAJA
IMPACTO	BAJO			
MP,	MODERADO			
	CRITICO	URGENTE		
	CONGESTIONAN		IICIILAR	
2		ABILIDAD	Heelin.	
		TIDILIDI ID		
Q	CONGESTIONAMIENTO	ALTA	MEDIA	BAJA
IMPACTO	VEHICULAR BAJO			
\mathbb{IP}_{A}				
	MODERADO			
	CRITICO		ATENCIÓN	
3	CONGESTIONAMIENTO VEHICULAR			
	PROB	ABILIDAD		
IMPACTO	CONGESTIONAMIENTO VEHICULAR	ALTA	MEDIA	BAJA
AC	BAJO			
MP	MODERADO			
I	CRITICO		ATENCIÓN	
4	CONGESTIONAN	MIENTO VEH	IICULAR	
4	PROBABILIDAD			
	CONGESTIONAMIENTO			
)Ţ(VEHICULAR	ALTA	MEDIA	BAJA
AC	ВАЈО			
IMPACTO	MODERADO			
	CRITICO		ATENCIÓN	

5	CONGESTIONAN	MIENTO VEH	IICULAR	
3	PROB	ABILIDAD		
TO	CONGESTIONAMIENTO VEHICULAR	ALTA	MEDIA	BAJA
IMPACTO	BAJO			
MP	MODERADO			
Ι	CRITICO		ATENCIÓN	
6	CONGESTIONAN	MIENTO VEH	IICULAR	
U	PROB	ABILIDAD		
TO	CONGESTIONAMIENTO VEHICULAR	ALTA	MEDIA	BAJA
AC	BAJO			
IMPACTO	MODERADO			
I	CRITICO	URGENTE		
7	CONGESTIONAN	MIENTO VEH	IICULAR	
,	PROB	ABILIDAD		
CLO	CONGESTIONAMIENTO VEHICULAR	ALTA	MEDIA	BAJA
AC	BAJO			
IMPACTO	MODERADO			
	CRITICO	URGENTE		
8	CONGESTIONAN	MIENTO VEH	IICULAR	
		ABILIDAD		
2	CONGESTIONAMIENTO VEHICULAR	ALTA	MEDIA	BAJA
	BAJO	112211		271071
IMPACTO	MODERADO			
	CRITICO			ACEPTABLE
9	CONGESTIONAN	MIENTO VEH	IICULAR	
,	PROB	ABILIDAD		
TO	CONGESTIONAMIENTO VEHICULAR	ALTA	MEDIA	BAJA
AC	BAJO			
IMPACTO	MODERADO			
I	CRITICO		ATENCIÓN	
10	CONGESTIONAN	MIENTO VEH	IICULAR	
	PROB	ABILIDAD		
MPACT	CONGESTIONAMIENTO VEHICULAR	ALTA	MEDIA	BAJA
[M]	BAJO			

	MODERADO				
	CRITICO		ATENCIÓN		
1.1	CONGESTIONAN	MIENTO VEH	HICULAR		
11		ABILIDAD			
IMPACTO	CONGESTIONAMIENTO VEHICULAR	ALTA	MEDIA	BAJA	
AC	ВАЈО				
	MODERADO				
	CRITICO	URGENTE			
12	CONGESTIONAN	MIENTO VEH	HICULAR		
12		ABILIDAD	ı		
IMPACTO	CONGESTIONAMIENTO VEHICULAR	ALTA	MEDIA	BAJA	
AC	BAJO				
MP	MODERADO				
I	CRITICO	URGENTE			
13	CONGESTIONAMIENTO VEHICULAR				
13	PROBABILIDAD				
0	CONGESTIONAMIENTO	ALTA	MEDIA	DATA	
CI	VEHICULAR BAJO			BAJA	
IMPACTO	MODERADO				
\geq	CRITICO			ACEPTABLE	
	CONGESTIONAN	MIENTO VEL	JICIII AD	TICEI TIEEL	
14		ABILIDAD	IICULAR		
TO	CONGESTIONAMIENTO VEHICULAR	ALTA	MEDIA	BAJA	
IPACTO	BAJO				
IMP	MODERADO				
П	CRITICO		ATENCIÓN		
15	CONGESTIONAN	MIENTO VEH	HICULAR		
13	PROBABILIDAD				
IMPACTO	CONGESTIONAMIENTO VEHICULAR	ALTA	MEDIA	BAJA	
AC	BAJO				
MF	MODERADO				
	CRITICO		ATENCIÓN		

4.4.- Tablas de Riesgo de la Vías Secundarias

4.4.1.- Pavimento en mal estado

Tabla 125. Tablas de riesgo de Vías Secundarias

	PAVIMENTO EN MAL ESTADO				
1		BABILIDAD			
0	PAVIMENTO EN MAL ESTADO	ALTA	MEDIA	BAJA	
₽C]	BAJO				
IMPACTO	MODERADO			BUEN ESTADO	
	CRITICO				
2		EN MAL ESTA	DO		
	PROF	BABILIDAD	I		
T0	PAVIMENTO EN MAL ESTADO	ALTA	MEDIA	BAJA	
AC	ВАЈО				
IMPACTO	MODERADO		ACEPTABL E		
	CRITICO				
3	PAVIMENTO EN MAL ESTADO				
	PROBABILIDAD				
TO	PAVIMENTO EN MAL ESTADO	ALTA	MEDIA	BAJA	
AC	BAJO				
IMPACTO	MODERADO		ACEPTABL E		
	CRITICO				
4	PAVIMENTO EN MAL ESTADO				
7	PROBABILIDAD				
QL)	PAVIMENTO EN MAL ESTADO	ALTA	MEDIA	BAJA	
AC	BAJO				
IMP.	MODERADO	ATENCIÓN			
	CRITICO				
5	PAVIMENTO EN MAL ESTADO				
	PROBABILIDAD				
IMPACTO	PAVIMENTO EN MAL ESTADO	ALTA	MEDIA	BAJA	
PA	ВАЈО				
IM	MODERADO			BUEN ESTADO	

	CRITICO					
6	PAVIMENTO	EN MAL ESTA	DO			
O	PROBABILIDAD					
ГО	PAVIMENTO EN MAL ESTADO	ALTA	MEDIA	BAJA		
AC	BAJO					
IMPACTO	MODERADO		ACEPTABL E			
	CRITICO					
7		EN MAL ESTA	ADO			
	PROF	BABILIDAD				
ТО	PAVIMENTO EN MAL ESTADO	ALTA	MEDIA	BAJA		
AC	BAJO					
IMPACTO	MODERADO		ACEPTABL E			
	CRITICO					
8	PAVIMENTO	EN MAL ESTA	ADO			
	PROF	BABILIDAD				
TO	PAVIMENTO EN MAL ESTADO	ALTA	MEDIA	BAJA		
AC	BAJO					
IMPACTO	MODERADO		ACEPTABL E			
	CRITICO					
9		EN MAL ESTA	ADO			
	PROF	BABILIDAD				
TO	PAVIMENTO EN MAL ESTADO	ALTA	MEDIA	BAJA		
AC	BAJO					
IMPACT	MODERADO			BUEN ESTADO		
	CRITICO					
10		EN MAL ESTA	ADO .			
	PROF	BABILIDAD				
ТО	PAVIMENTO EN MAL ESTADO	ALTA	MEDIA	BAJA		
AC	BAJO					
IMPACTO	MODERADO		ACEPTABL E			
	CRITICO					
11	PAVIMENTO	EN MAL ESTA	ADO			

	PROBABILIDAD				
CTO	PAVIMENTO EN MAL ESTADO	ALTA	MEDIA	BAJA	
AC	BAJO				
IME	MODERADO	ATENCIÓN			
	CRITICO				

4.4.2.- Falla por Filtración de aguas

	FALLA POR FI	LTRACIÓN DE A	AGUAS		
1		BABILIDAD			
0	FALLA POR FILTRACION DE AGUAS	ALTA	MEDIA	BAJA	
IMPACTO	BAJO		BUEN ESTADO		
I	MODERADO				
	CRITICO				
2	FALLA POR FI	LTRACIÓN DE A	AGUAS		
	PRO	BABILIDAD			
ľO	FALLA POR FILTRACION DE AGUAS	ALTA	MEDIA	BAJA	
IMPACTO	ВАЈО		BUEN ESTADO		
\geq	MODERADO				
	CRITICO				
3	FALLA POR FILTRACIÓN DE AGUAS				
	PROBABILIDAD				
0.1	FALLA POR FILTRACION DE AGUAS	ALTA	MEDIA	BAJA	
IMPACTO	BAJO		BUEN ESTADO		
\geq	MODERADO				
	CRITICO				
4	FALLA POR FI	LTRACIÓN DE A	AGUAS		
•	PROBABILIDAD				
ľO	FALLA POR FILTRACION DE AGUAS	ALTA	MEDIA	BAJA	
IMPACTO	ВАЈО		BUEN ESTADO		
	MODERADO				
	CRITICO				

5	FALLA POR FILTRACIÓN DE AGUAS				
3	PRO	BABILIDAD			
ΓO	FALLA POR FILTRACION DE AGUAS	ALTA	MEDIA	BAJA	
IMPACTO	ВАЈО		BUEN ESTADO		
\mathbb{Z}	MODERADO				
	CRITICO				
6	FALLA POR FI	LTRACIÓN DE A	GUAS		
U		BABILIDAD			
ΓO	FALLA POR FILTRACION DE AGUAS	ALTA	MEDIA	BAJA	
IMPACTO	BAJO		BUEN ESTADO		
\mathbb{Z}	MODERADO				
	CRITICO				
7	FALLA POR FI	LTRACIÓN DE A	GUAS		
·		BABILIDAD			
TO	FALLA POR FILTRACION DE AGUAS	ALTA	MEDIA	BAJA	
IMPACTO	BAJO		BUEN ESTADO		
	MODERADO				
	CRITICO EALLA BOD EI	LTRACIÓN DE A	CHAC		
8		ETRACION DE A BABILIDAD	IGUAS		
Q	FALLA POR FILTRACION DE AGUAS	ALTA	MEDIA	BAJA	
MPACTO	ВАЈО		BUEN ESTADO		
IM	MODERADO				
	CRITICO				
9		LTRACIÓN DE A	GUAS		
		BABILIDAD			
To	FALLA POR FILTRACION DE AGUAS	ALTA	MEDIA	BAJA	
IMPACTO	BAJO		BUEN ESTADO		
\mathbb{Z}	MODERADO				
	CRITICO				
10		LTRACIÓN DE A	GUAS		
		BABILIDAD			
IMPA	FALLA POR FILTRACION DE AGUAS	ALTA	MEDIA	BAJA	

	BAJO	ACEPTABLE			
	MODERADO				
	CRITICO				
11	FALLA POR FI	LTRACIÓN DE A	GUAS		
11	PROBABILIDAD				
ГО	FALLA POR FILTRACION DE AGUAS	ALTA	MEDIA	BAJA	
IPAC	ВАЈО		BUEN ESTADO		
IM	MODERADO				
	CRITICO				

4.4.3.- Afectación en el tráfico por falla

1	AFECTACIÓN EN EL TRÁFICO POR FALLA				
1	PROBABILIDAD				
IMPACTO	AFECTACIÓN EN EL TRÁFICO POR FALLA	ALTA	MEDIA	BAJA	
AC	BAJO				
MP	MODERADO	ATENCIÓN			
I	CRITICO				
2	AFECTACIÓN EN EL	TRÁFICO PO	R FALLA		
	PROBA	BILIDAD			
IMPACTO	AFECTACIÓN EN EL TRÁFICO POR FALLA	ALTA	MEDIA	BAJA	
AC	BAJO				
MP	MODERADO		ACEPTABLE		
I	CRITICO				
3	AFECTACIÓN EN EL TRÁFICO POR FALLA				
3	PROBABILIDAD				
TO	AFECTACIÓN EN EL TRÁFICO POR FALLA	ALTA	MEDIA	BAJA	
AC	ВАЈО				
IMPACTO	MODERADO	ATENCIÓN			
I	CRITICO				
4	AFECTACIÓN EN EL	TRÁFICO PO	R FALLA		
4	PROBABILIDAD				
ГО	AFECTACIÓN EN EL TRÁFICO				
	POR FALLA	ALTA	MEDIA	BAJA	
IMPACTC	BAJO				
	MODERADO		ACEPTABLE		

	CRITICO				
5	AFECTACIÓN EN EL	TRÁFICO PO	R FALLA		
3	PROBABILIDAD				
IMPACTO	AFECTACIÓN EN EL TRÁFICO POR FALLA	ALTA	MEDIA	BAJA	
AC	BAJO				
IMI	MODERADO		ACEPTABLE		
	CRITICO				
6	AFECTACIÓN EN EL		R FALLA		
		BILIDAD			
CLO	AFECTACIÓN EN EL TRÁFICO POR FALLA	ALTA	MEDIA	BAJA	
AC	BAJO				
IMPACTO	MODERADO			BUEN ESTADO	
	CRITICO	,			
7	AFECTACIÓN EN EL		R FALLA		
	PROBABILIDAD				
CTO	AFECTACIÓN EN EL TRÁFICO POR FALLA	ALTA	MEDIA	BAJA	
AC	BAJO				
IMPACTO	MODERADO			BUEN ESTADO	
	CRITICO				
8	AFECTACIÓN EN EL	TRÁFICO PO	R FALLA		
		BILIDAD	l		
ТО	AFECTACIÓN EN EL TRÁFICO POR FALLA	ALTA	MEDIA	BAJA	
AC	BAJO			DITENT	
IMP.	MODERADO			BUEN ESTADO	
	CRITICO				
9	AFECTACIÓN EN EL		R FALLA		
	PROBABILIDAD				
IMPACTO	AFECTACIÓN EN EL TRÁFICO POR FALLA	ALTA	MEDIA	BAJA	
AC	BAJO				
IME	MODERADO		ACEPTABLE		
	CRITICO				
10	AFECTACIÓN EN EL	TRÁFICO PO	R FALLA		
10	PROBA	BILIDAD			

IPACTO	AFECTACIÓN EN EL TRÁFICO POR FALLA	ALTA	MEDIA	BAJA
	BAJO			
\mathbf{Z}	MODERADO		ACEPTABLE	
I	CRITICO			
11	AFECTACIÓN EN EL TRÁFICO POR FALLA			
11	PROBABILIDAD			
CTO	AFECTACIÓN EN EL TRÁFICO POR FALLA	ALTA	MEDIA	BAJA
AC	BAJO			
MP	MODERADO	ATENCIÓN		
I	CRITICO			

4.4.4.- Congestionamiento Vehicular

1	CONGESTIO	NAMIENTO V	EHICULAR		
1	PI	ROBABILIDAD			
IMPACTO	CONGESTIONAMIENTO VEHICULAR	ALTA	MEDIA	BAJA	
AC	BAJO				
MP	MODERADO				
	CRITICO	URGENTE			
2	CONGESTIO	NAMIENTO V	EHICULAR		
	PI	ROBABILIDAD			
IMPACTO	CONGESTIONAMIENTO VEHICULAR	ALTA	MEDIA	BAJA	
)Yc	BAJO				
\mathbb{Z}	MODERADO				
I	CRITICO		ATENCIÓN		
3	CONGESTIONAMIENTO VEHICULAR				
	PROBABILIDAD				
IMPACTO	CONGESTIONAMIENTO VEHICULAR	ALTA	MEDIA	BAJA	
AC	BAJO				
MF	MODERADO				
I	CRITICO		ATENCIÓN		
4	CONGESTIONAMIENTO VEHICULAR				
4	PROBABILIDAD				
IMPA	CONGESTIONAMIENTO VEHICULAR	ALTA	MEDIA	ВАЈА	

	ВАЈО				
	MODERADO				
	CRITICO			ACEPTABLE	
5	CONGESTIONAMIENTO VEHICULAR				
<i>J</i>	PROBABILIDAD				
TO	CONGESTIONAMIENTO VEHICULAR	ALTA	MEDIA	BAJA	
IMPACTO	BAJO				
MP	MODERADO				
П	CRITICO		ATENCIÓN		
-	CONGESTION	NAMIENTO V	EHICULAR		
6	PROBABILIDAD				
IMPACTO	CONGESTIONAMIENTO VEHICULAR	ALTA	MEDIA	BAJA	
AC	BAJO				
MF	MODERADO				
I	CRITICO			ACEPTABLE	
7	CONGESTIONAMIENTO VEHICULAR				
,	PROBABILIDAD				
IMPACTO	CONGESTIONAMIENTO VEHICULAR	ALTA	MEDIA	BAJA	
AC	BAJO				
MP	MODERADO				
I	CRITICO			ACEPTABLE	
8	CONGESTIONAMIENTO VEHICULAR				
0	PROBABILIDAD				
CTO	CONGESTIONAMIENTO VEHICULAR	ALTA	MEDIA	BAJA	
AC	BAJO				
IMPAC	MODERADO				
	CRITICO			ACEPTABLE	
9	CONGESTIONAMIENTO VEHICULAR				
	PROBABILIDAD				
IMPACTO	CONGESTIONAMIENTO VEHICULAR	ALTA	MEDIA	BAJA	
PA	BAJO				
	MODERADO		AMENICIÓN		
	CRITICO		ATENCIÓN		
10	CONGESTIONAMIENTO VEHICULAR				
	PROBABILIDAD				

CTO	CONGESTIONAMIENTO VEHICULAR	ALTA	MEDIA	BAJA	
IMPAC	BAJO				
\mathbb{Z}	MODERADO				
П	CRITICO			ACEPTABLE	
11	CONGESTIONAMIENTO VEHICULAR				
11	PROBABILIDAD				
CTO	CONGESTIONAMIENTO VEHICULAR	ALTA	MEDIA	BAJA	
AC	BAJO				
MP	MODERADO				
I	CRITICO	URGENTE			

Fuente: Elaboración Propia

Con el resultado de la evaluación de riesgos para cada elemento de la Malla Vial se conformaron las tablas que brinda información acerca de la prioridad de actuación, tratamiento y mitigación de los riesgos en la cada una de las vías, tanto principales como secundarias, esta tabla tiene como resultado la urgencia de intervención en cada una de las vías facilitando así su comprensión y su gestión rápida y sencilla para efectuar tratamientos siendo las siguiente:

Tabla 126. Tabla Resultante Vías Principales

VIAS PRINCIPALES						
	IMPACTO	MODERADO	BAJO	MODERADO	CRITICO	
		Afectación en el	Falla por filtración de	Afectación del	Congestionamiento	
	VIA PRINCIPAL/RIESGO	Pavimento	aguas	Tráfico	Vehicular	
		Indice de condición del	Indice de condición de			Urgencia de
		pavimiento	drenajes	Transito diario	Densidad vehicular	Intervención
1	AV. VICTOR PAZ (UAJMS)	ACEPTABLE	BUEN ESTADO	ATENCIÓN	URGENTE	URGENTE
2	AV POTOSI	ACEPTABLE	BUEN ESTADO	ACEPTABLE	ATENCIÓN	ATENCIÓN
3	CALLE GRAL. DE SANTA CRUZ	ATENCIÓN	BUEN ESTADO	ACEPTABLE	ATENCIÓN	ATENCIÓN
4	AV HEROES DE LA INDEPENDENCIA	BUEN ESTADO	BUEN ESTADO	ACEPTABLE	ATENCIÓN	ATENCIÓN
5	AV. VICTOR PAZ (COMANDO)	ACEPTABLE	ACEPTABLE	ACEPTABLE	ATENCIÓN	ATENCIÓN
6	AV. DE LA INTEGRACION	ACEPTABLE	ACEPTABLE	ATENCIÓN	URGENTE	URGENTE
7	AV. VICTOR PAZ (MORROS BLANCOS)	BUEN ESTADO	BUEN ESTADO	ATENCIÓN	URGENTE	URGENTE
8	CALLE 29 DE JUNIO	ATENCIÓN	BUEN ESTADO	BUEN ESTADO	ACEPTABLE	ATENCIÓN
9	AV. VICTOR PAZ (BOMBEROS)	ACEPTABLE	BUEN ESTADO	ATENCIÓN	ATENCIÓN	ATENCIÓN
10	AV. NUEVA TERMINAL	ACEPTABLE	BUEN ESTADO	ACEPTABLE	ATENCIÓN	ATENCIÓN
11	AV. VICTOR PAZ (AEROPUERTO)	ACEPTABLE	BUEN ESTADO	ATENCIÓN	URGENTE	URGENTE
12	AV. VICTOR PAZ (SETAR)	BUEN ESTADO	BUEN ESTADO	ATENCIÓN	URGENTE	URGENTE
13	RUTA SAN JACINTO (SETAR TABLADA)	BUEN ESTADO	ACEPTABLE	ACEPTABLE	ACEPTABLE	ACEPTABLE
14	AV. PANAMERICANA (CAMPESINO)	ATENCIÓN	BUEN ESTADO	ATENCIÓN	ATENCIÓN	ATENCIÓN
15	AV. ALTO DE LA ALIANZA	ACEPTABLE	ACEPTABLE	ACEPTABLE	ATENCIÓN	ATENCIÓN

Fuente: Elaboración Propia

Interpretación: en la tabla 19 se puede evidenciar la matriz de las vías principales según la norma ISO 31000, con la urgencia de intervención.

Tabla 127. Tabla Resultante Vías Secundarias

VIAS SECUNDARIAS						
	IMPACTO	MODERADO	BAJO	MODERADO	CRITICO	
		Afectación en el	Falla por filtración de	Afectación del	Congestionamiento	
	VIA SECUNDARIA/RIESGO	Pavimento	aguas	Tráfico	Vehicular	
		Indice de condición del	Indice de condición de	Transito diario	Densidad vehicular	Urgencia de
		pavimiento	drenajes	1 ransito diario		Intervención
1	CALLE ESPAÑA	BUEN ESTADO	BUEN ESTADO	ATENCIÓN	URGENTE	URGENTE
2	CALLE MEMBRILLOS	ACEPTABLE	BUEN ESTADO	ACEPTABLE	ATENCIÓN	ATENCIÓN
3	CALLE 14 DE JUNIO	ACEPTABLE	BUEN ESTADO	ATENCIÓN	ATENCIÓN	ATENCIÓN
4	AV. NOELIA MARTINEZ	ATENCIÓN	BUEN ESTADO	ACEPTABLE	ACEPTABLE	ACEPTABLE
5	CALLE BALLIVIÁN	BUEN ESTADO	BUEN ESTADO	ACEPTABLE	ATENCIÓN	ATENCIÓN
6	AV. CAP. CASTELLANOS	ACEPTABLE	BUEN ESTADO	BUEN ESTADO	ACEPTABLE	ACEPTABLE
7	AV. CRL. CARLOS DIAZ	ACEPTABLE	BUEN ESTADO	BUEN ESTADO	ACEPTABLE	ACEPTABLE
8	CALLE 2 (TERMINAL)	ACEPTABLE	BUEN ESTADO	BUEN ESTADO	ACEPTABLE	ACEPTABLE
9	AV. FUERZA AÉREA	BUEN ESTADO	BUEN ESTADO	ACEPTABLE	ATENCIÓN	ATENCIÓN
10	CALLE 2 (SETAR TABLADA)	ACEPTABLE	ACEPTABLE	ACEPTABLE	ACEPTABLE	ACEPTABLE
11	CALLE COCHABAMBA	ATENCIÓN	BUEN ESTADO	ATENCIÓN	URGENTE	URGENTE

Fuente: Elaboración Propia

Interpretación: en la tabla 20 se puede evidenciar la matriz de las vías secundarias según la norma ISO 31000, con la urgencia de intervención.

Tabla 128. Tabla Resultante Deslizamiento

	IMPACTO		
		CRITICO	
	VÍA/RIESGO	Deslizamiento	
		Estado del Talud	
1	AV. HEROES DE LA INDEPENDENCIA	ATENCIÓN	
2	AV. PANAMERICANA	URGENTE	
3	RUTA A SAN JACINTO	URGENTE	
4	AV. OSCAR VARGAS MOLINA	URGENTE	

Fuente: Elaboración Propia

Interpretación: en la tabla 19 se puede evidenciar la matriz de las vías según la norma ISO 31000, con la urgencia de intervención por deslizamiento.

4.5.- Manual de Procedimientos

MANUAL DE PROCEDIMIENTOS NORMA ISO 31000

1.- Marco Normativo

ISO 31000 está enfocada en la gestión de riesgos, es utilizada como una herramienta destinada a proporcionar a las empresas criterios y estándares que permiten un más eficiente tratamiento de los eventos de riesgo y procesos.

La norma nos brinda mucha información al respecto del mantenimiento vial bajo aspecto como ser el impacto y la probabilidad con el estudio del pavimento en mal estado, desgaste, estado del talud y falla por mal estado de drenajes.

La gestión de riesgos nos ayuda a prevenir o tratar los desastres de riesgos que se pueden presentar en una empresa o en nuestro caso en el tema del mantenimiento vial.

Esta norma se rige bajo la mira de la gestión de riesgos.

2.- Objetivo

Disminuir la probabilidad de impacto de riesgos que se pueden presentar en la infraestructura vial urbana de la Ciudad de Tarija.

Este manual ofrece una guía ética para el correcto manejo de los procedimientos de la identificación de riesgos, análisis y tratamiento de los mismos.

3.- Revisiones y Responsabilidades

EL MANUAL DE PROCEDIMIENTOS NORMA ISO 31000 es un producto de la revisión de la norma internacional que tiene como antecedentes:

• NORMA ISO 31000 (2018)

Se tiene que tener en constante actualización el manual ya que se requiere de información lo más actualizada posible para tener resultados precisos, siendo el municipio el encargado de los mantenimientos que se realizan en la zona urbana de la Ciudad de Tarija.

4.- Descripción de Procesos

Se tiene que realizar la selección de edificaciones esenciales que sean prioritarias en casos de emergencia que este cerca o sobre la infraestructura principal vial urbana de la Ciudad de Tarija.

Con la ayuda de la fuente de riesgo se determinan los riesgos potenciales que pueden afectar las vías de acceso de dichas edificaciones para su análisis y obtención de datos en campo para su debida clasificación según la norma que puede ser:

- Urgente
- Atención
- Aceptable
- Buen estado

Obteniendo su grado de urgencia para realizar un análisis de cómo abordar cada riesgo para su mitigación o reducción tomando en cuenta las siguientes alternativas que pueden ser tres tipos de mantenimiento vial que nos pueden ayudar previniendo los riesgos que pueden afectar los accesos a las edificaciones esenciales que puede ser:

Mantenimiento rutinario

- Limpieza de zanjas
- o Limpieza de alcantarillas
- o Limpieza de las vías principales y secundarias

Mantenimiento periódico

- Reconformación de la plataforma
- Sellado de asfalto
- o Capa de refuerzo de asfalto
- Limpieza de deslizamientos de tierra

Mantenimiento de emergencia

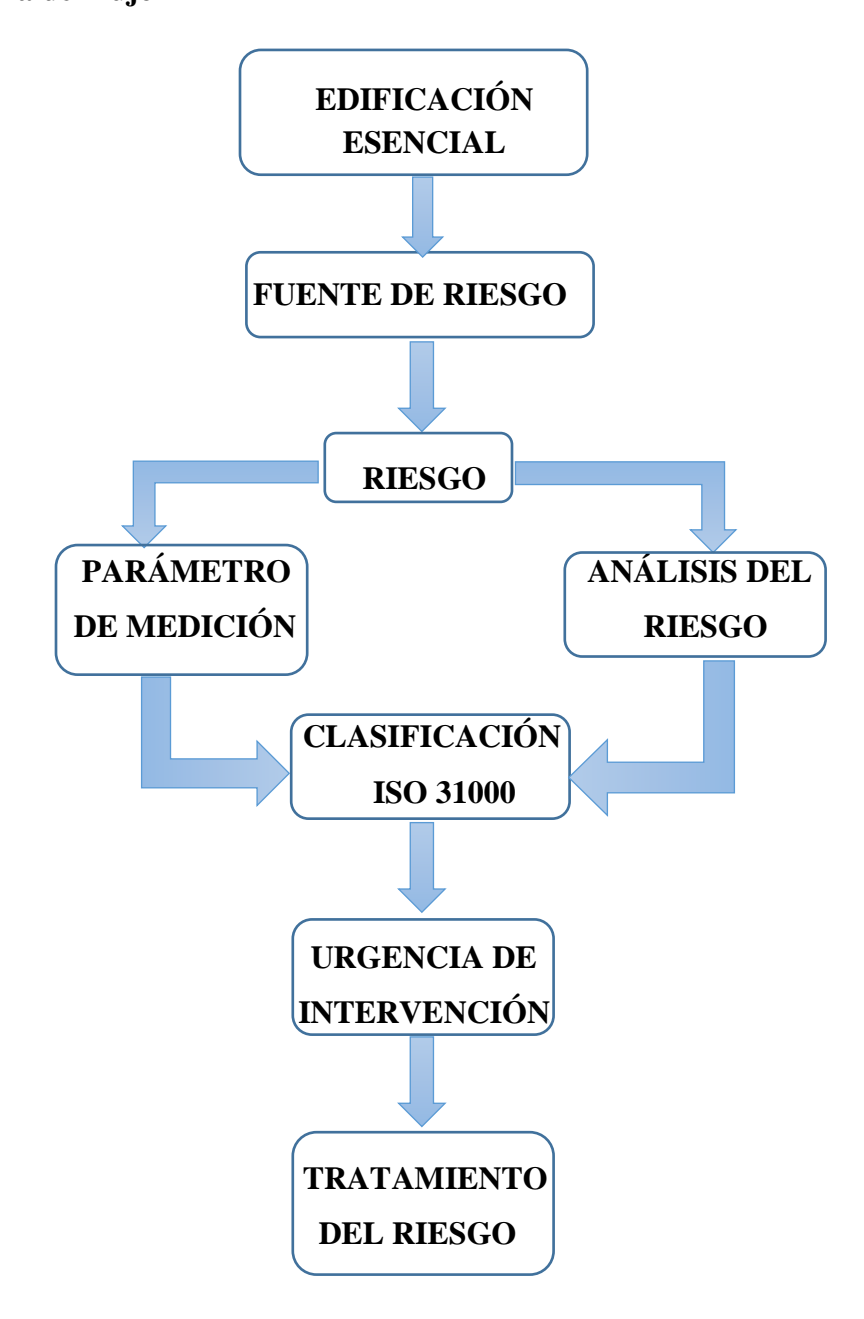
- Sustitución de la plataforma
- Construcción de variantes
- Estabilización de taludes

Estos mantenimientos pueden ayudarnos a controlar los problemas que se pueden presentar en la infraestructura vial.

También se propone un análisis para la instalación de alcantarillas en algunos puntos estratégicos para la buena evacuación de aguas pluviales evitando inundaciones o alguna catástrofe de gravedad.

Con la finalidad que este manual de procedimientos pueda ayudar a los encargados del mantenimiento vial a afrontar la situación actual de la Ciudad de Tarija.

5.- Diagrama de Flujo



6.- Glosario de Términos

ISO: Organización Internacional de la Normalización.

Talud: Inclinación del paramento de un muro o de un terreno.

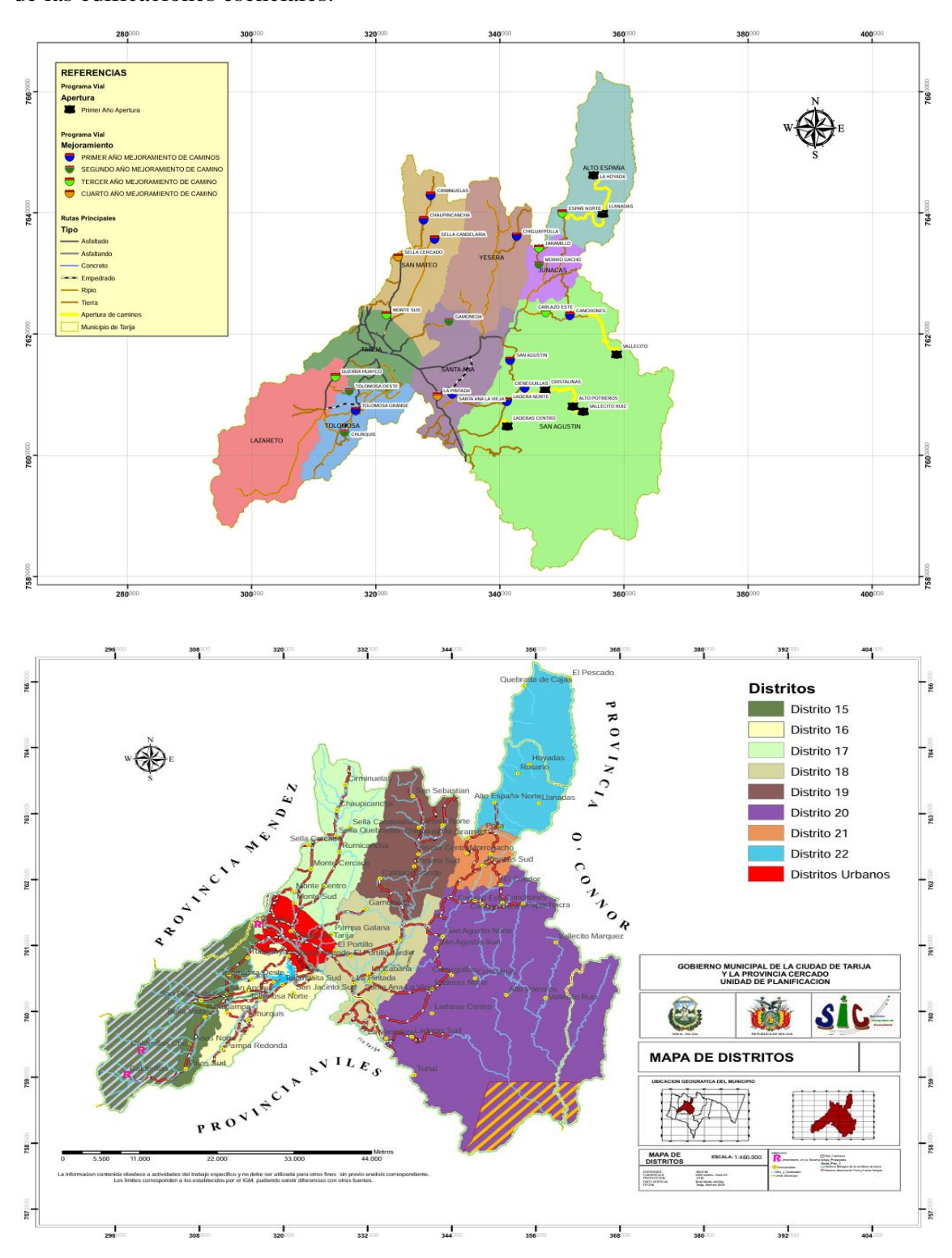
Impacto: Magnitud del daño que podría causar si se llegara a concretar.

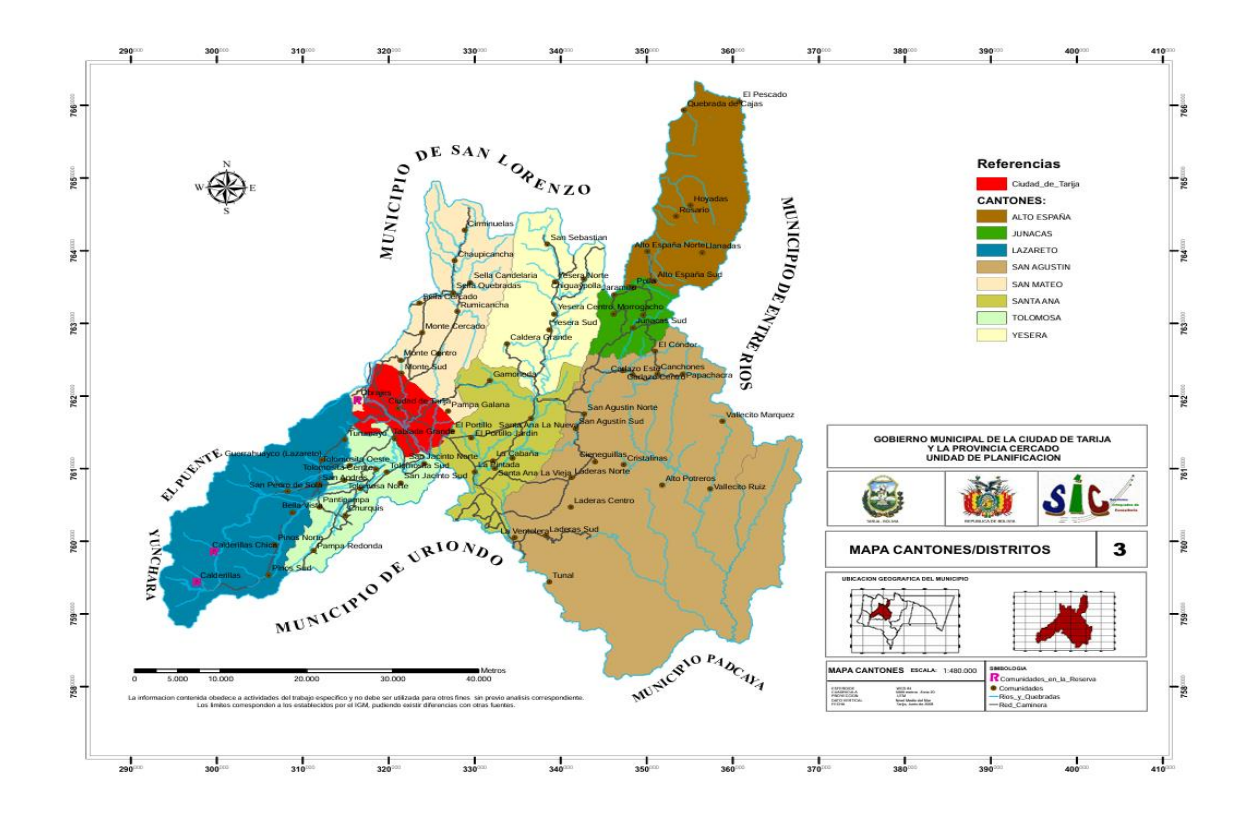
Evacuación: Conducir hacia el exterior.

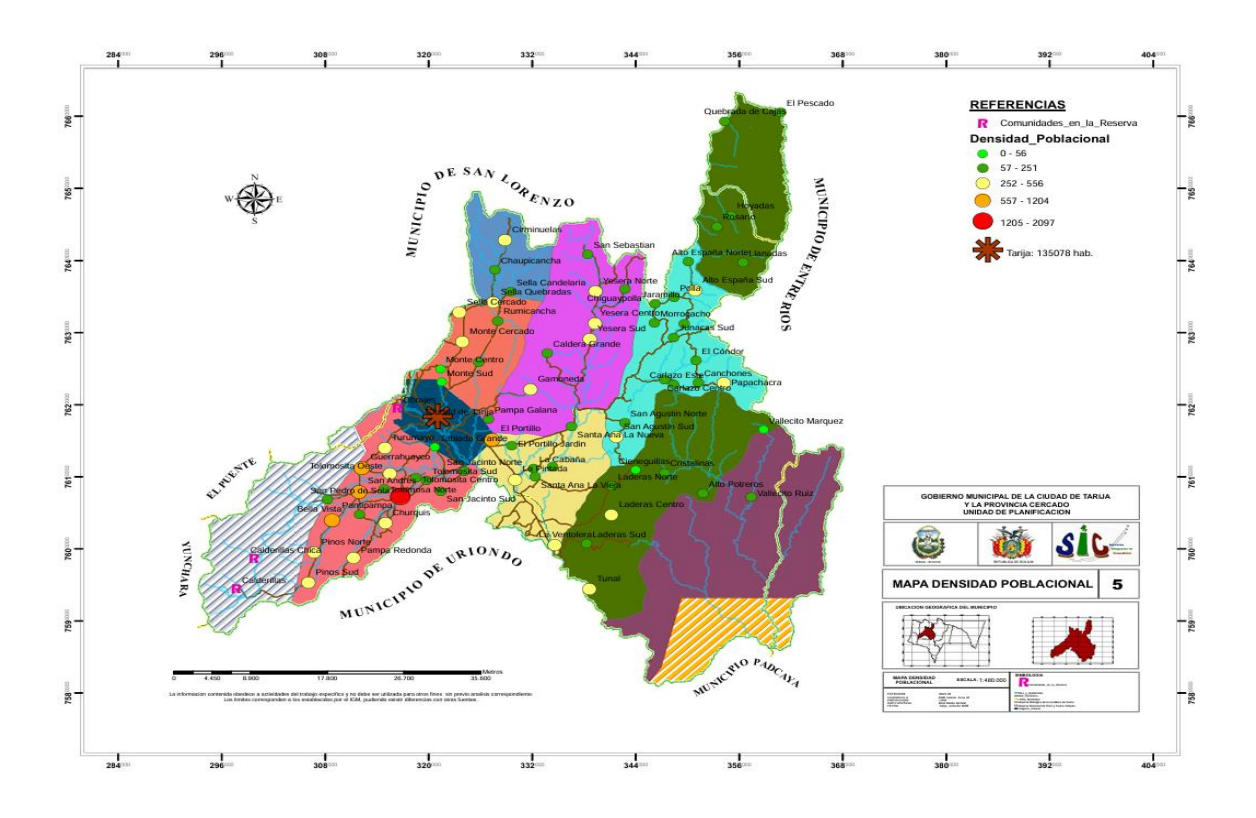
Intervención: Acción sobre otro que permite iniciar, alterar o inhibir un proceso con intención de promover una mejora.

4.5.1.- Malla Vial de la Ciudad de Tarija

Mallas Viales de la Ciudad de Tarija, provincia Cercado utilizados para la identificación de las edificaciones esenciales.







CAPÍTULO 5 CONCLUSIONES Y RECOMENDACIONES

CAPÍTULO 5

5.- Conclusiones y recomendaciones

5.1.- Conclusiones

 Se logró realizar un manual de procedimientos con la ayuda de la norma ISO 31000 para facilitar el desarrollo de identificación de riesgos y posteriormente su análisis y tratamiento.

MANUAL DE PROCEDIMIENTOS NORMA ISO 31000

1.- Marco Normativo

ISO 31000 está enfocada en la gestión de riesgos, es utilizada como una herramienta destinada a proporcionar a las empresas criterios y estándares que permiten un más eficiente tratamiento de los eventos de riesgo y procesos.

La norma nos brinda mucha información al respecto del mantenimiento vial bajo aspecto como ser el impacto y la probabilidad con el estudio del pavimento en mal estado, desgaste, estado del talud y falla por mal estado de drenajes.

La gestión de riesgos nos ayuda a prevenir o tratar los desastres de riesgos que se pueden presentar en una empresa o en nuestro caso en el tema del mantenimiento vial.

Esta norma se rige bajo la mira de la gestión de riesgos.

2.- Objetivo

Disminuir la probabilidad de impacto de riesgos que se pueden presentar en la infraestructura vial urbana de la Ciudad de Tarija.

Este manual ofrece una guía ética para el correcto manejo de los procedimientos de la identificación de riesgos, análisis y tratamiento de los mismos.

3.- Revisiones y Responsabilidades

EL MANUAL DE PROCEDIMIENTOS NORMA ISO 31000 es un producto de la revisión de la norma internacional que tiene como antecedentes:

NORMA ISO 31000 (2018)

Se tiene que tener en constante actualización el manual ya que se requiere de información lo más actualizada posible para tener resultados precisos, siendo el municipio el encargado de los mantenimientos que se realizan en la zona urbana de la Ciudad de Tarija.

4.- Descripción de Procesos

Se tiene que realizar la selección de edificaciones esenciales que sean prioritarias en casos de emergencia que este cerca o sobre la infraestructura principal vial urbana de la Ciudad de Tarija.

Con la ayuda de la fuente de riesgo se determinan los riesgos potenciales que pueden afectar las vías de acceso de dichas edificaciones para su análisis y obtención de datos en campo para su debida clasificación según la norma que puede ser:

- Urgente
- Atención
- Aceptable
- Buen estado

Obteniendo su grado de urgencia para realizar un análisis de cómo abordar cada riesgo para su mitigación o reducción tomando en cuenta las siguientes alternativas que pueden ser tres tipos de mantenimiento vial que nos pueden ayudar previniendo los riesgos que pueden afectar los accesos a las edificaciones esenciales que puede ser:

Mantenimiento rutinario

- Limpieza de zanjas
- Limpieza de alcantarillas
- Limpieza de las vías principales y secundarias

Mantenimiento periódico

- Reconformación de la plataforma
- Sellado de asfalto
- Capa de refuerzo de asfalto
- Limpieza de deslizamientos de tierra

Mantenimiento de emergencia

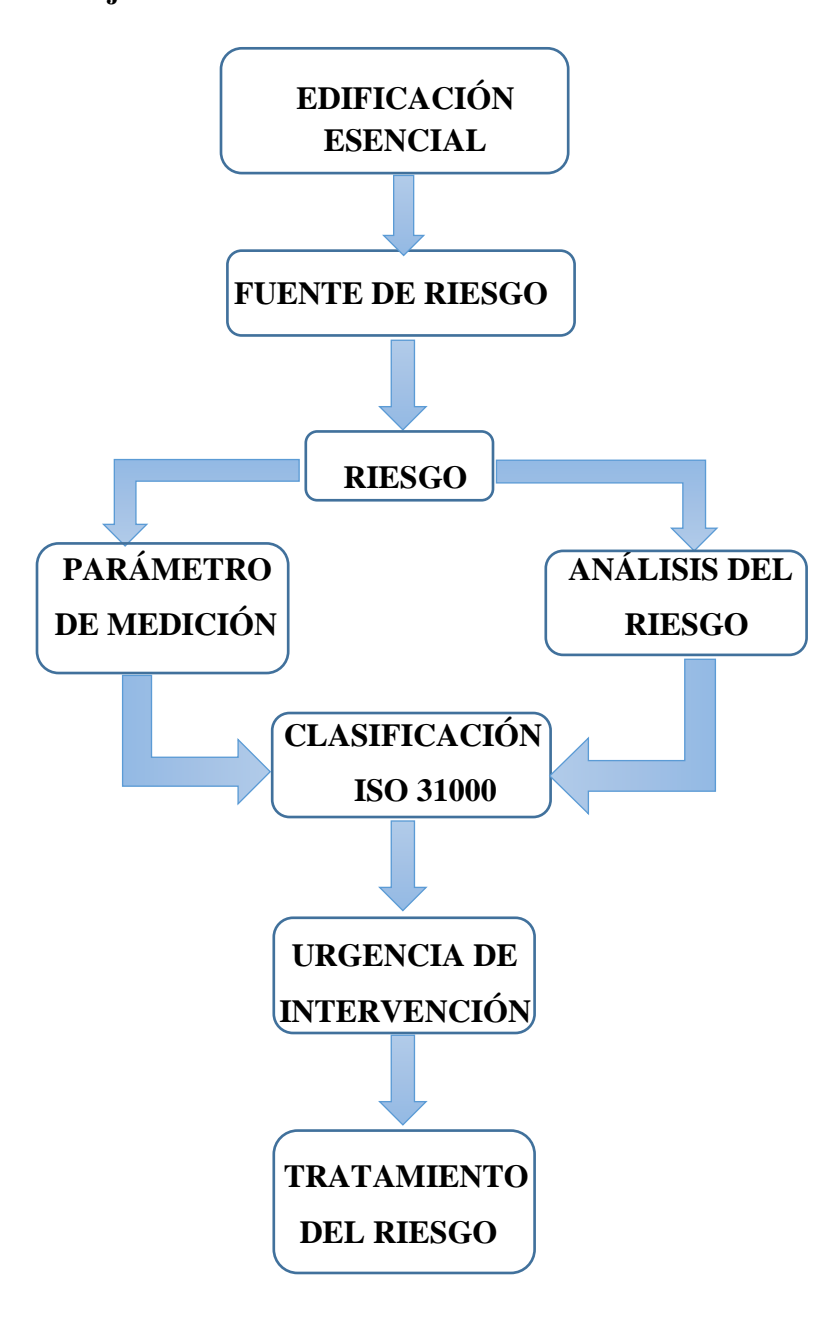
- Sustitución de la plataforma
- Construcción de variantes
- Estabilización de taludes

Estos mantenimientos pueden ayudarnos a controlar los problemas que se pueden presentar en la infraestructura vial.

También se propone un análisis para la instalación de alcantarillas en algunos puntos estratégicos para la buena evacuación de aguas pluviales evitando inundaciones o alguna catástrofe de gravedad.

Con la finalidad que este manual de procedimientos pueda ayudar a los encargados del mantenimiento vial a afrontar la situación actual de la Ciudad de Tarija.

5.- Diagrama de Flujo



6.- Glosario de Términos

ISO: Organización Internacional de la Normalización.

Talud: Inclinación del paramento de un muro o de un terreno.

Impacto: Magnitud del daño que podría causar si se llegara a concretar.

Evacuación: Conducir hacia el exterior.

Intervención: Acción sobre otro que permite iniciar, alterar o inhibir un proceso con intención de promover una mejora.

- Se logró identificar los elementos prioritarios de la malla vial de la Ciudad de Tarija.
- Se obtuvo la recopilación de datos de todas las variables seleccionadas para cada punto de estudio.
- Se realizó el análisis de cada indicador seleccionado de la malla y su debida repercusión.
- Consiguiendo de buena manera la clasificación de los riesgos según la Norma ISO
 31000 de cada punto en estudio y su debida priorización según su urgencia.
- Se tiene que dar solución a los problemas de congestionamiento vehicular de la Av. Víctor Paz y la falta de alcantarillado de aguas pluviales que afectan las calles de la Ciudad de Tarija.
- Es importante la aplicación de nuevas normas actualizadas e innovadoras que pueden mejorar la calidad de vida de los habitantes de la Ciudad de Tarija.

5.2.- Recomendaciones

- Se recomienda elaborar un plan de gestión del tráfico que contemple rutas alternas de rápido acceso señalizadas y con un adecuado estado para el correcto funcionamiento en caso del desencadenamiento de un eventual riesgo que afecte la vía principal.
- Se sugiere la realización de un trabajo de la Alcaldía de mantenimiento vial en todos los puntos de estudio.
- Se aconseja mantenerse en constante revisión y contar con información actualizada para contar con un análisis de riesgos efectivo y dinámico en favor de la ciudad.

- Se sugiere combinar los nuevos mecanismos de información que junto a tecnología avanzada permitiría un correcto desarrollo y una muy precisa proyección de mantenimiento de la red vial prestando un adecuado servicio y además estando preparada para cualquier crisis que pueda afectar la normalidad en la ciudad.
- Se recomienda la intervención de los taludes con peligro de deslizamiento con mallas de protección para evitar una catástrofe de gran magnitud que puede ser perjudicial para la población de la Ciudad de Tarija.